

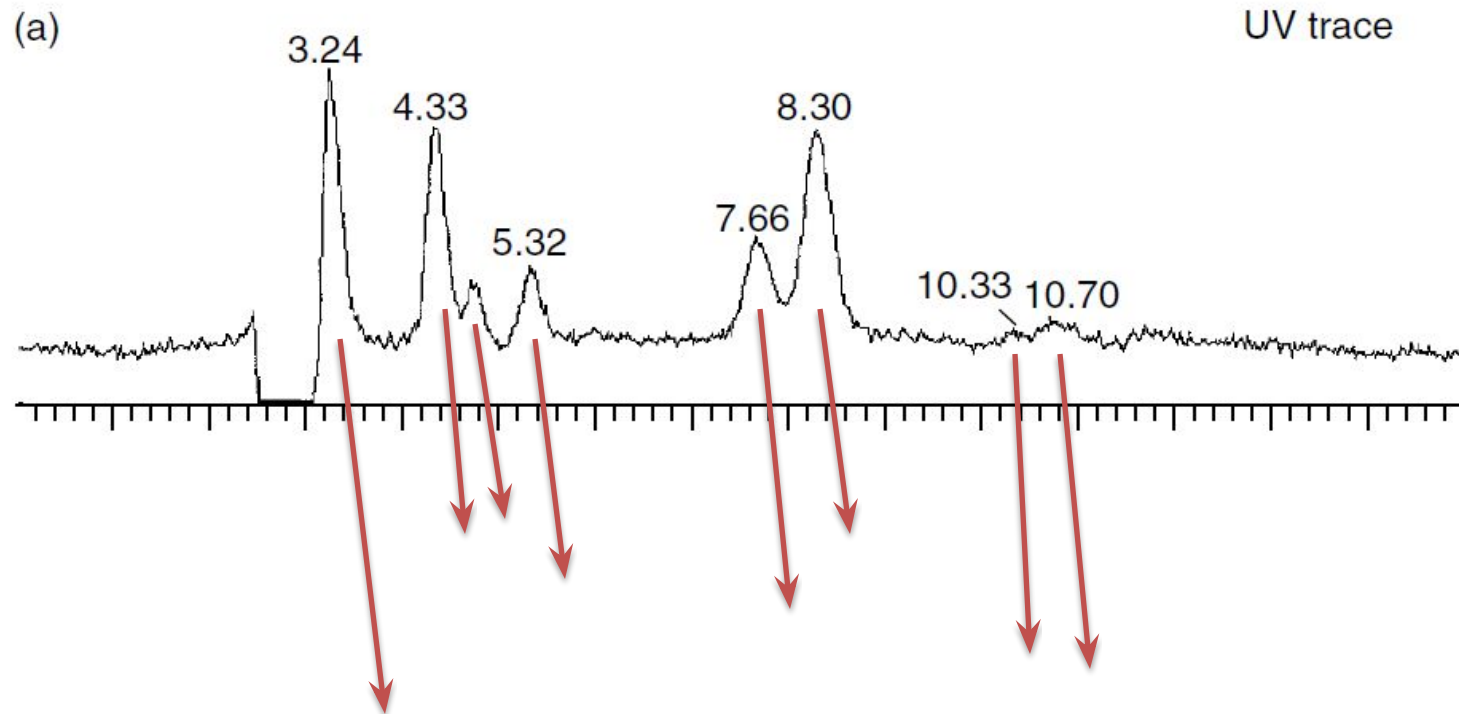
Espectrometria de Massas:

- **Analísadores de massa**
 - Resolução e Exatidão de Massa
- **Detectores**

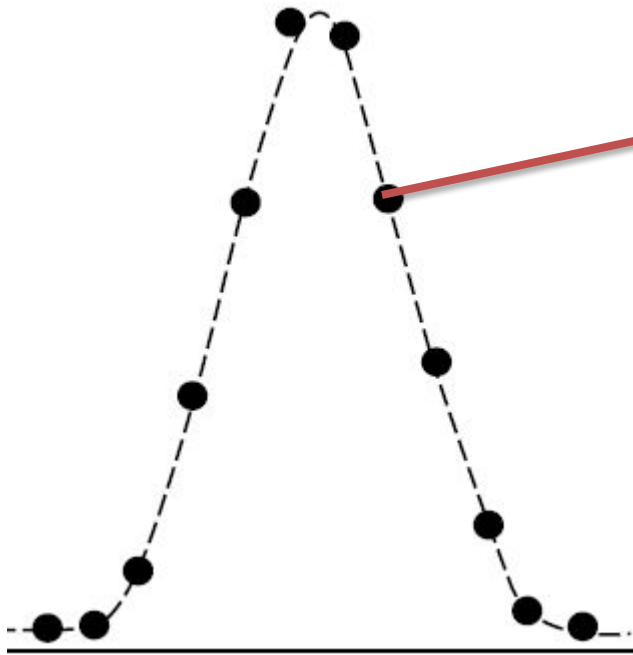


Álvaro José dos Santos Neto

Comparação entre cromatograma de LC-UV e LC-MS (modo TIC)



O pico cromatográfico em MS



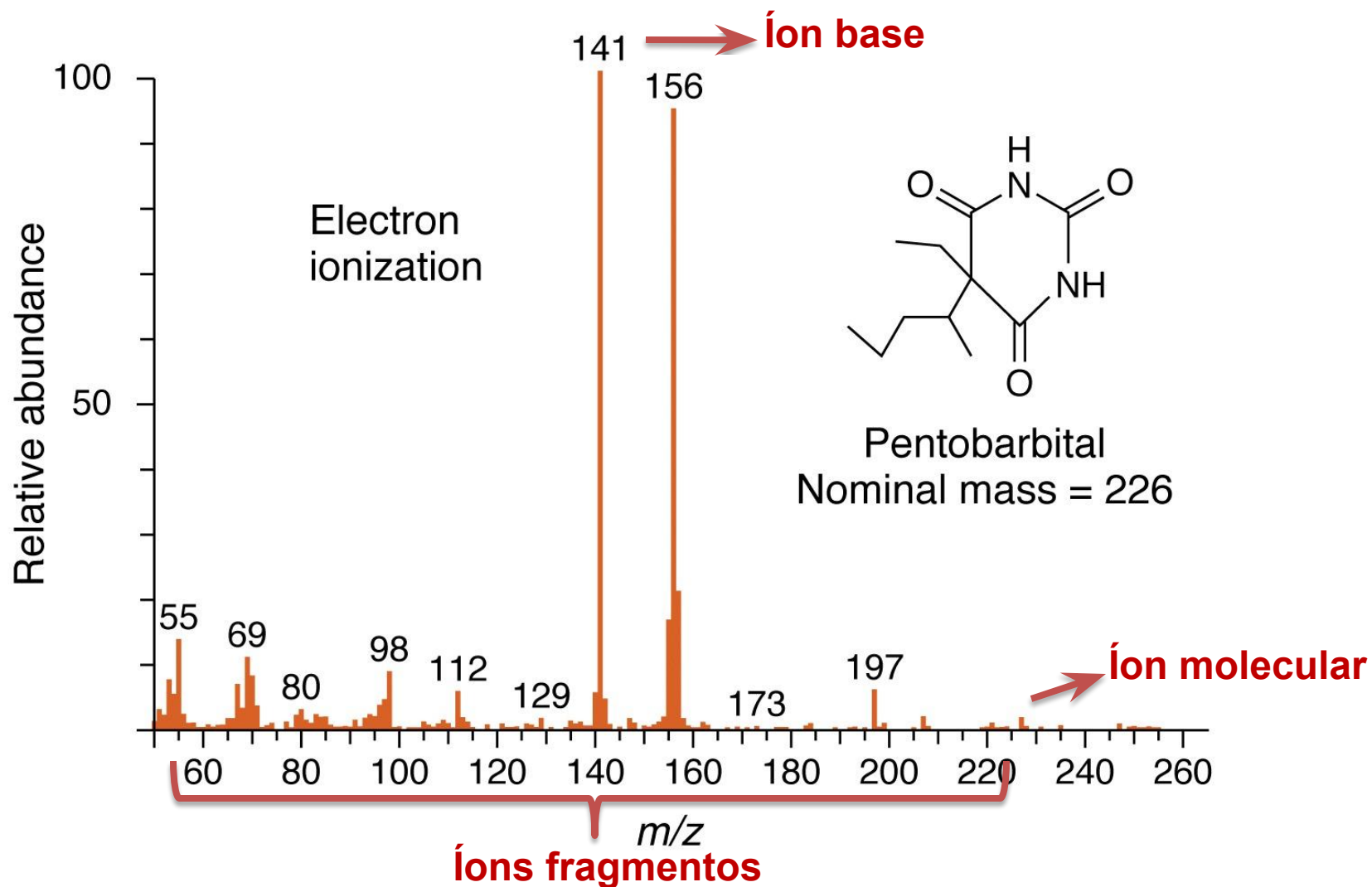
Contém toda a informação de MS:

- Espectro completo (TIC)
- Íons selecionados (SIM)

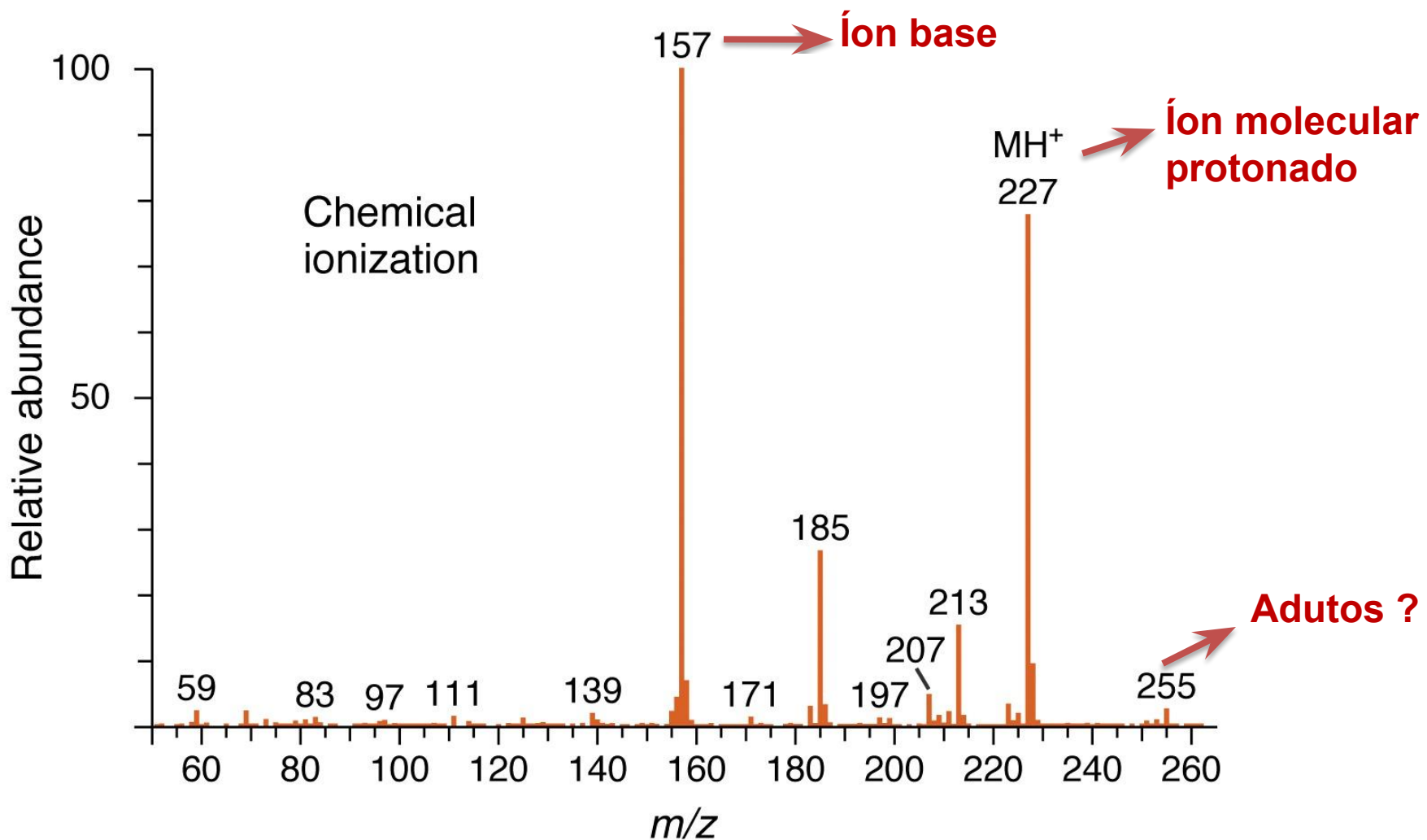
Ou toda a informação de MS/MS:

- Reações específicas (MRM)
- Perda neutra (*neutral loss*)
- Íons precursores
- Íons produtos

O Espectro de Massas

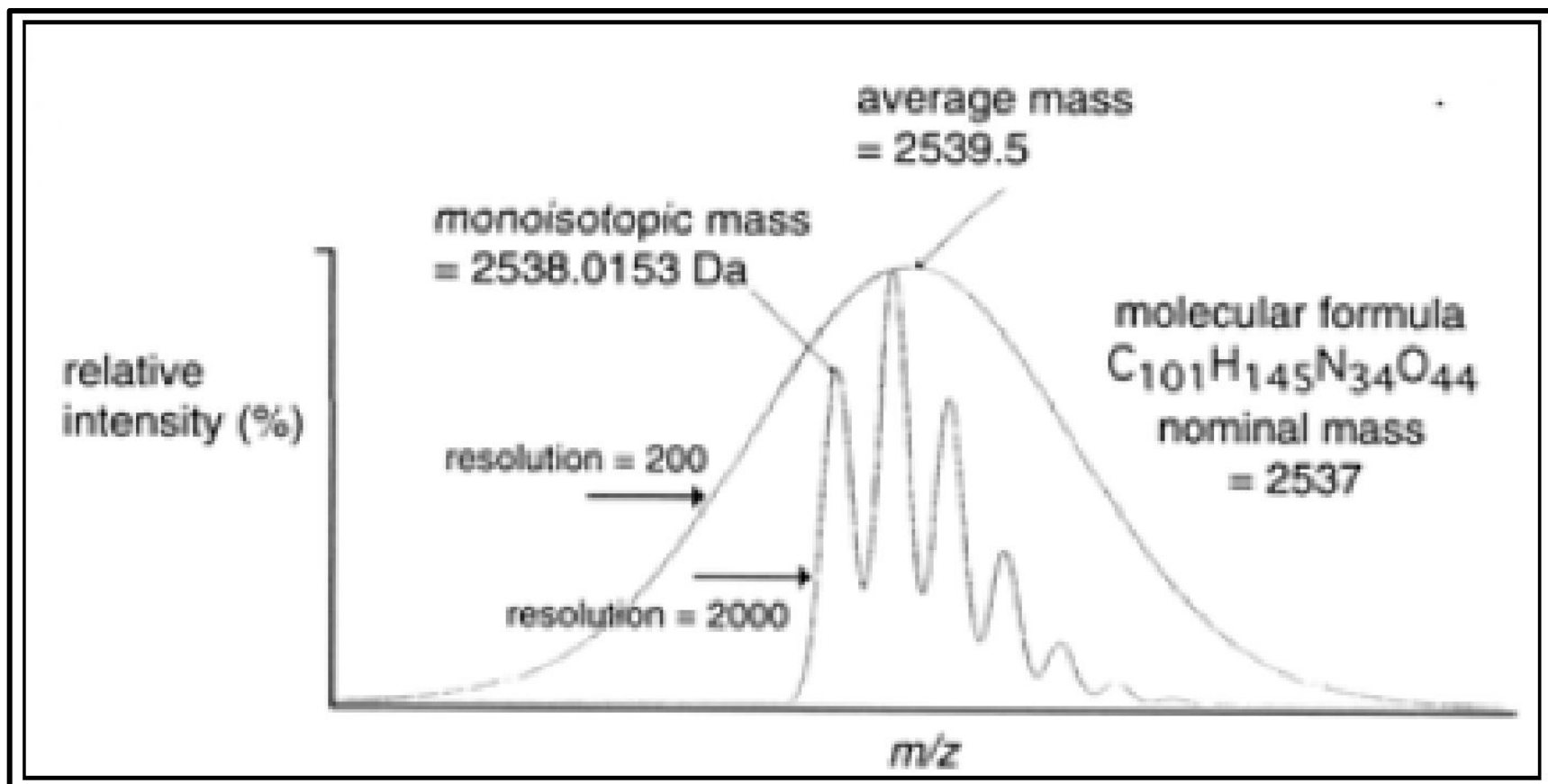


O Espectro de Massas



Diferentes termos em MS:

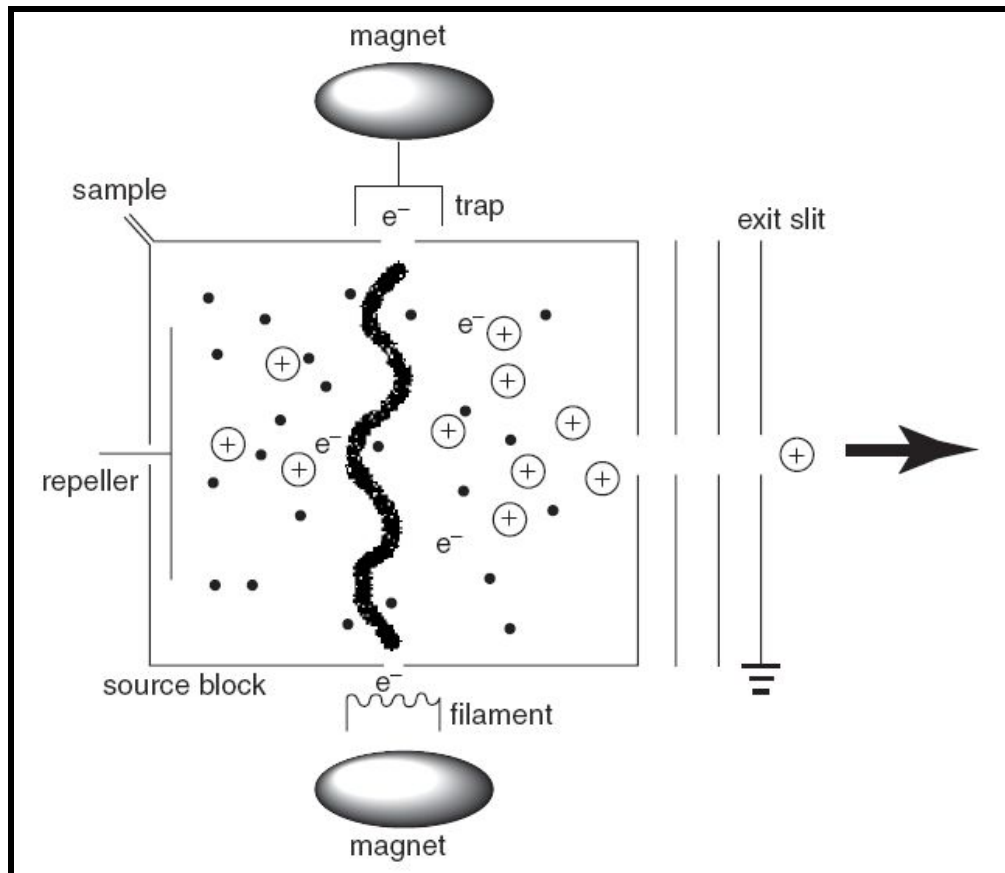
- **Massa nominal:** a massa calculada para um íon levando em conta a massa inteira do isótopo mais abundante de cada elemento.
- **Massa monoisotópica:** a massa calculada a partir da massa exata do isótopo mais abundante de cada elemento.
- **Massa do íon mais abundante:** a massa correspondente ao pico mais intenso dentro do conjunto de picos isotópicos de um mesmo composto.
- **Massa média:** é a média ponderada de todos os picos isotópicos de um determinado composto.



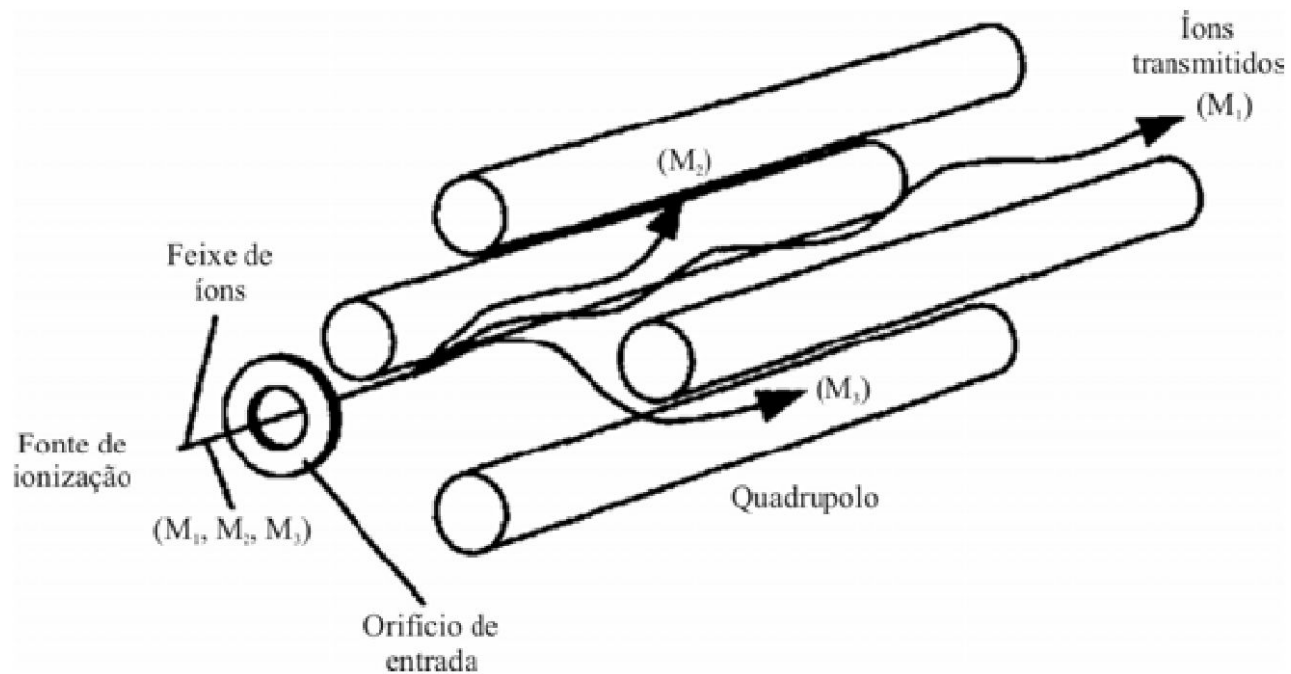
Etapas na análise por MS

1. Ionização dos analitos
2. Seleção/Separação das m/z dos íon*
3. Detecção

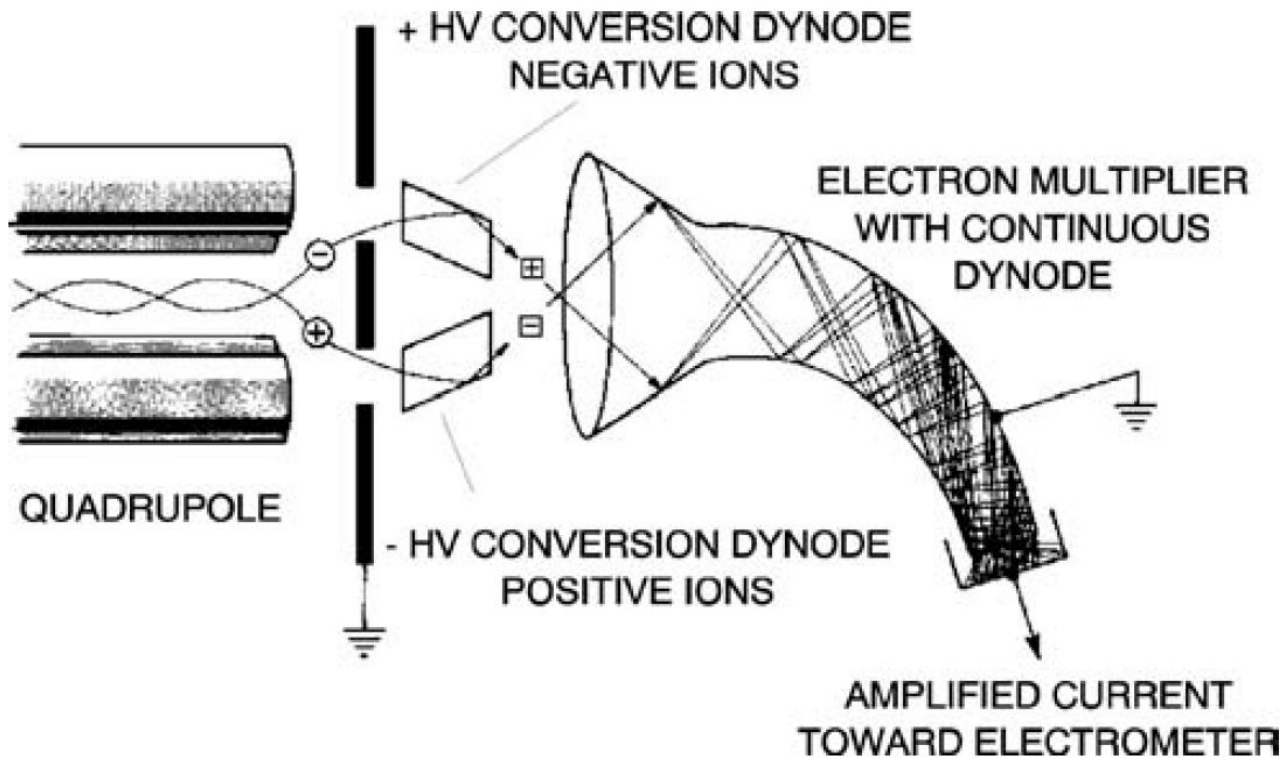
1. Ionização



2. Análise/separação



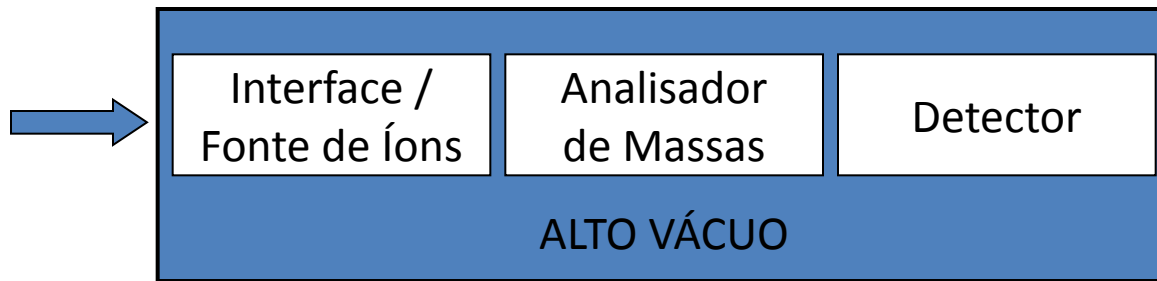
3. Detecção



Diagramas de blocos de um MS

Modo de Ionização no Vácuo

Introdução dos
analitos
(sistema de
cromatografia)



Exemplos: EI, CI, PI, MALDI, TSI, FAB, SIMS, FI/FD

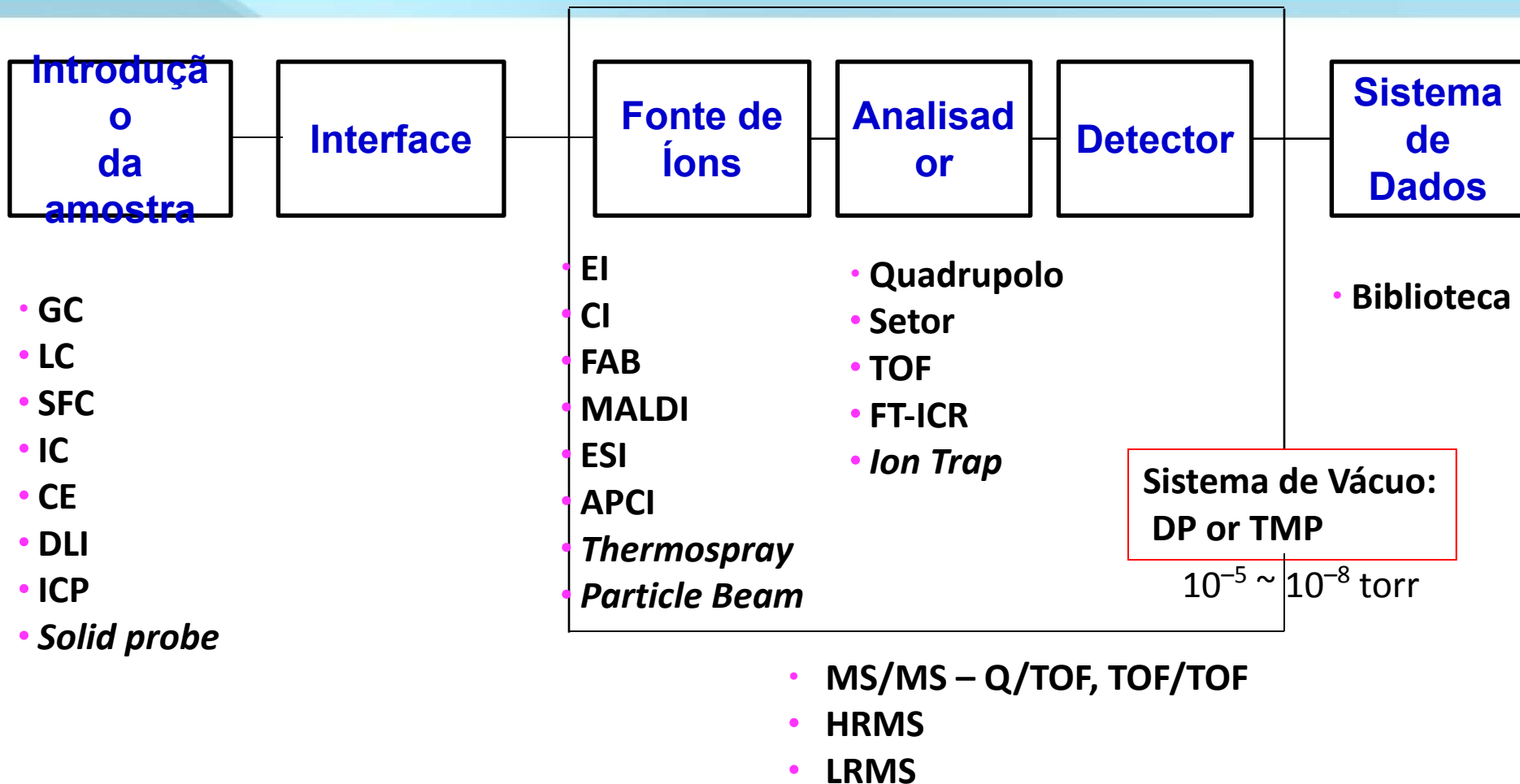
Modo de Ionização à Pressão Atmosférica (API)

Introdução dos
analitos
(sistema de
cromatografia)



Exemplos: ESI, APCI, APPI, AP-MALDI, DESI, DART, EASI

Tipos de componentes para um espectrômetro de massas



Sistemas de vácuo – Bomba rotativa (*roughing* ou *rotary*)

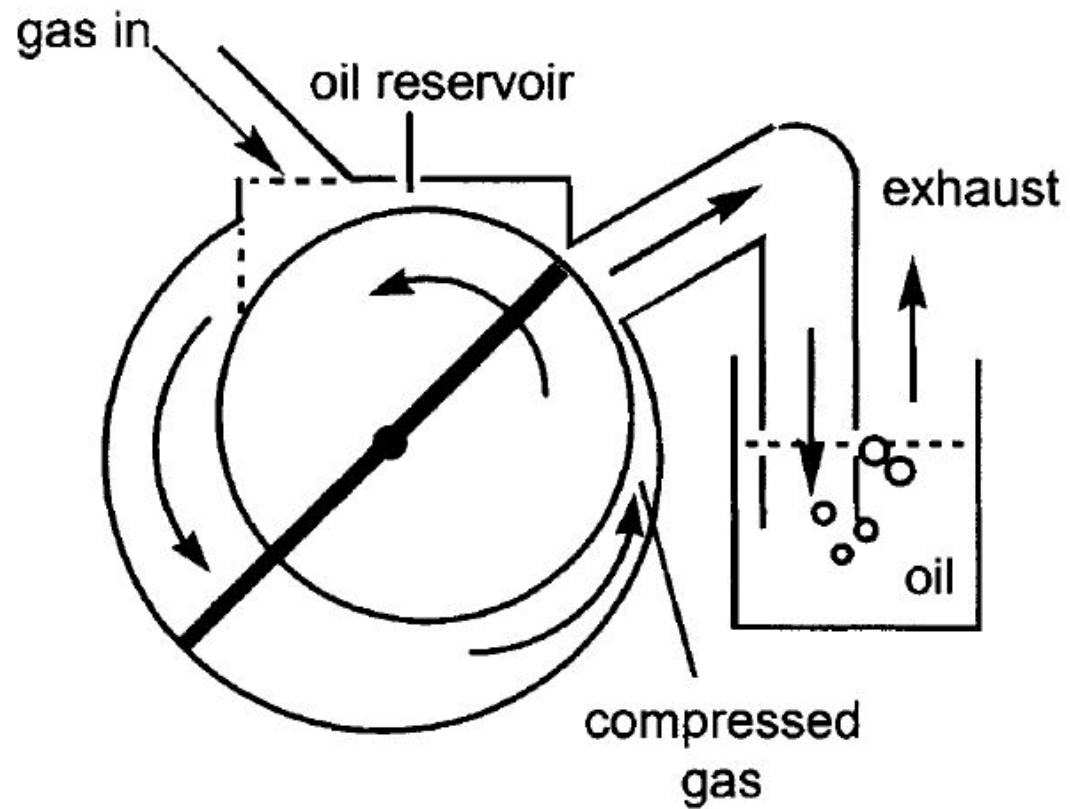


Figure 3.28 *Cross-section of a rotary vacuum pump*

Sistemas de vácuo – bomba turbomolecular

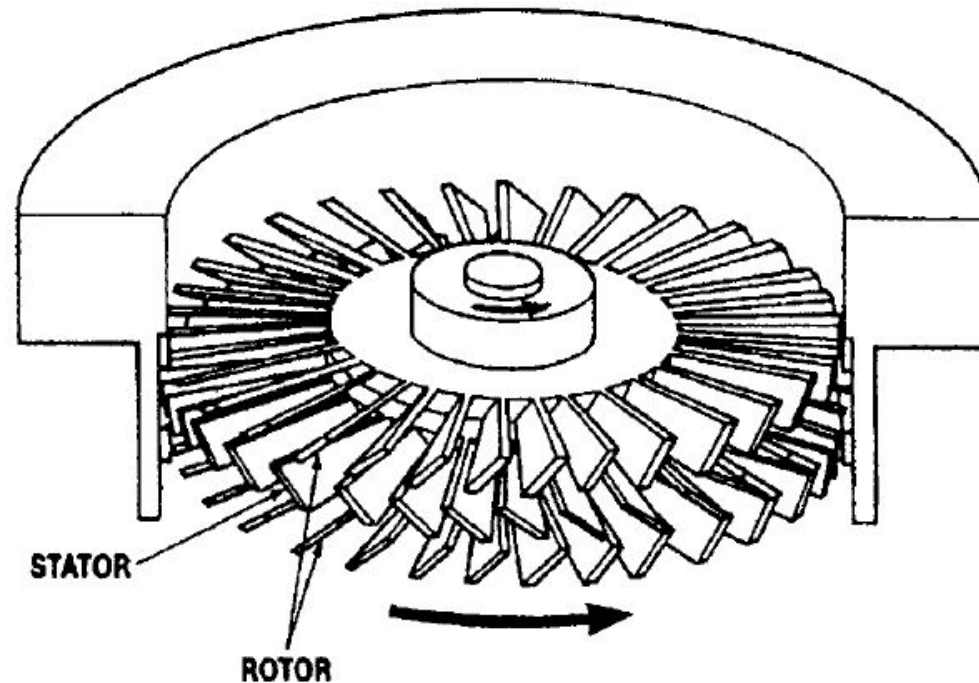


Figure 3.30 *View of the rotor of a turbomolecular pump*
(Source: J.T. Watson, *Introduction to Mass Spectrometry*, 3rd edition, Lippincott-Raven, Philadelphia, 1997, Figure 19.7, p. 431)

Sistemas de vácuo – Bomba criogênica

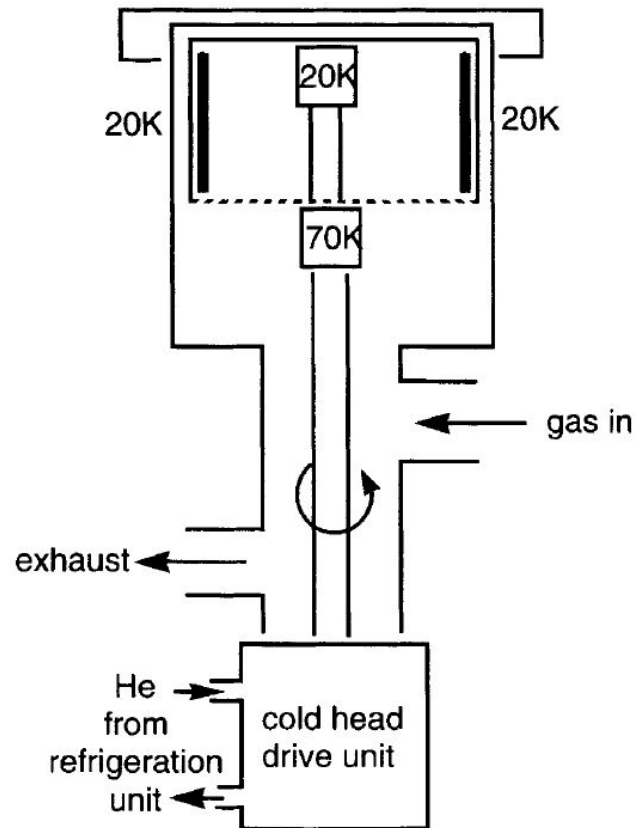
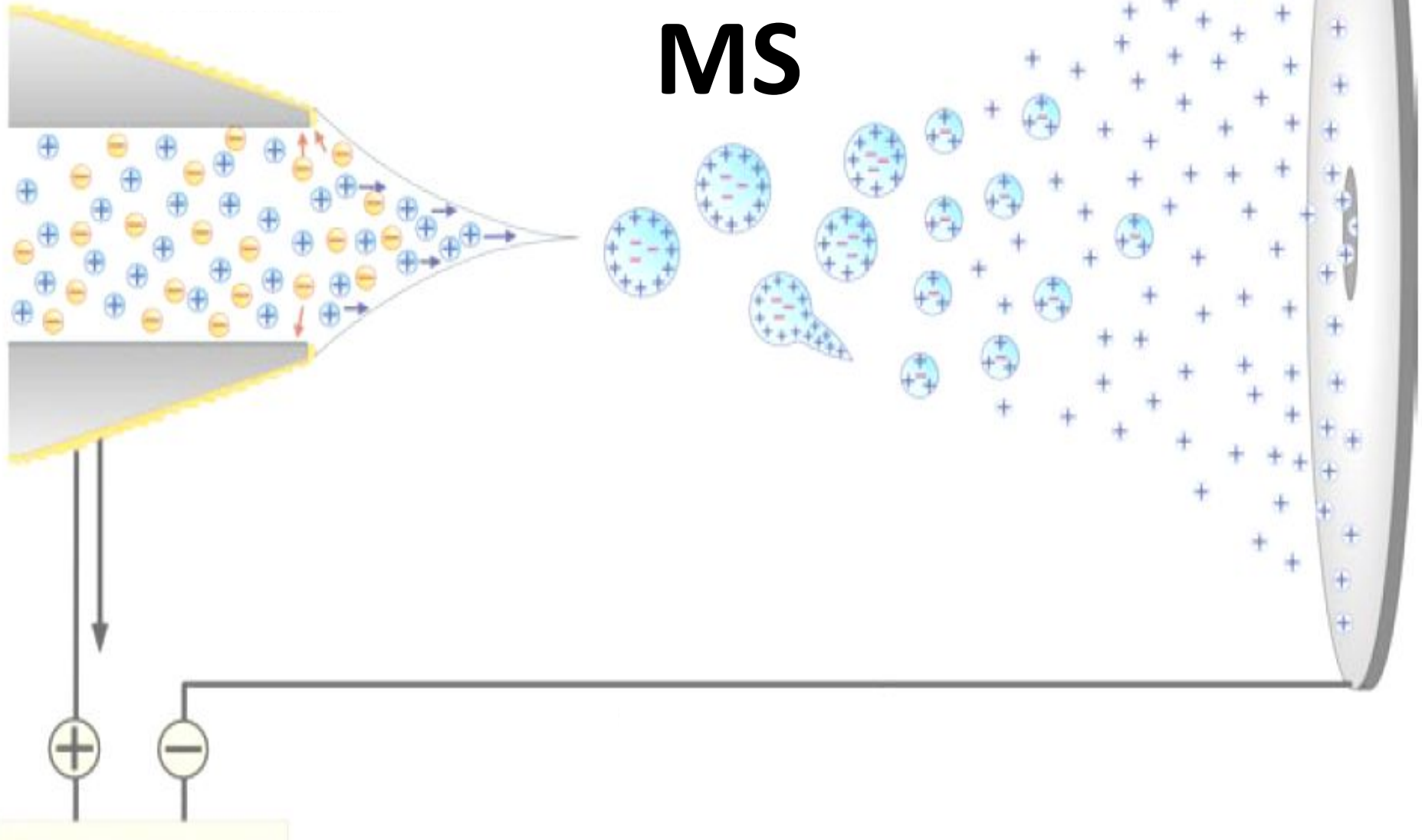


Figure 3.31 Cross-section of a cryopump

Fontes de ionização para MS

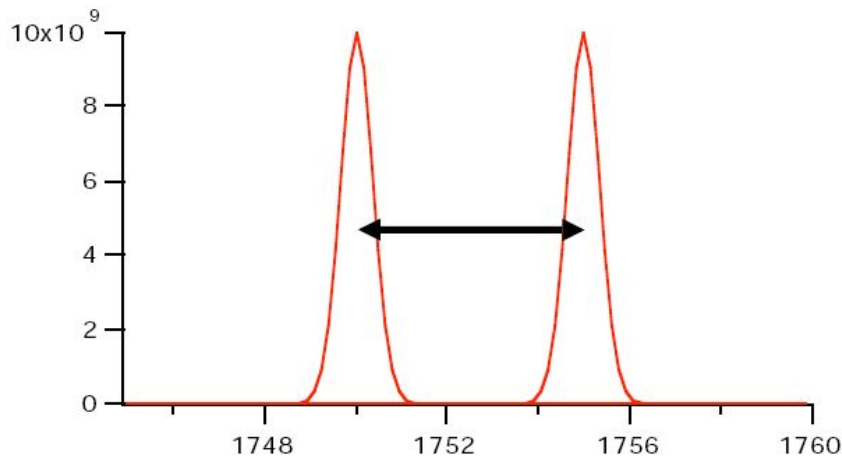


Definições de resolução em MS

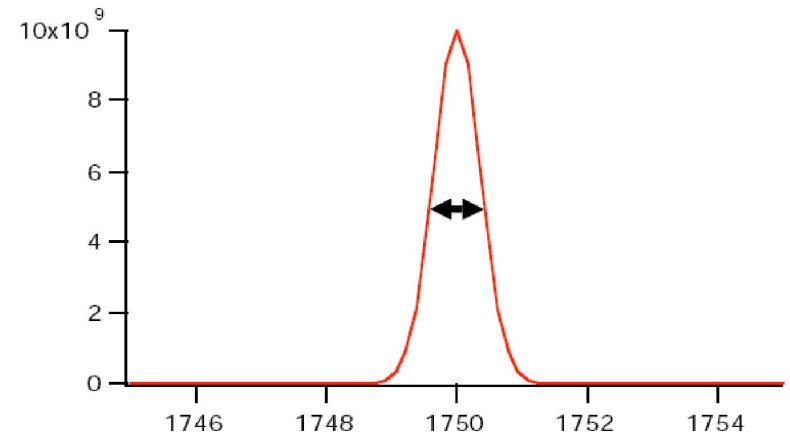
- Resolução de Massa (*Mass Resolution*)

vs.

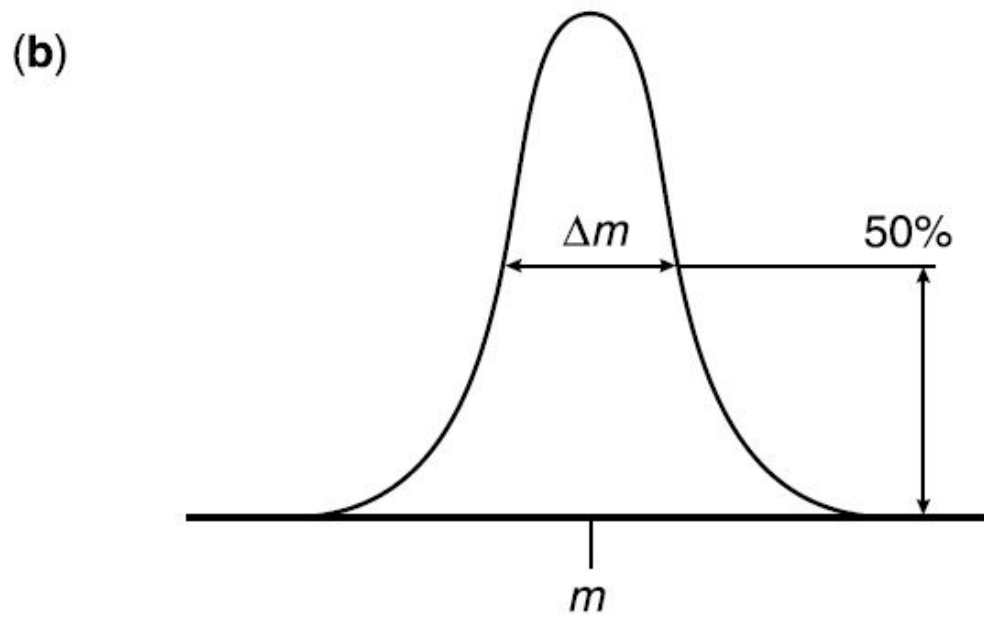
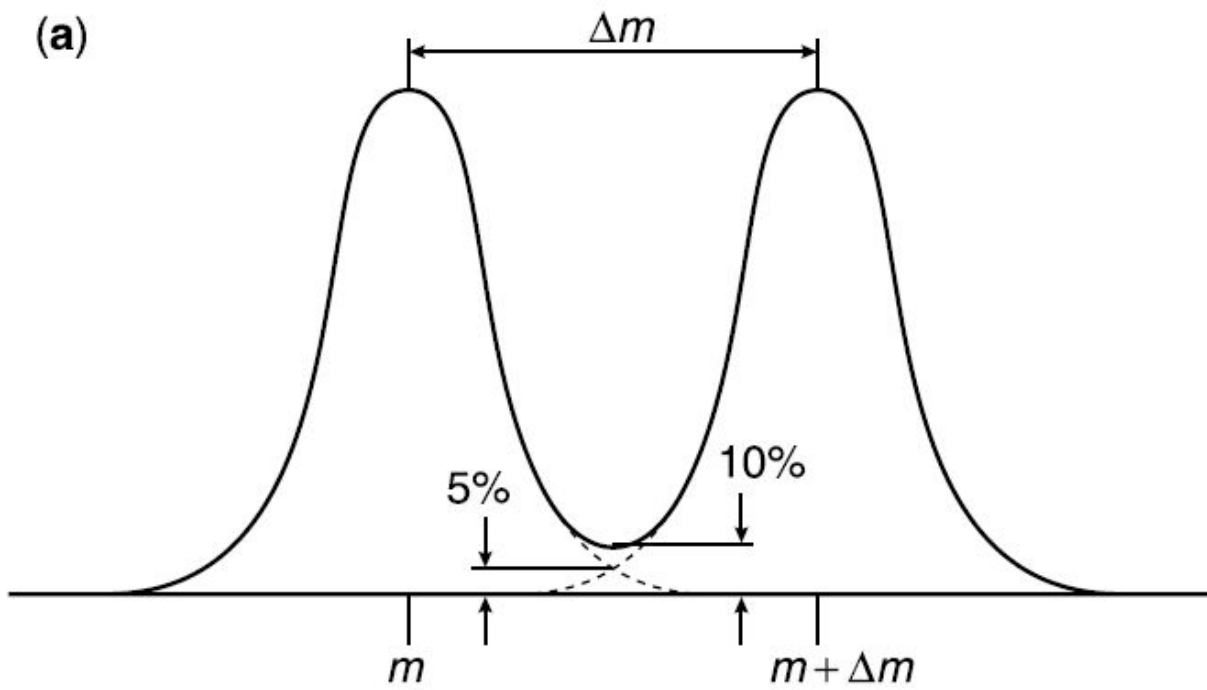
- Poder de Resolução de Massa (*Mass Resolving Power – RP*)



Ex.: 10% do vale =
5% do máximo



FWHM = *Full Width at Half Maximum*
(Largura total da metade do pico)



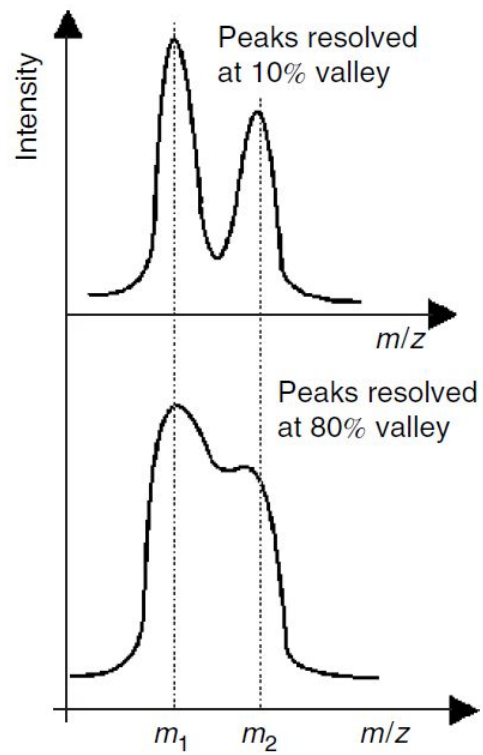


Figure 2.1
Diagram showing the concepts of peak resolution and valley.

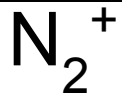
Definições de exatidão em MS

- Massa exata (*exact mass*) = massa isotópica calculada
vs.
- Massa acurada (*accurate mass*) = massa medida com a
exatidão do equipamento

$$\text{Erro da medida } (\Delta m) = m_{\text{medida}} - m_{\text{exata}} \\ (\text{u})$$

$$\text{Grau de Exatidão (Degree of accuracy)} \\ = 10^6 \times \Delta m / m_{\text{exata}} \quad (\text{ppm})$$

Exemplo



$$m/z = 28,006148$$



$$m/z = 27,994915$$

$$\Delta m = 0,011233$$

Requer grau de exatidão de pelo menos 200 ppm

$$\text{RP (10\% vale)} \approx 2.500$$

$$\text{RP (FWHM)} \approx 4.250$$

Analísadores para MS

- Setor Magnético e Setor Eletrostático
- Quadrupolo
- *Ion Trap*
- Tempo de Voo
- FT-ICR
- (FT) Orbitrap

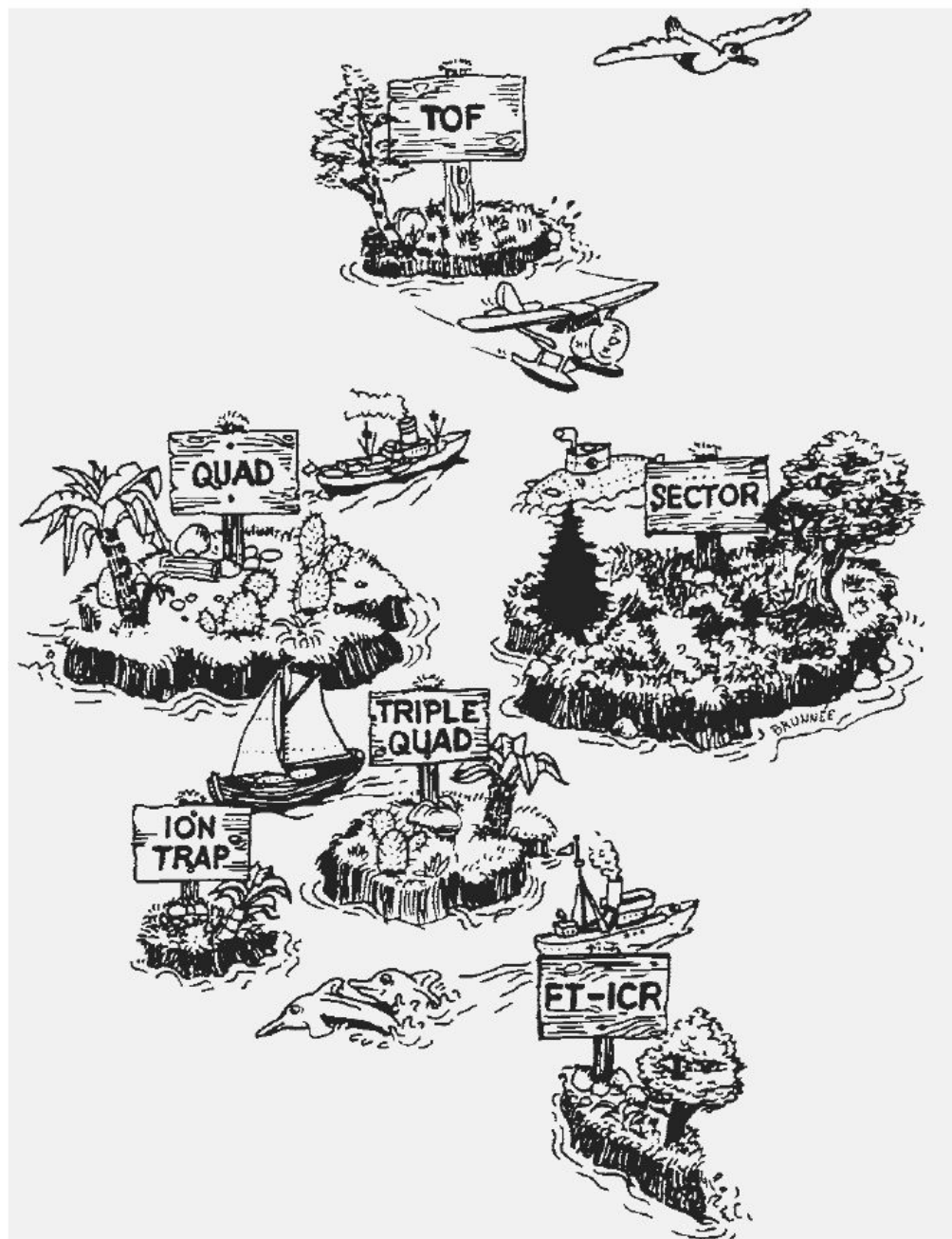
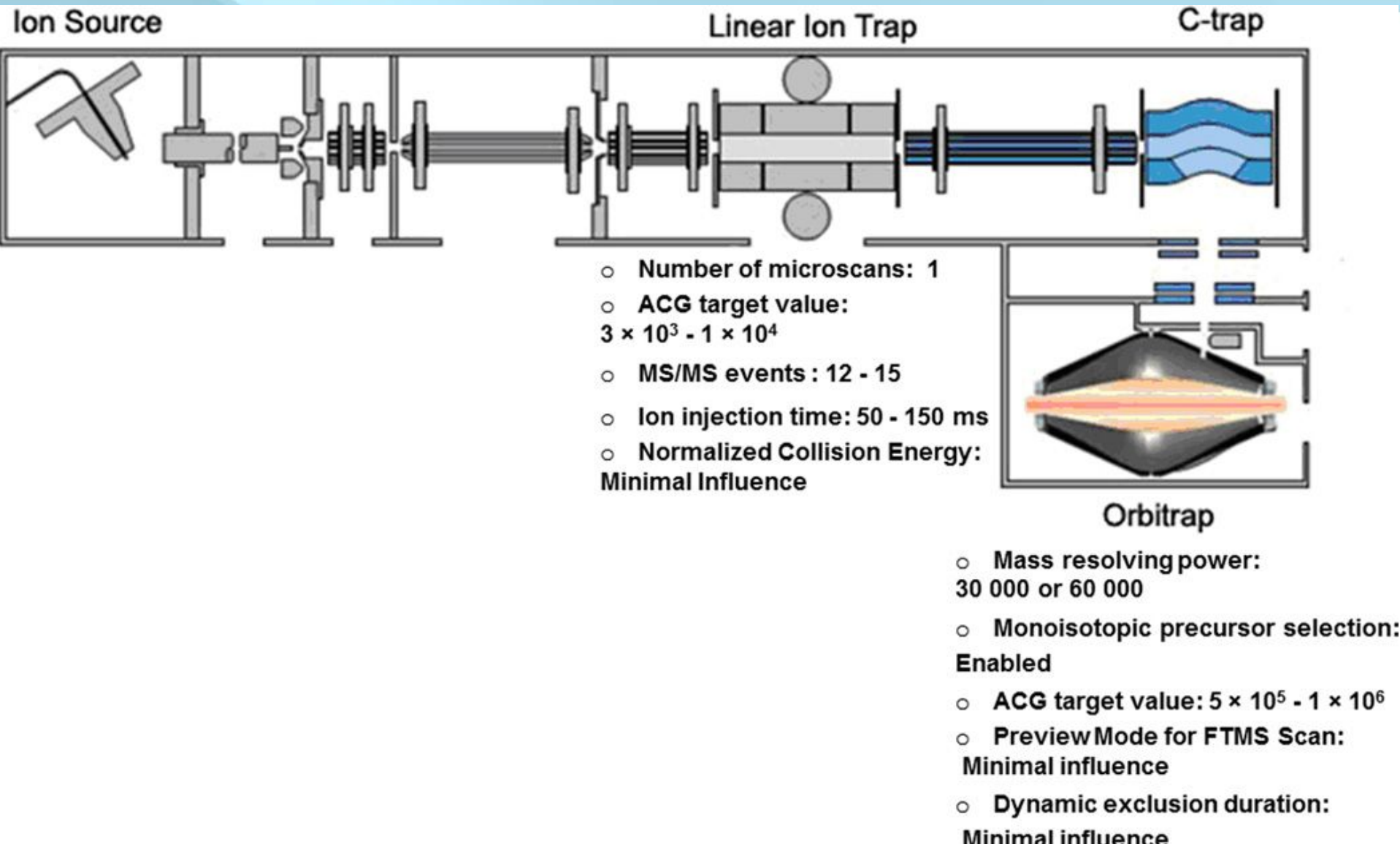
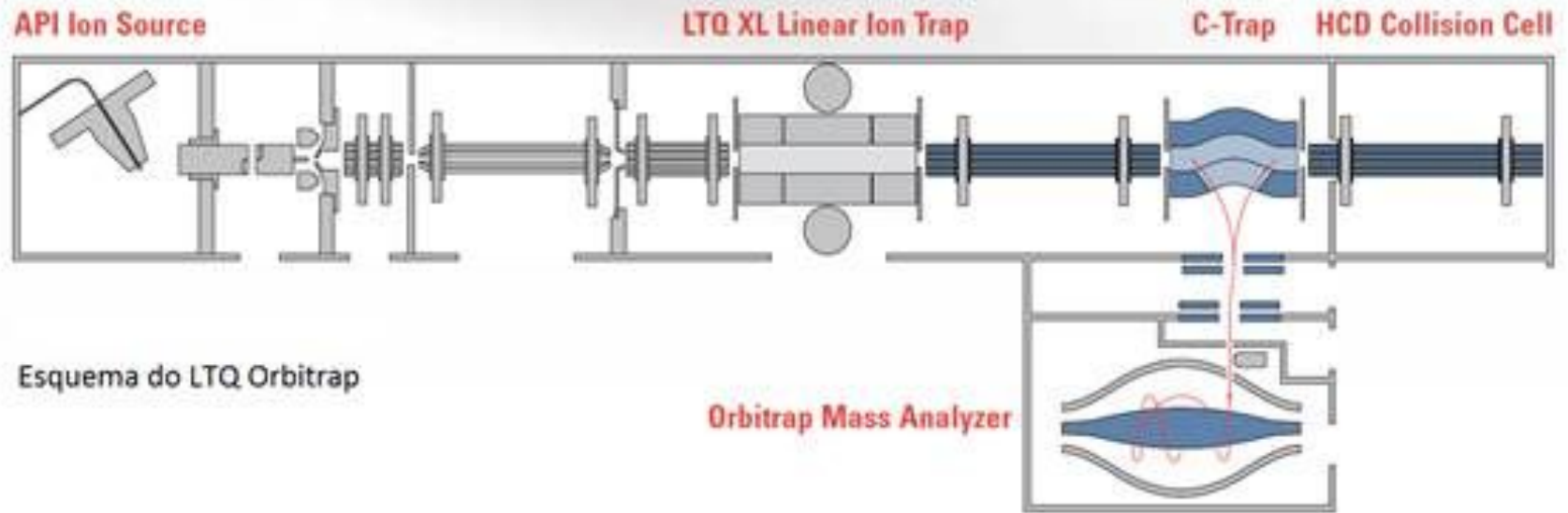


Fig. 4.1. Mass spectrometer islands. A cartoon by C. Brunnée. Reproduced from Ref. [2] with permission. © Elsevier Science, 1987.

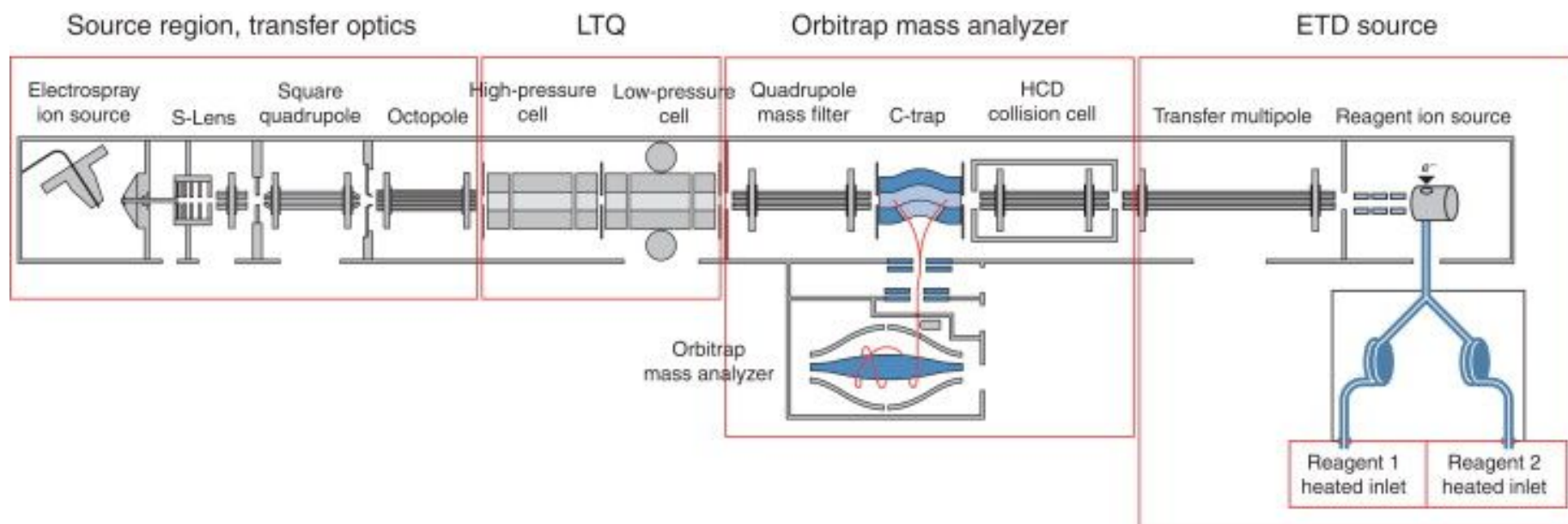
LTQ-Orbitrap



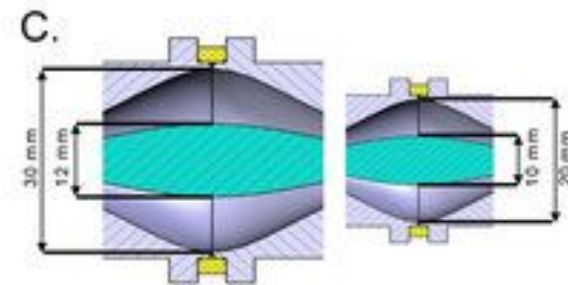
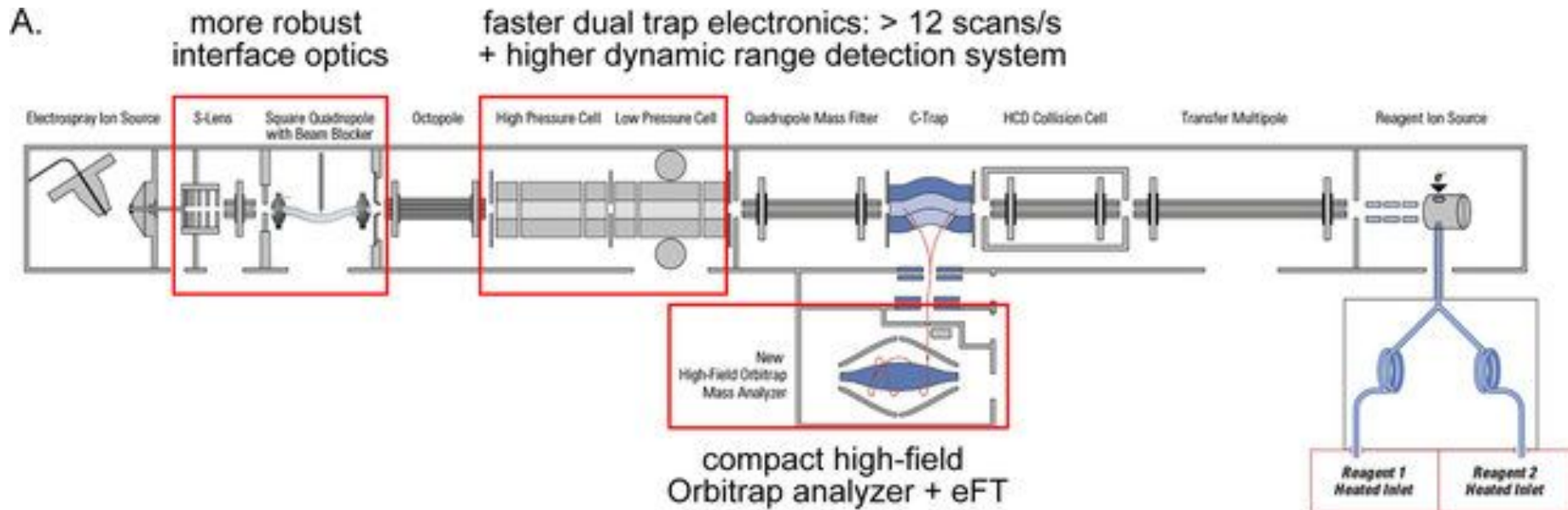
LTQ Orbitrap XL



LTQ-Orbitrap Velos c/ ETD



(LTQ) Orbitrap Elite c/ ETD



Tribrid technology

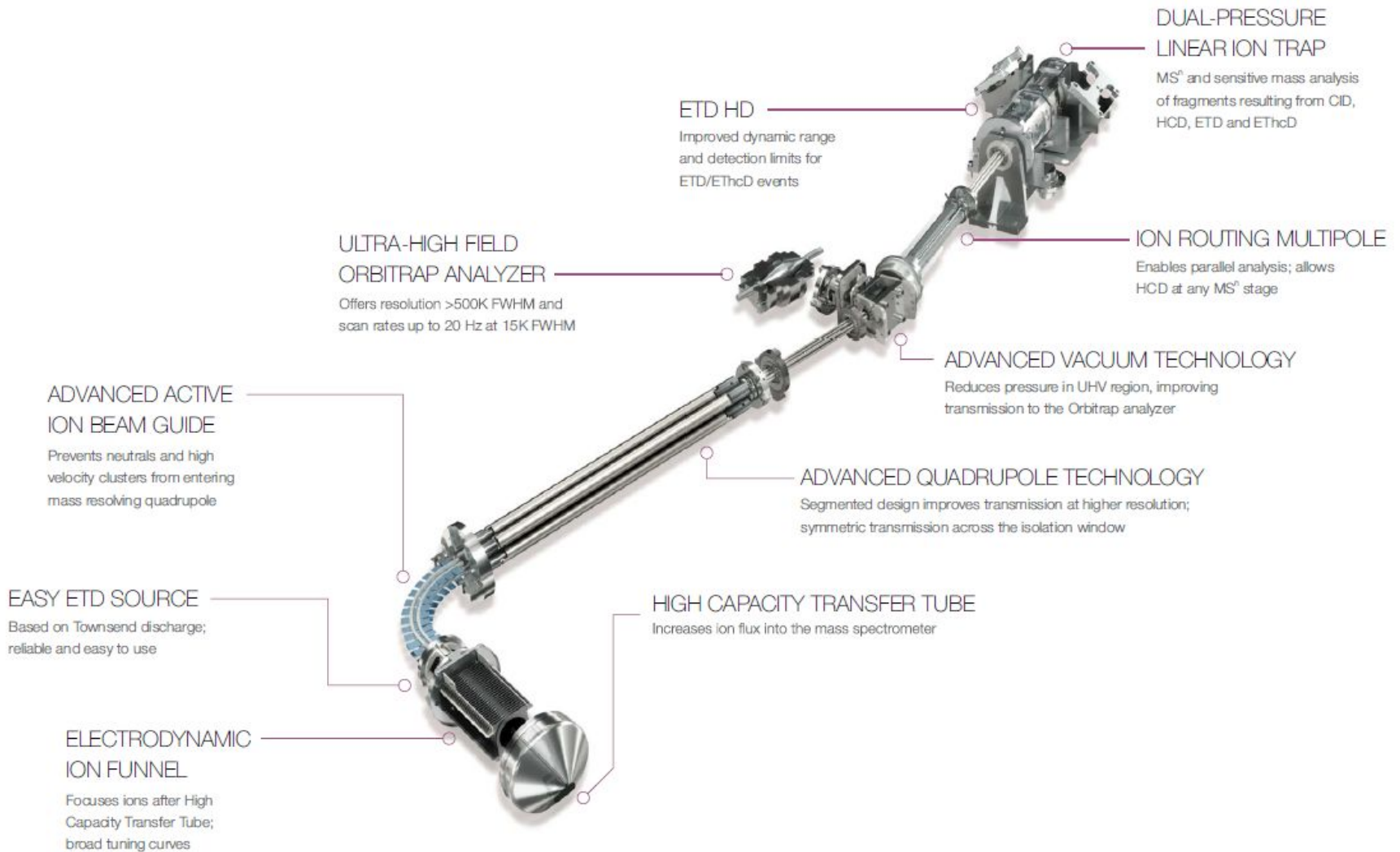
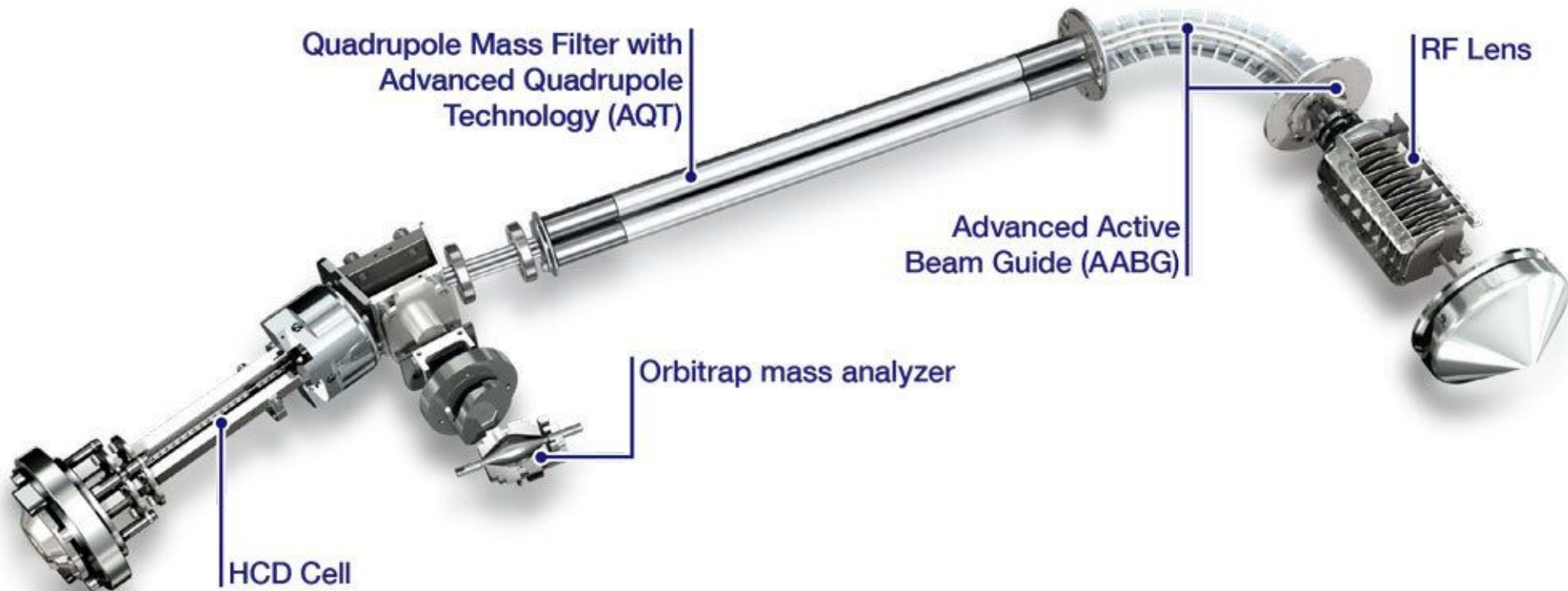
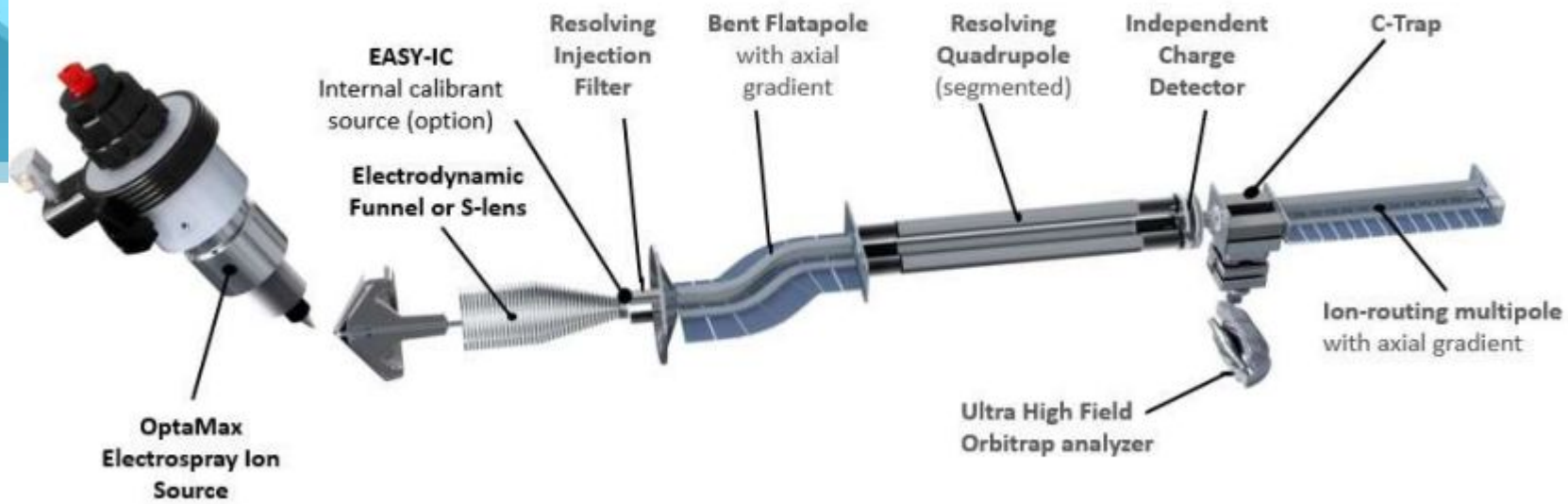


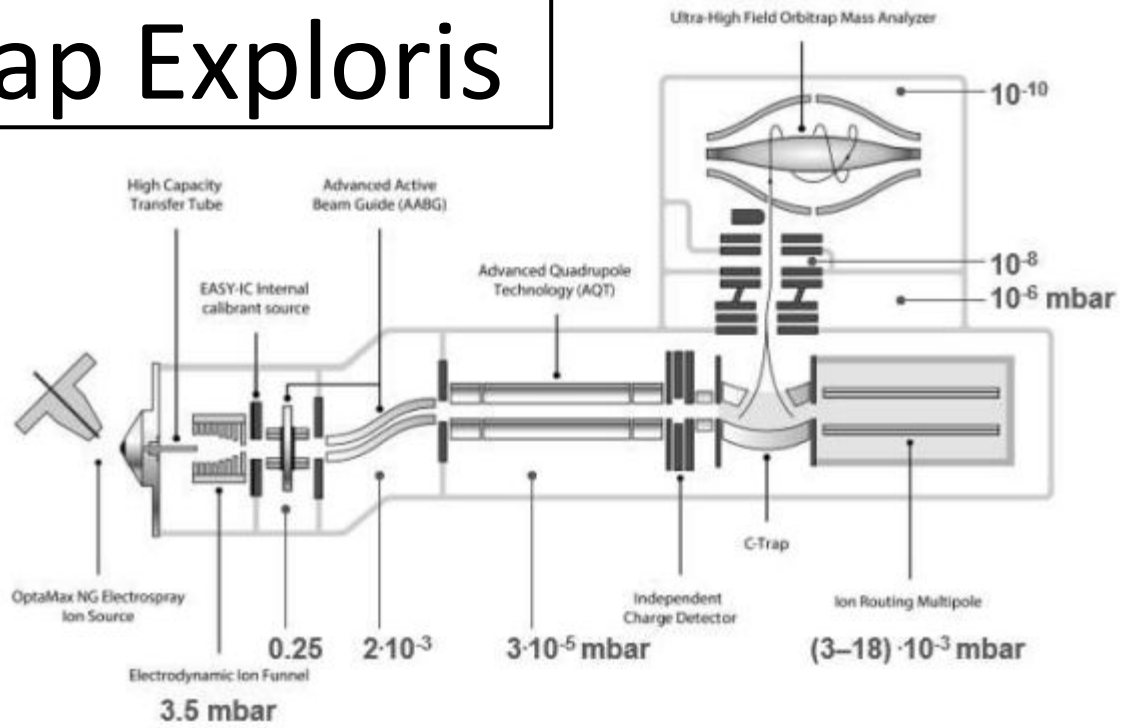
Figure 1. Hardware benefits.

Q Exactive Orbitrap

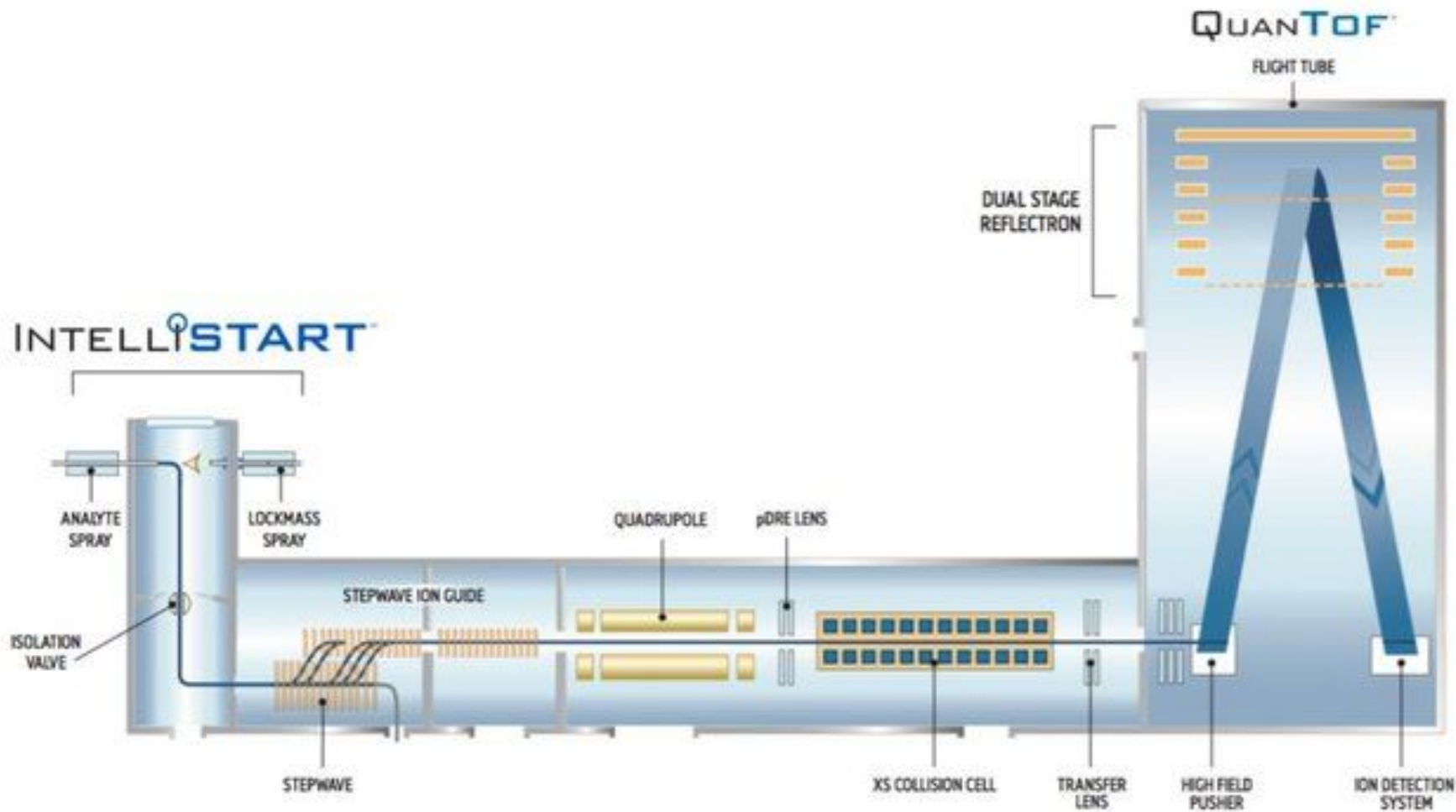




Orbitrap Exploris

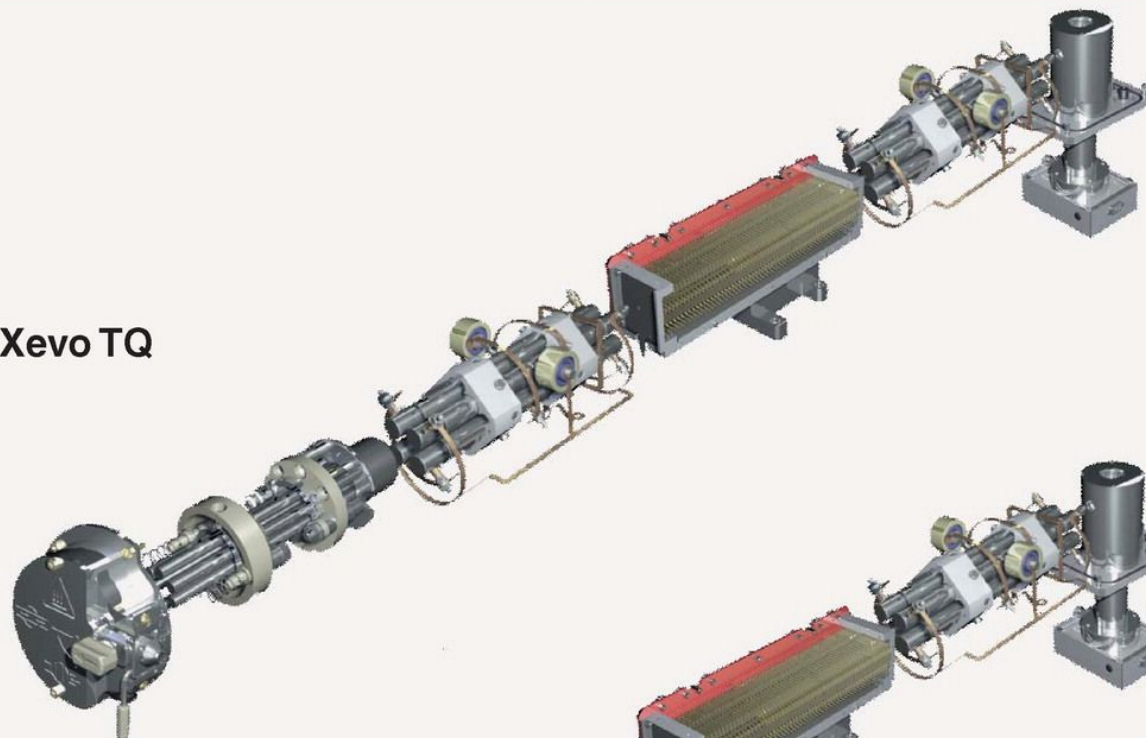


Xevo G2-XS



(A)

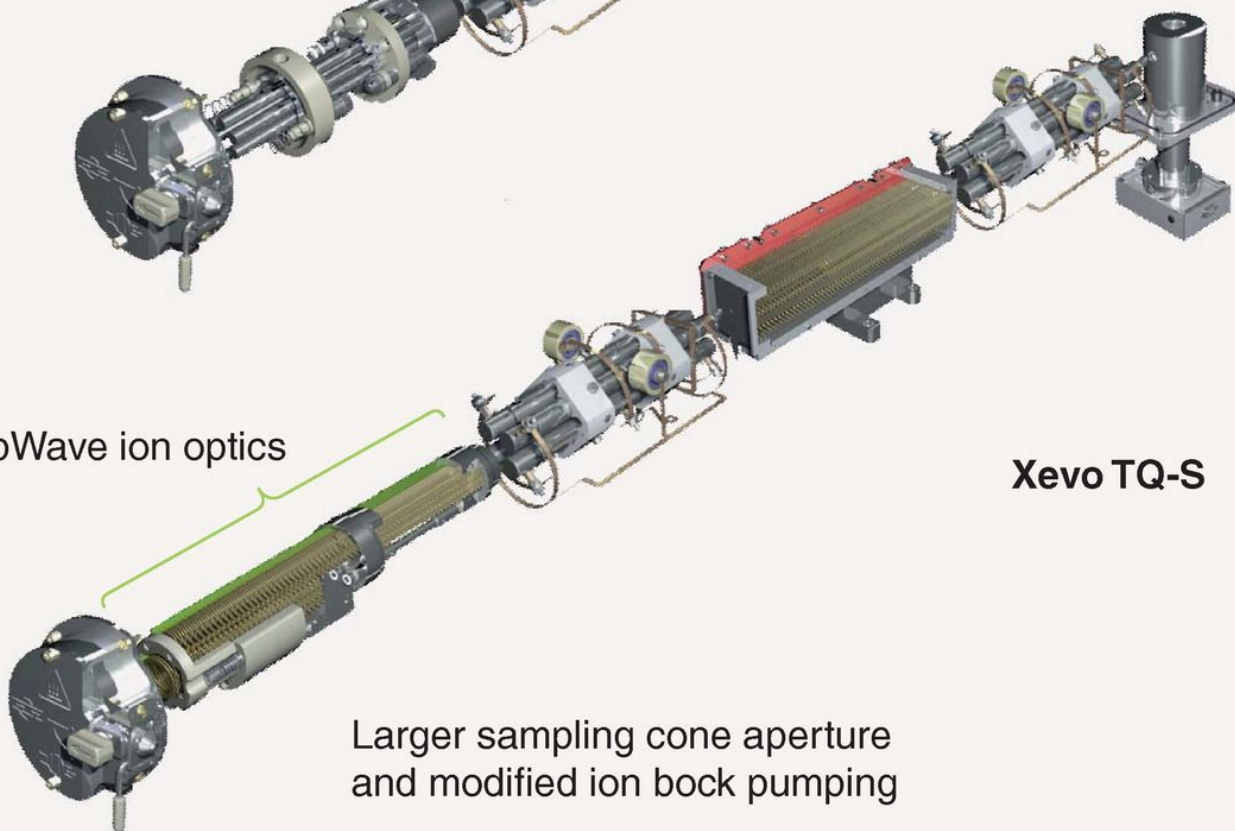
Xevo TQ



(B)

StepWave ion optics

Xevo TQ-S



Larger sampling cone aperture
and modified ion back pumping

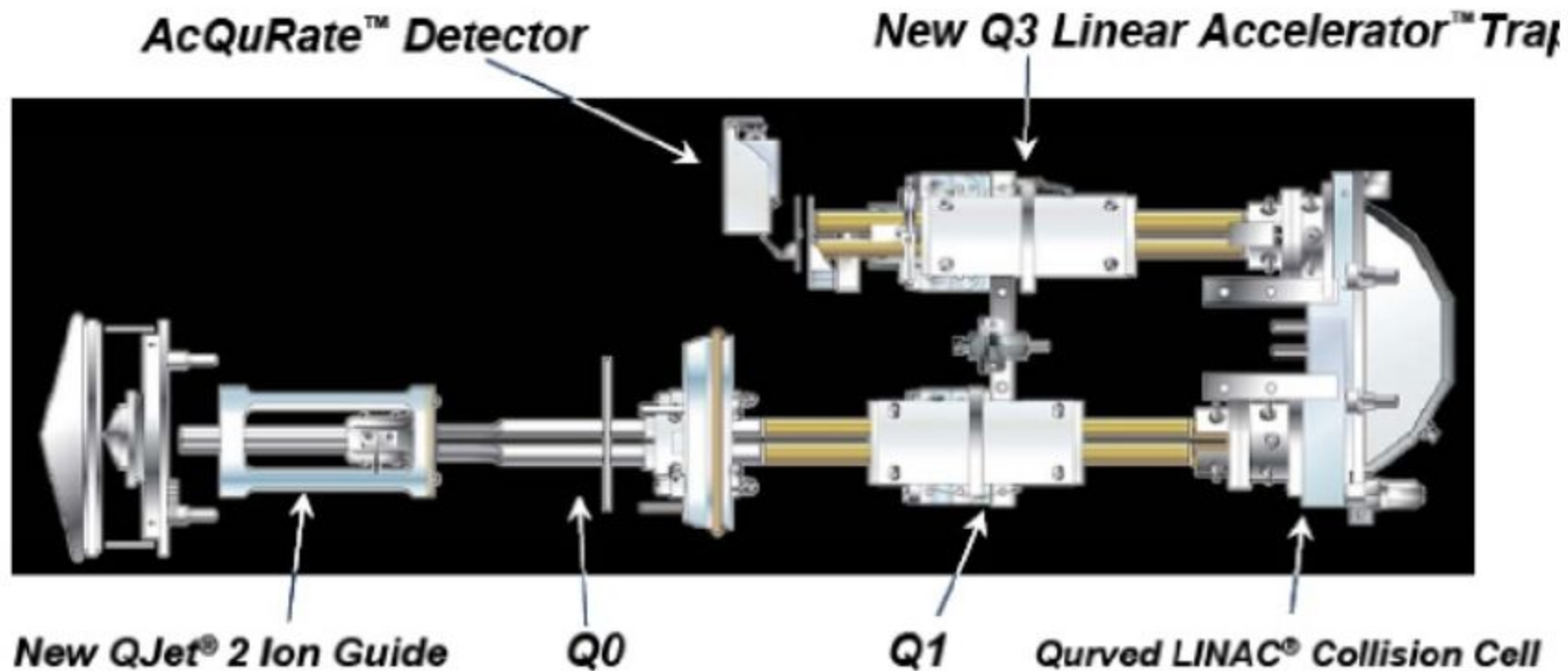


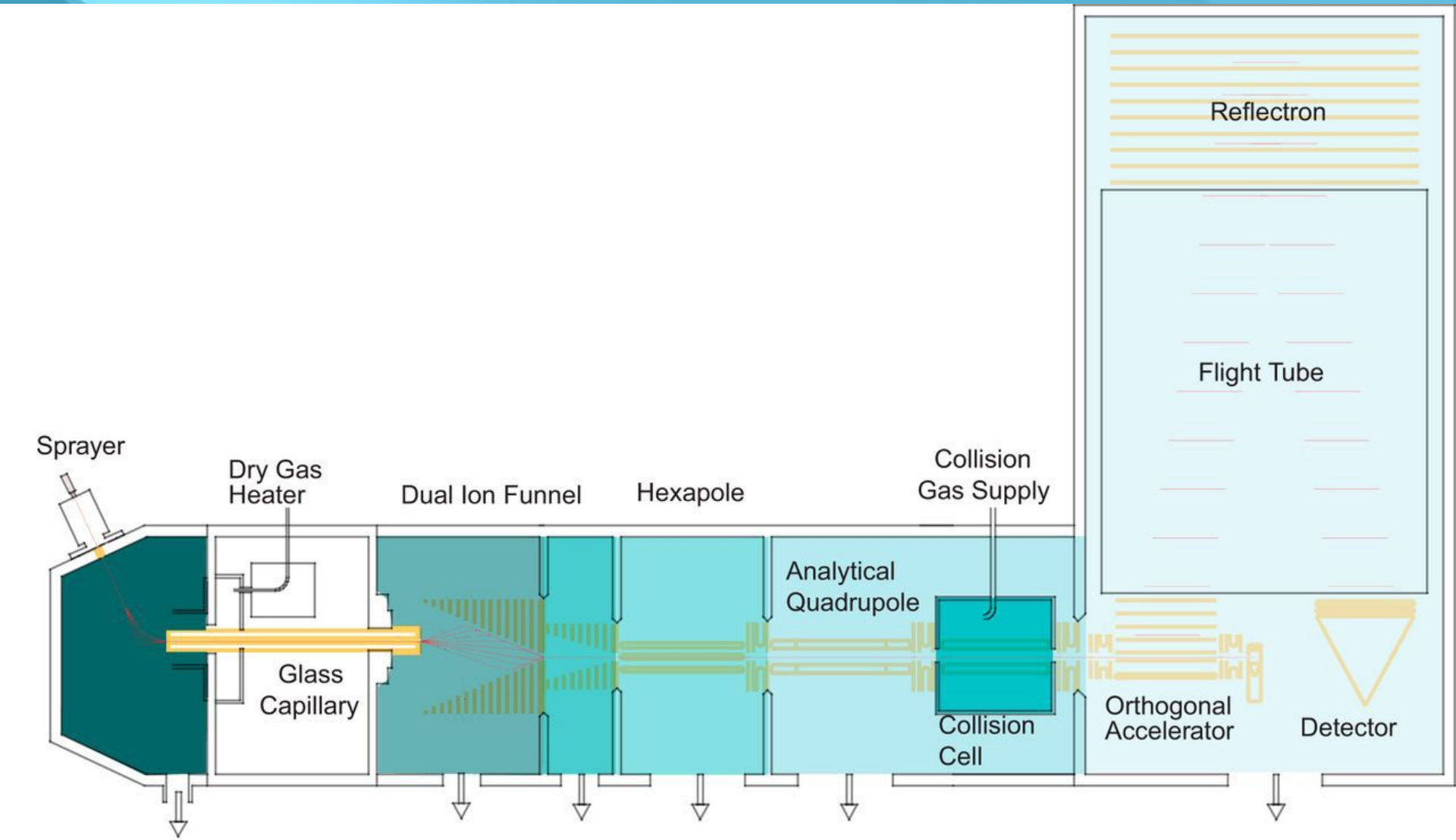
Figure 1. QTRAP® 5500 System Ion Path

Published in 2010

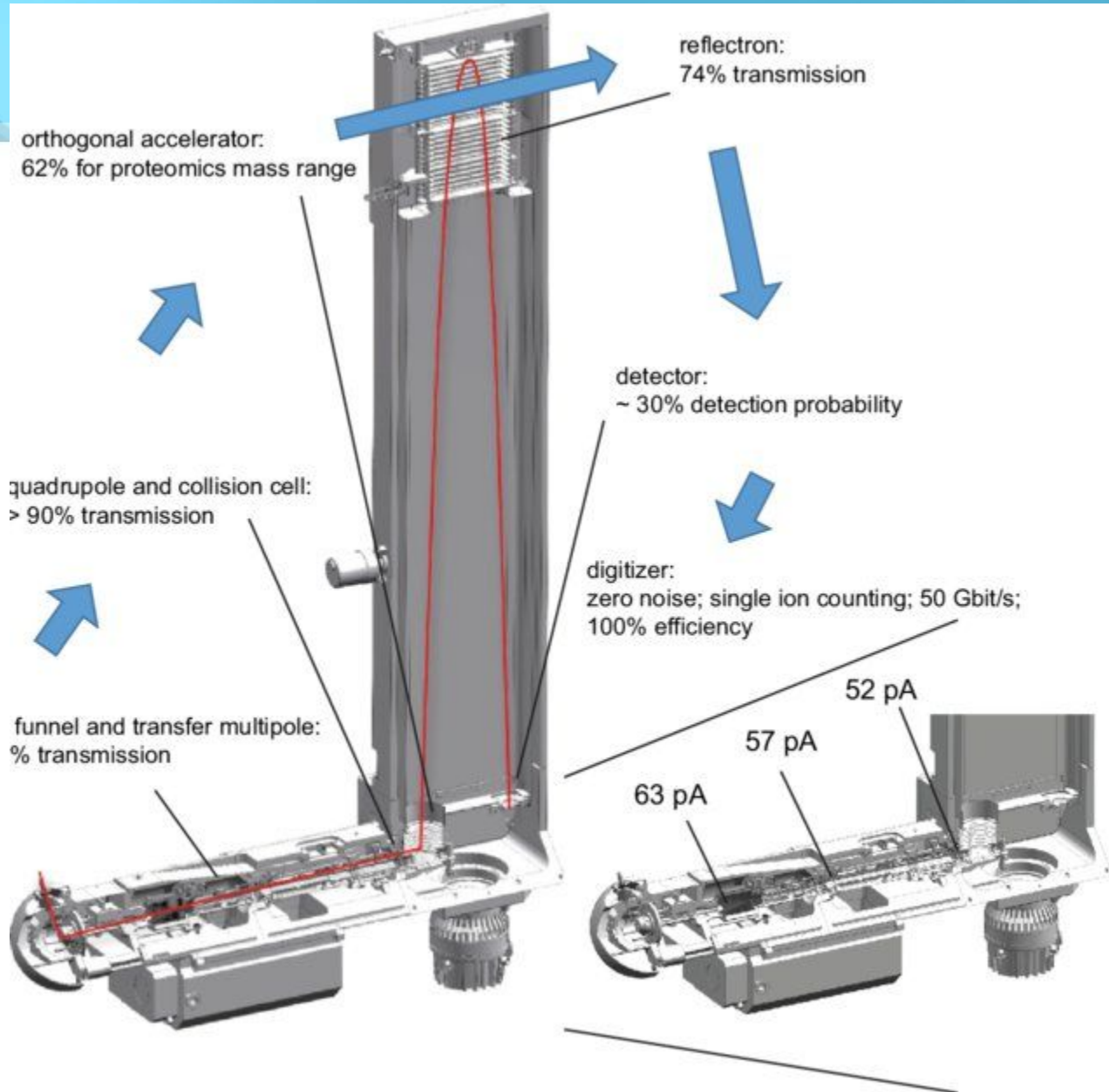
Metabolite Identification with the New QTRAP® 5500 LC / MS / MS System : Sensitivity , Selectivity , Speed & Unique Workflows Overview



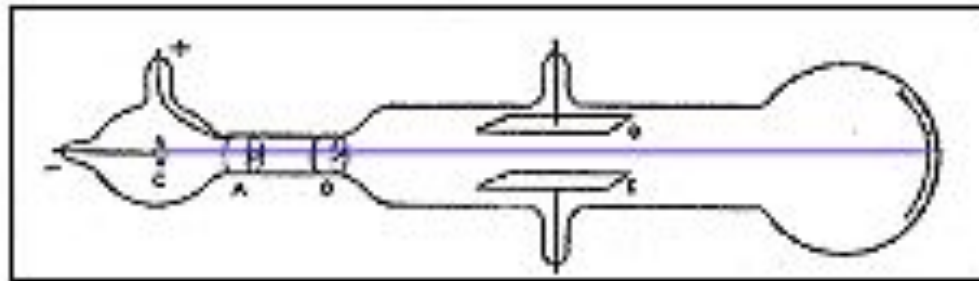
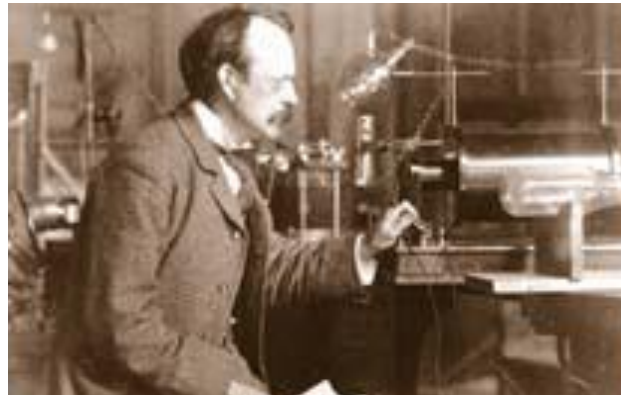




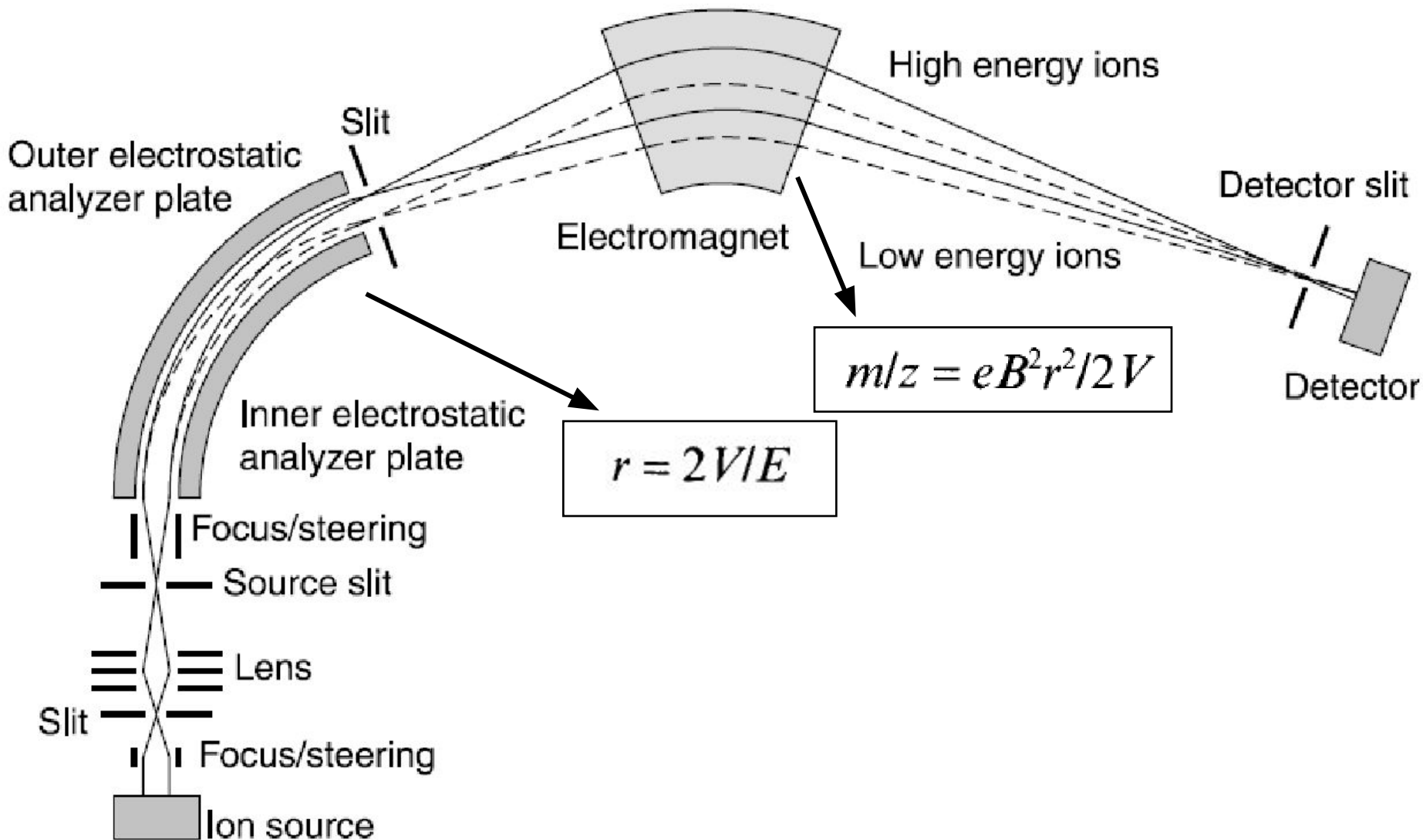
API Spray Chamber



J.J. Thomson e o tubo de raios catódicos



Setor Magnético e Setor Eletrostático (Focalização Dupla)

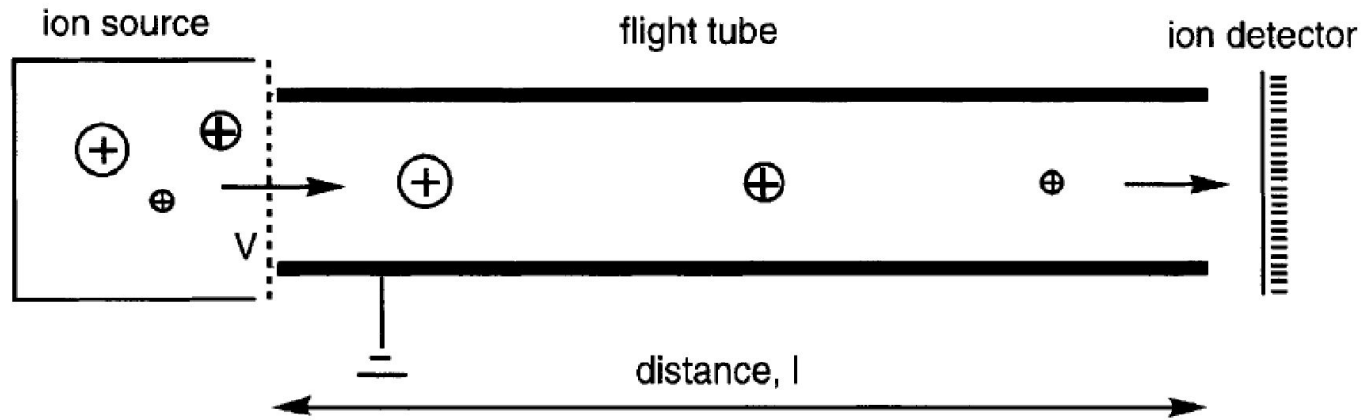


Focalização Dupla

- Vantagens
 - Alta resolução e exatidão
 - Excelente estabilidade = resultados quantitativos

- Desvantagens
 - Caro -- Difícil de usar
 - Velocidade de varredura limitada (histerese)
 - Detectabilidade é dependente da velocidade

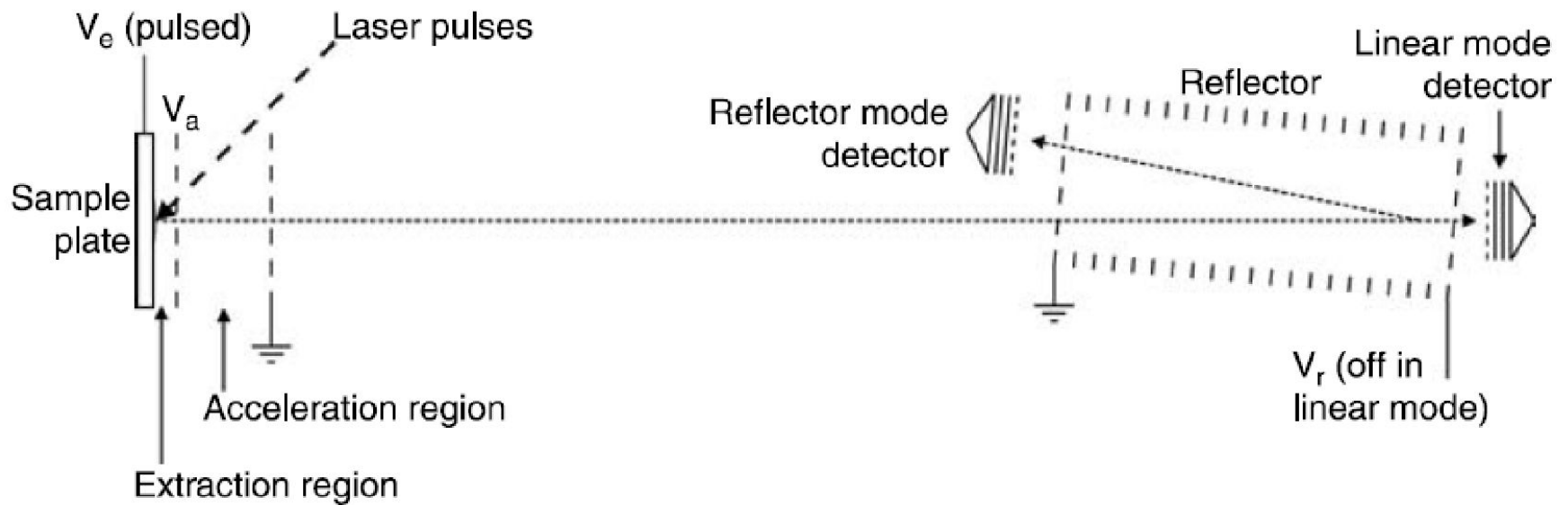
Tempo de Voo - TOF



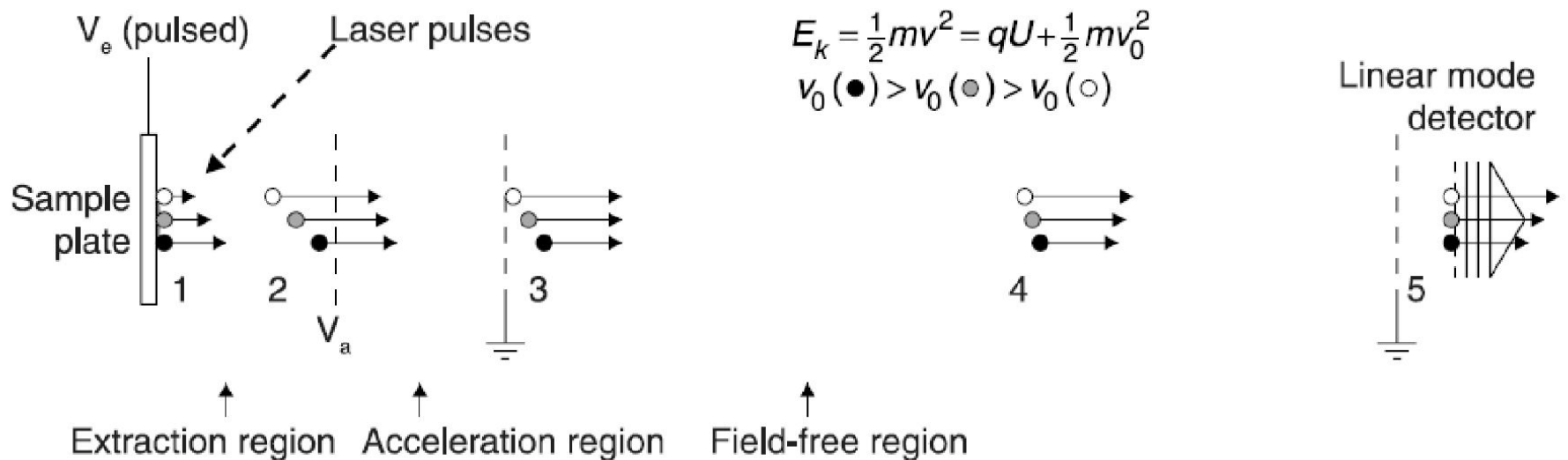
$$t = \frac{L}{v} = L \left(\frac{m}{2zeV} \right)^{1/2}$$

$$m/z = \frac{2eVt^2}{L^2}$$

TOF de alta resolução

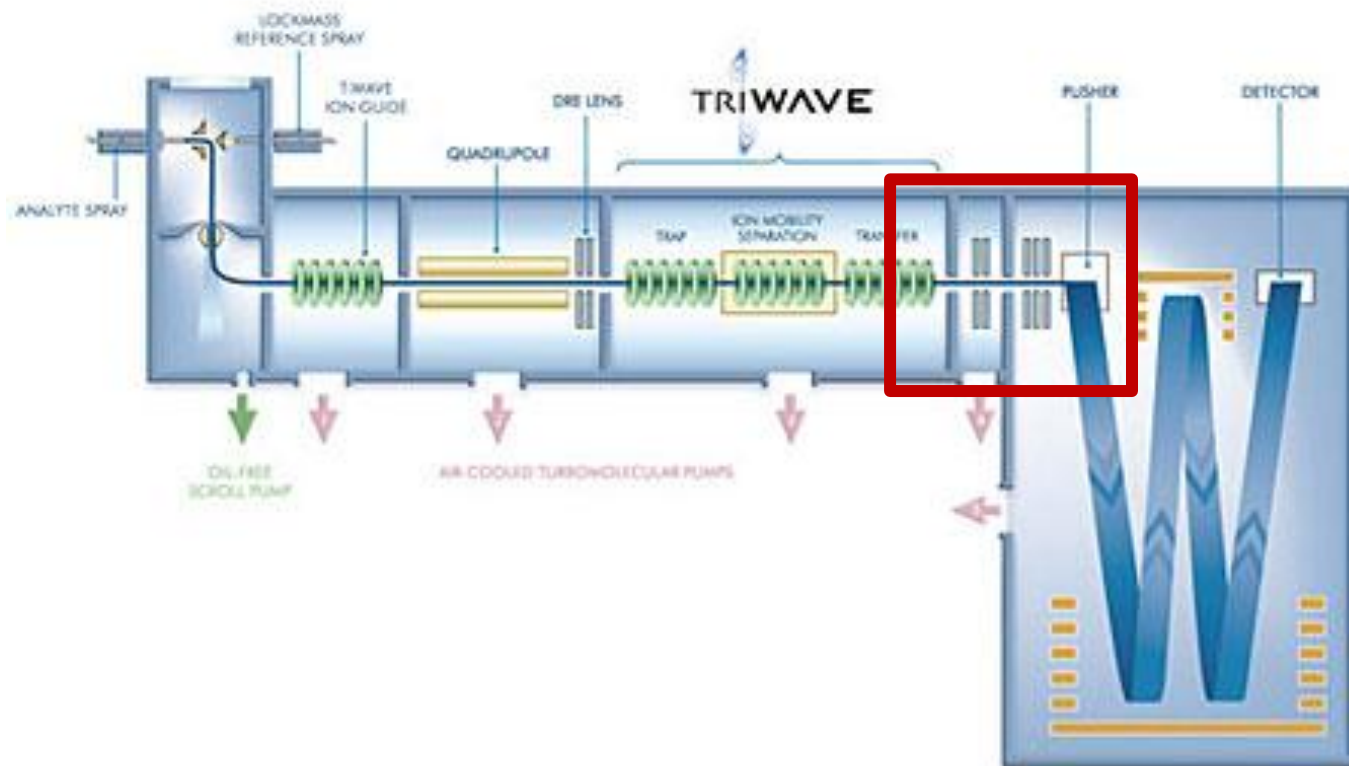


TOF de alta resolução – *Delayed Extraction (DE)*



TOF de alta resolução – oa-ToF

Orthogonal Acceleration



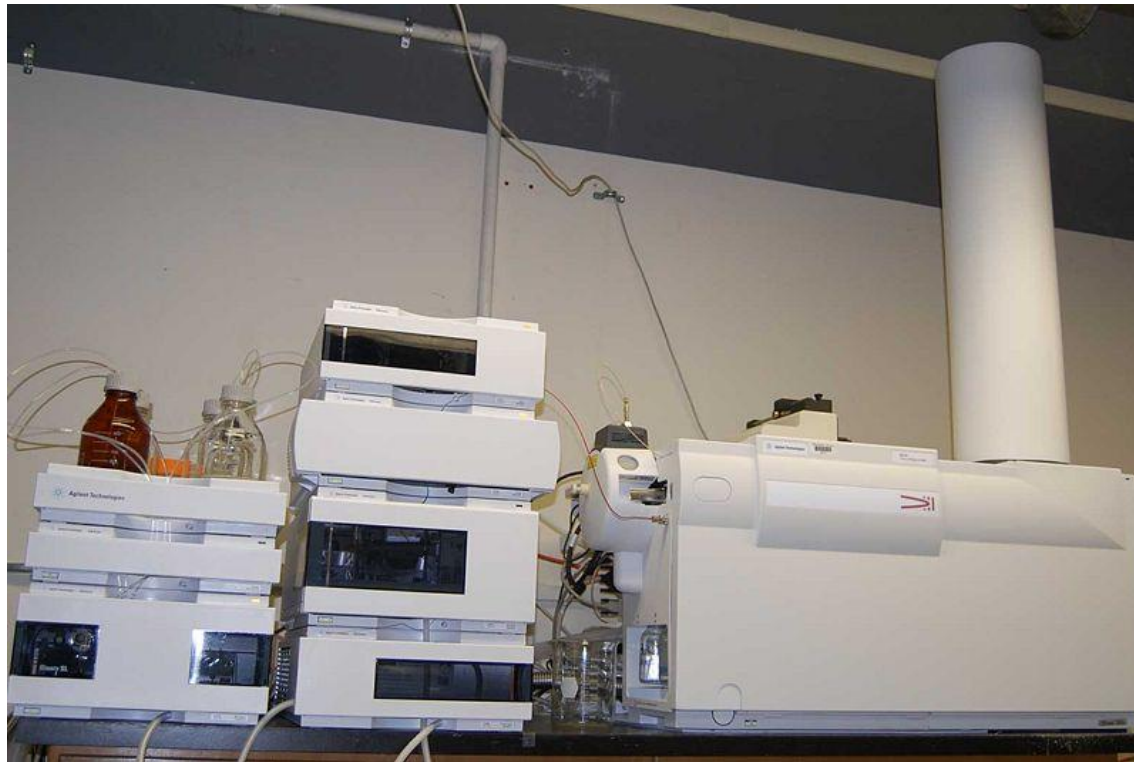
TOF de alta resolução – oa-ToF

Orthogonal Acceleration

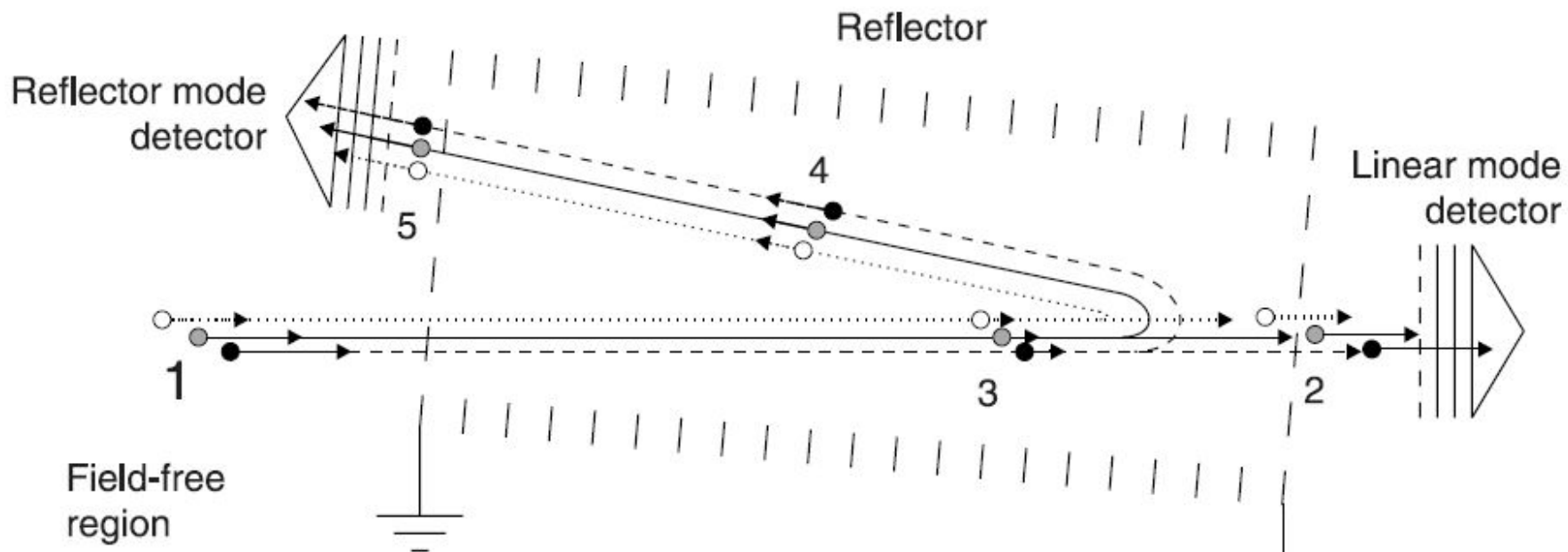


TOF de alta resolução – oa-ToF

Orthogonal Acceleration



TOF de alta resolução – *Reflectron*



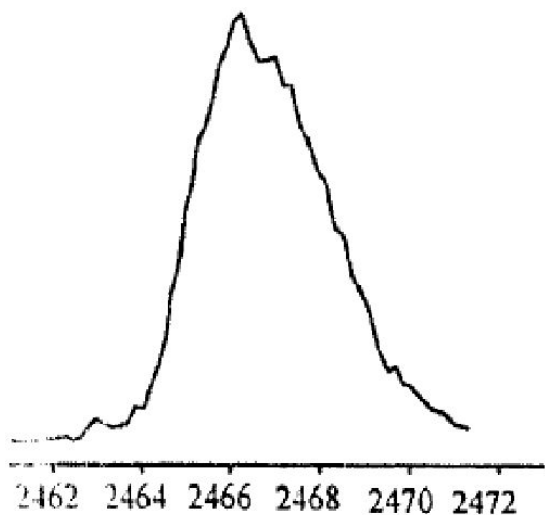
$$E_k = \frac{1}{2}mv^2 = qU + \frac{1}{2}mv_0^2$$

$$v_0(\bullet) > v_0(\circ) > v_0(\circ)$$

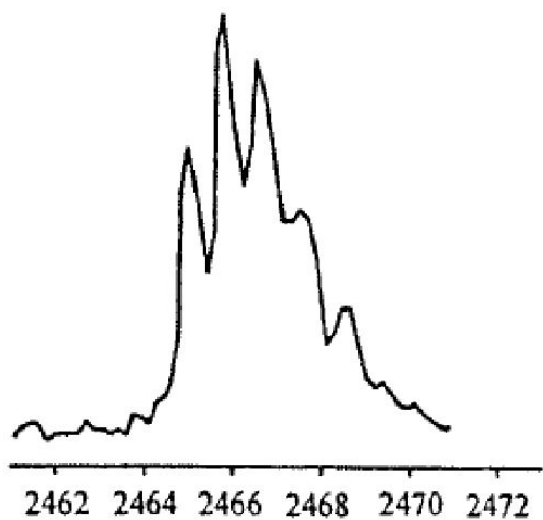
V_r (off in linear mode)

TOF de alta resolução – *DE* + *Reflectron*

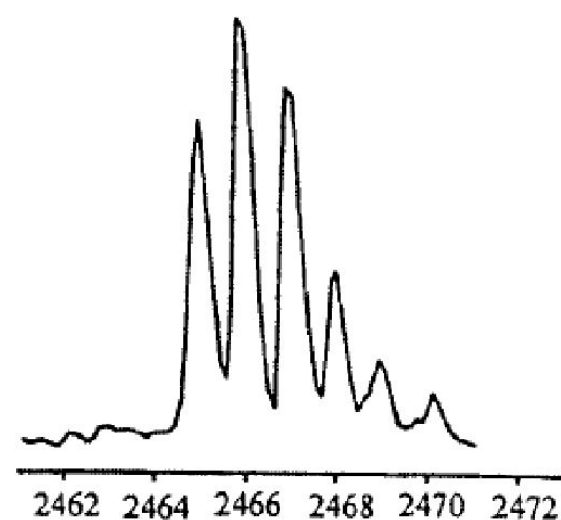
Linear



Linear DE



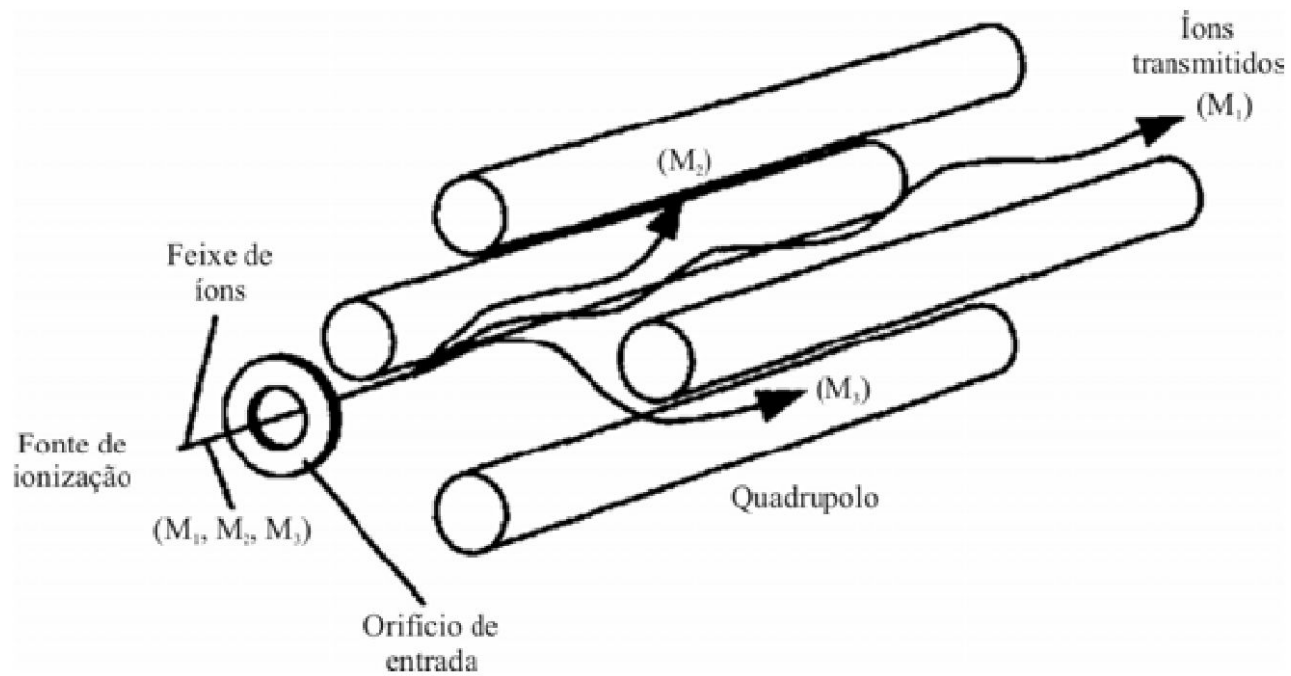
Reflectron DE



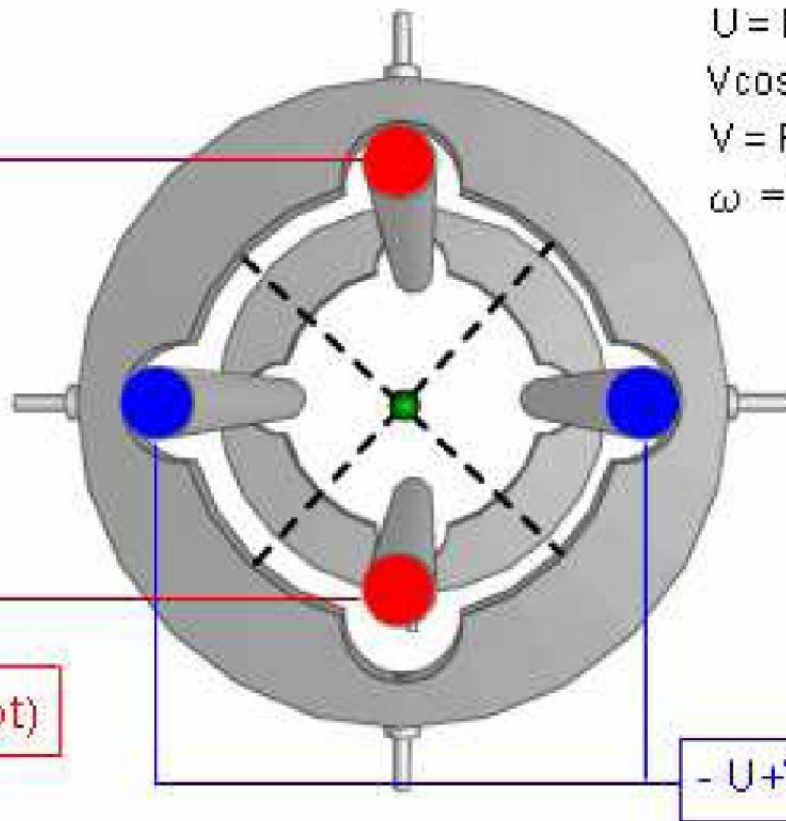
Características do TOF

- Aquisição veloz do espectro com sensibilidade
- Virtualmente sem limite de massas (modo sem reflexão)
- Bom poder de resolução : 10.000 a 50.000 (FWHM)
 - para melhor RP: ortogonal, DE (*delayed extraction*) e refletor
 - geralmente < 20.000 (FWHM)
- Grau de Exatidão: 20 a 100 ppm
- Exige calibração interna para melhorar exatidão

Quadrupolo



$U = \text{DC Voltage}$
 $V \cos(\omega t) = \text{RF}$
 $V = \text{RF Amplitude}$
 $\omega = \text{Frequency}$

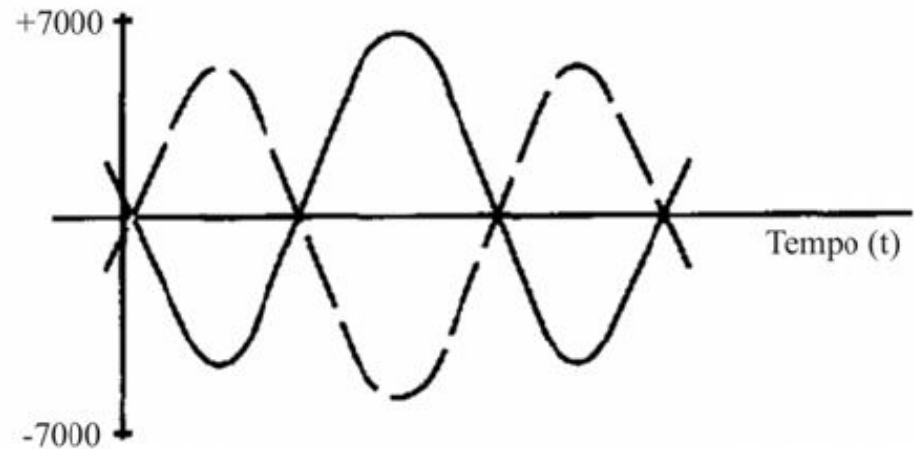


Quadrupole rods

$U + V \cos(\omega t)$

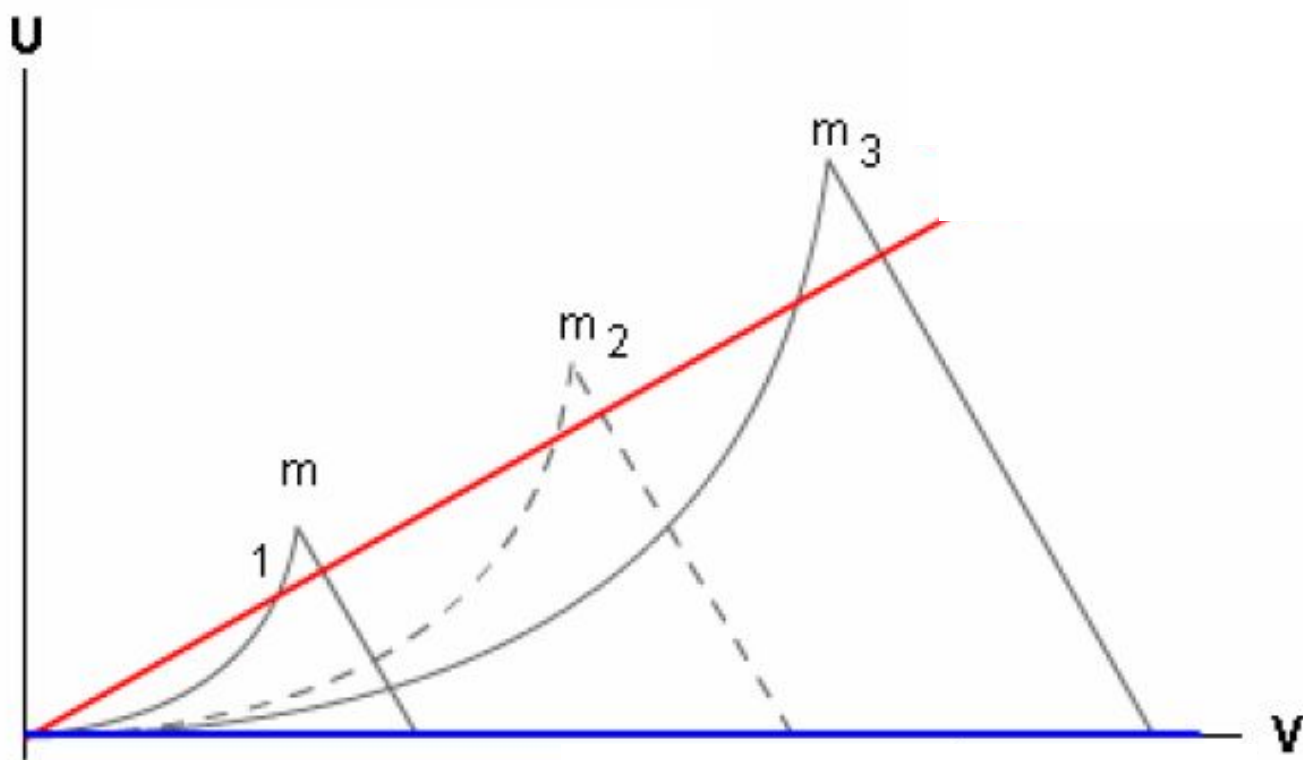
$- U + V \cos(\omega t)$

Sobreposição de AC e DC ►

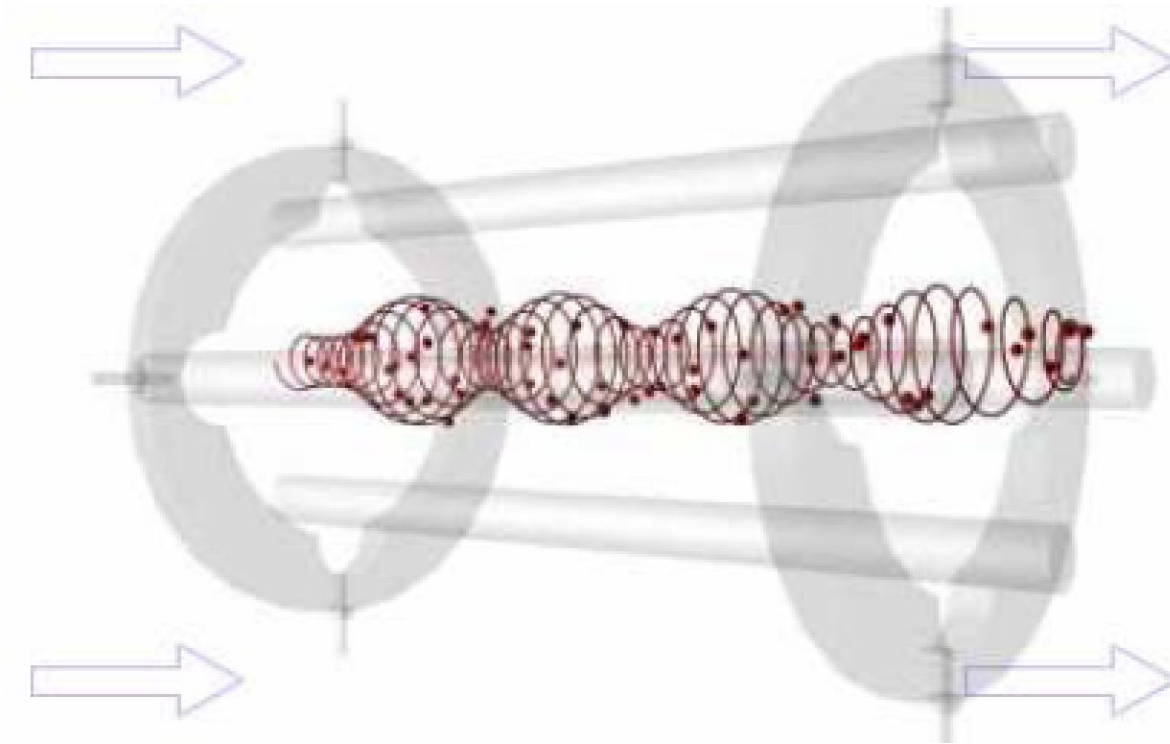


$$a = \frac{8zU}{mr_o^2 \omega^2}$$

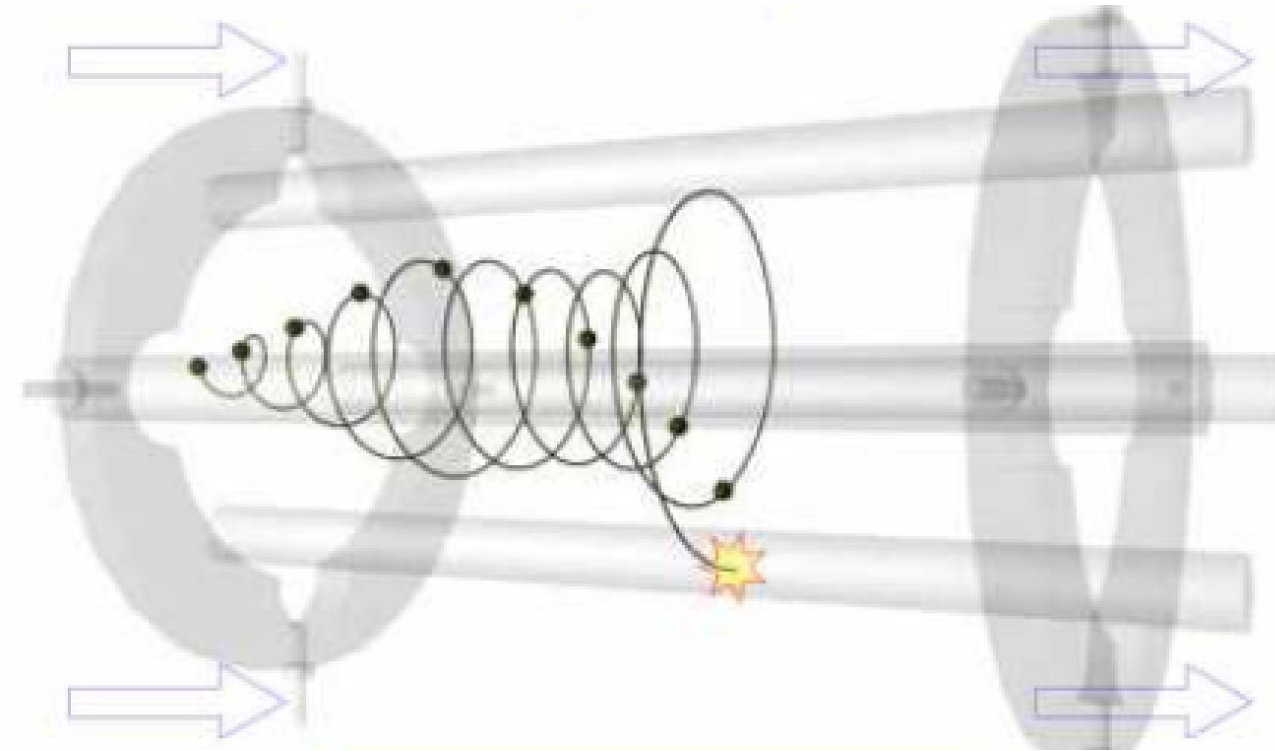
$$q = \frac{4zV}{mr_o^2 \omega^2}$$



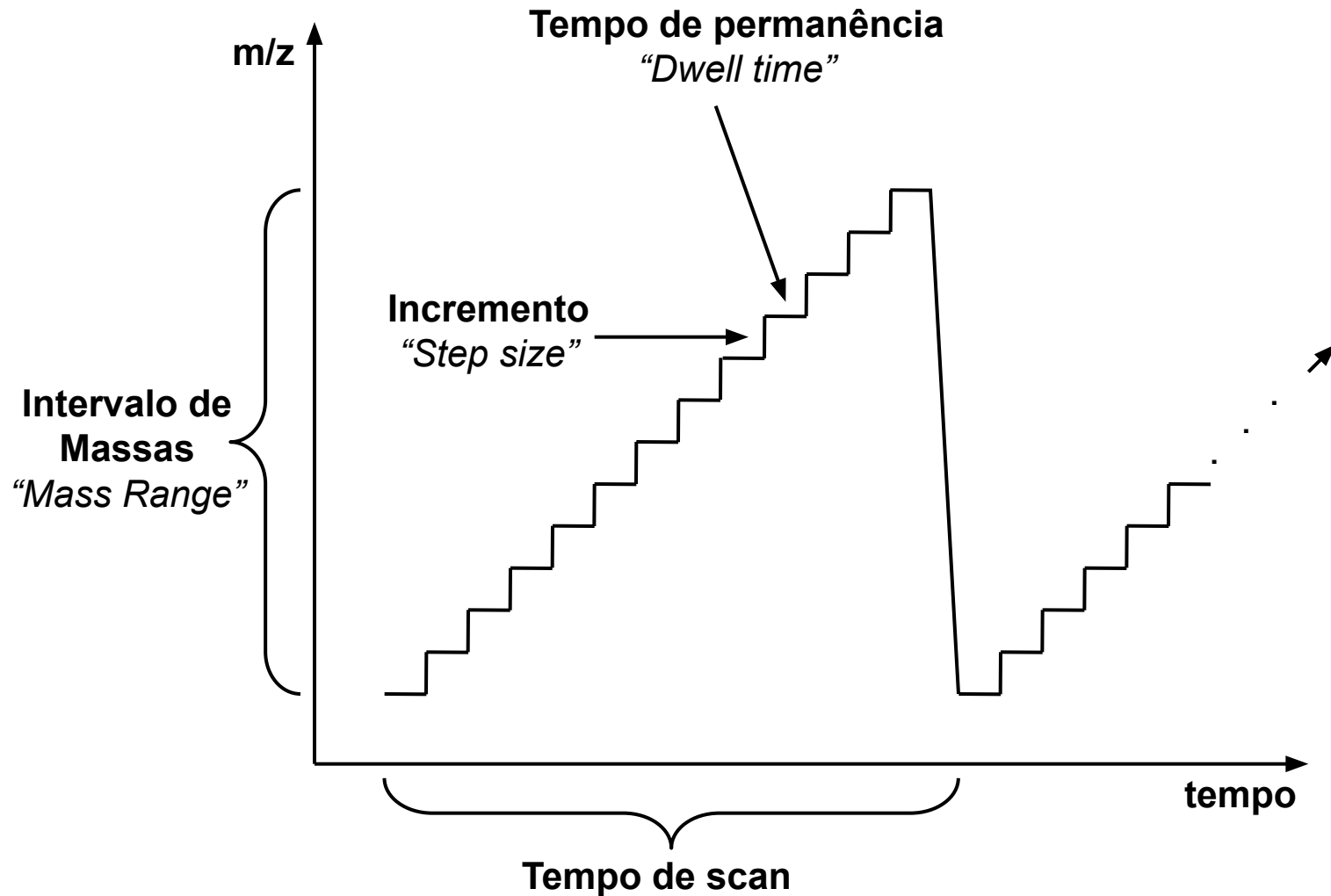
Trajeto ria de  ion em movimento harm nico



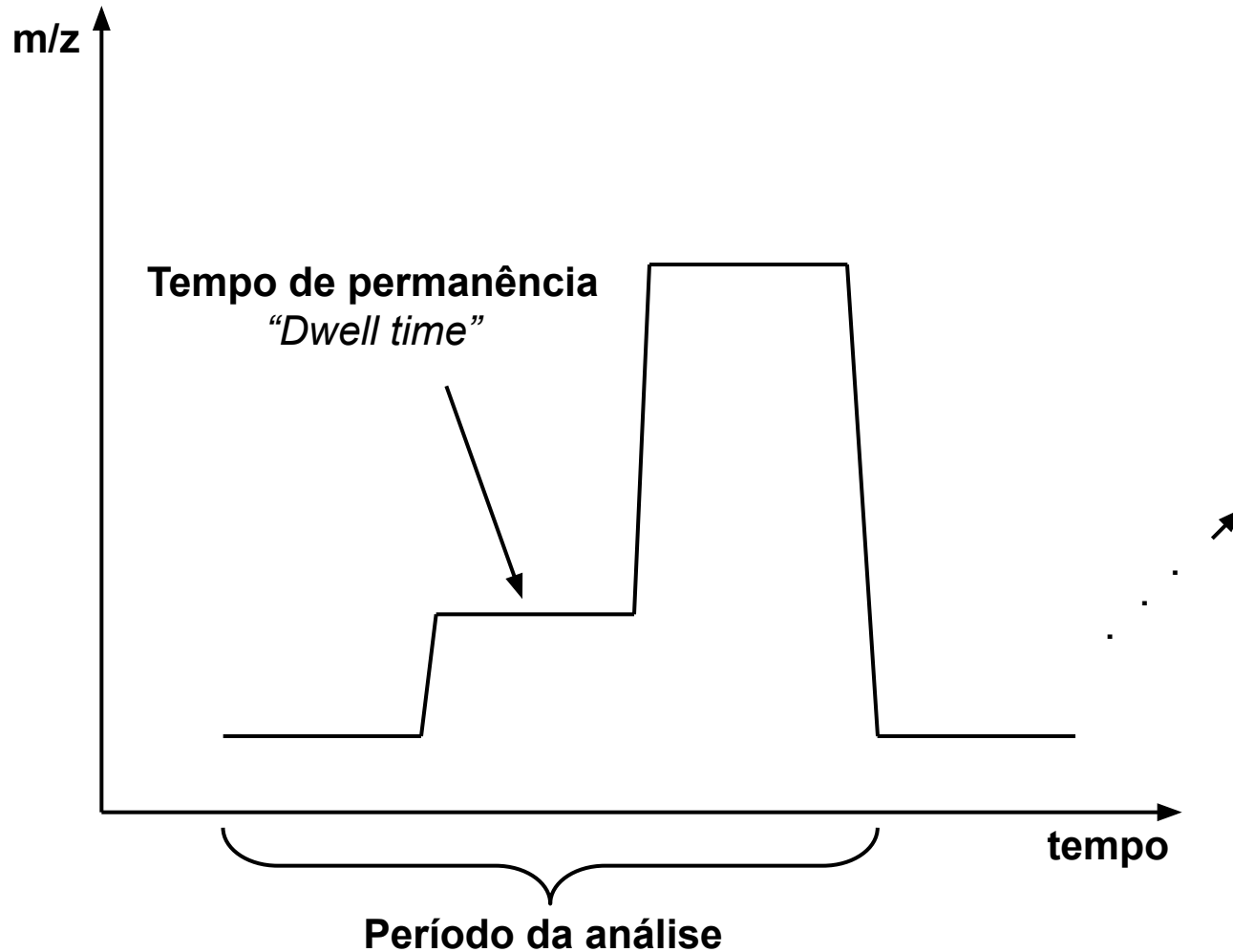
Trajetória de íon em movimento não harmônico



Modo Scan



Modo SIM



Características de um Quadrupolo

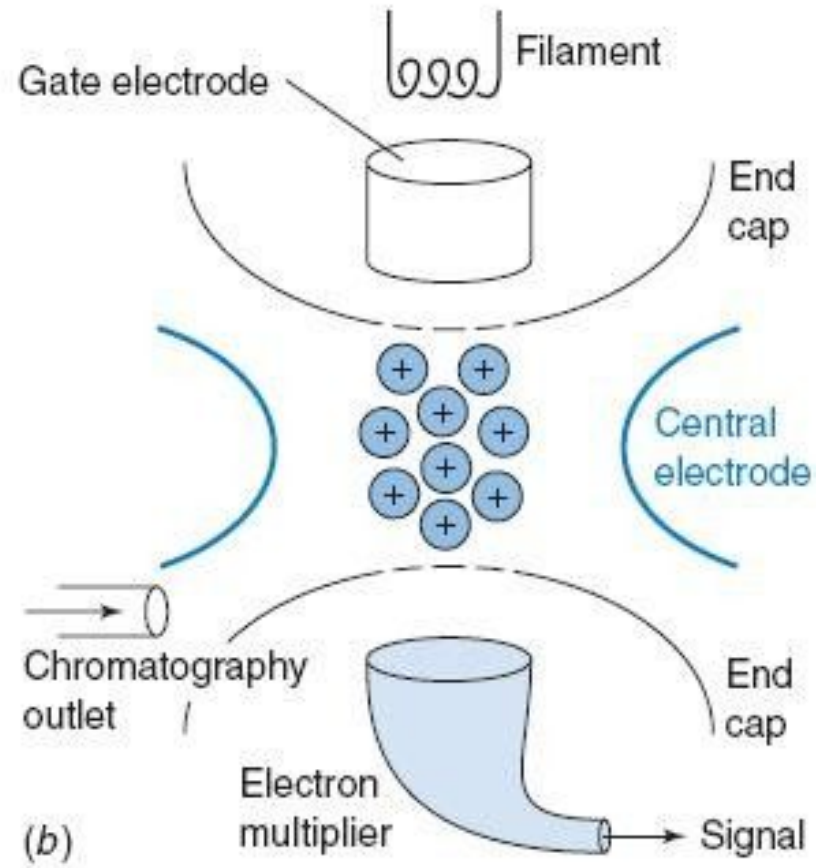
- $m/z < 4000$ Da/e
- Baixo RP: 1000-4000 (FWHM)
 - geralmente 0,7 a 1,0 Da
- Grau de Exatidão: 100 a 200 ppm
- Baixo custo
- Velocidade de varredura razoável
- Velocidade de varredura influencia na detectabilidade



Quadrupolo Aprisionador de Íons - *Ion trap*



(a)



(b)

Ion trap

$$a_z = -2a_r = - \frac{16eU}{m(r_0^2 + 2z_0^2)\Omega^2}$$

DC on the Ring

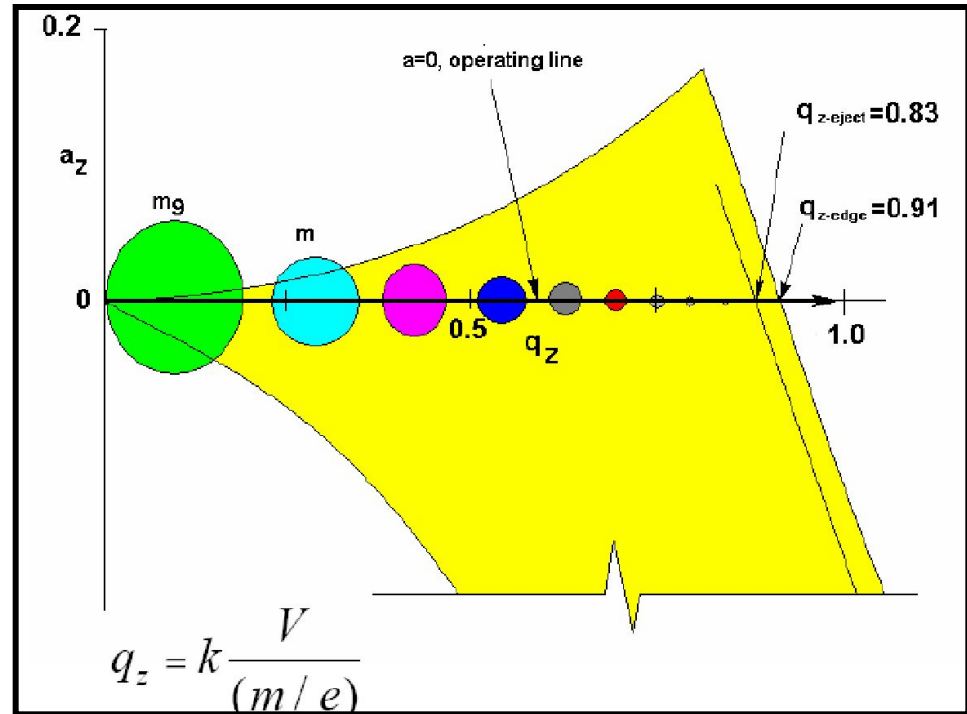
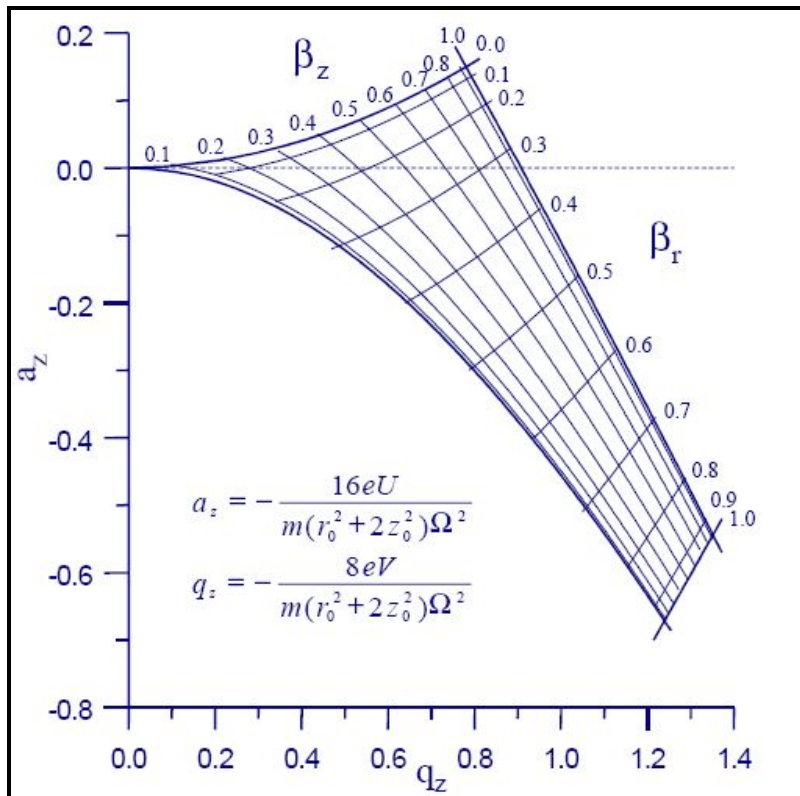
$$q_z = -2q_r = - \frac{8eV}{m(r_0^2 + 2z_0^2)\Omega^2}$$

RF on the Ring

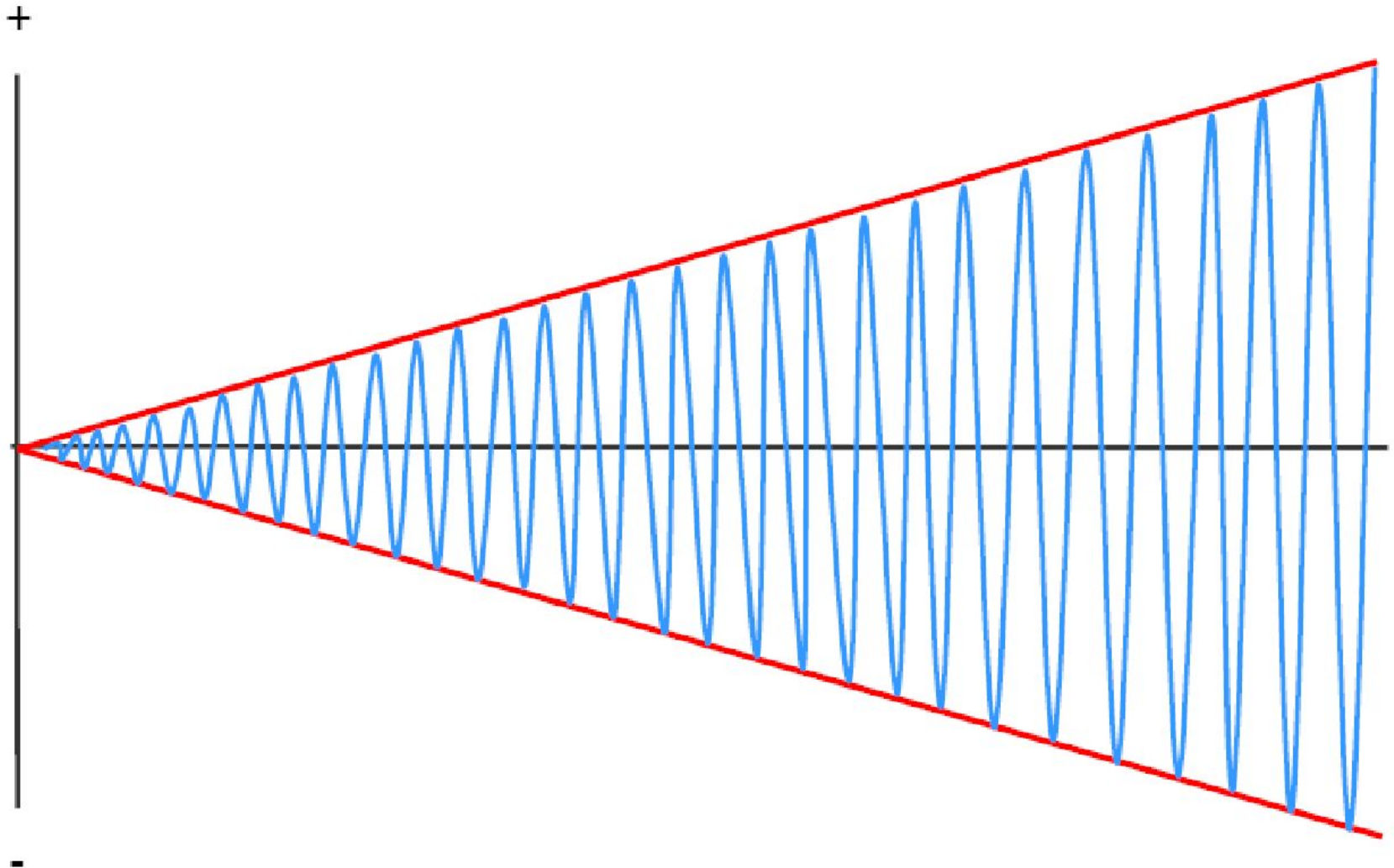
Mass

Ring Parameters

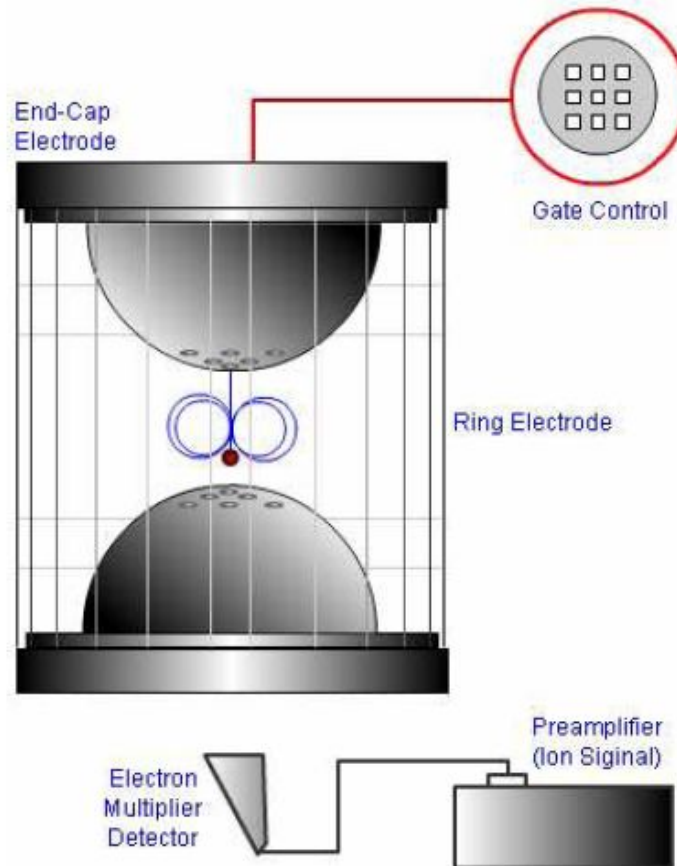
Ion trap



Varredura do potencial V



Varredura do potencial V

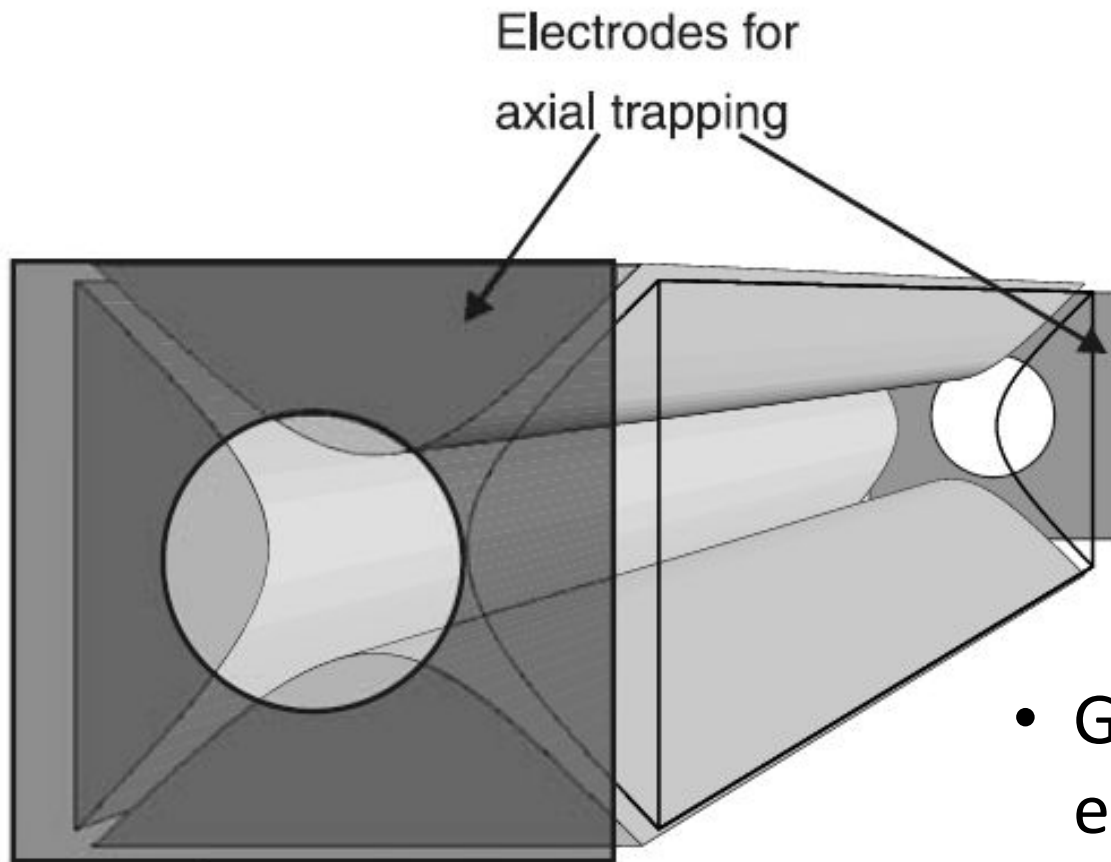


Características de um IT

- $m/z < 6.000$ Da/e
- RP: 1000 a 5000 (FWHM)
 - Geralmente 0,7 a 1,0 Da
- Grau de Exatidão: 200 a 300 ppm
- Baixo custo
- MS^n ($n < 4$ ou 5)
- *Charge-space effects*

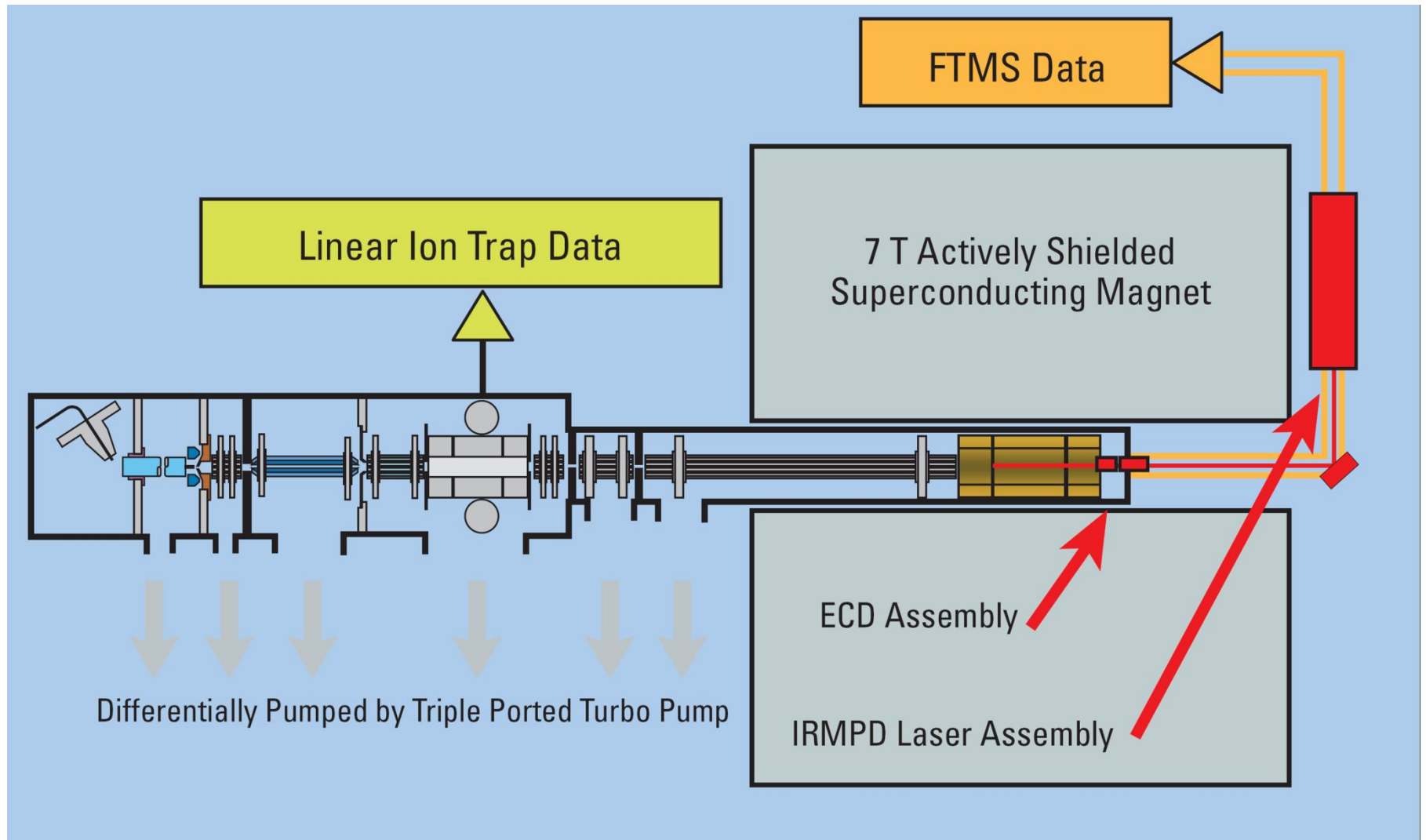


Ion trap linear - LIT

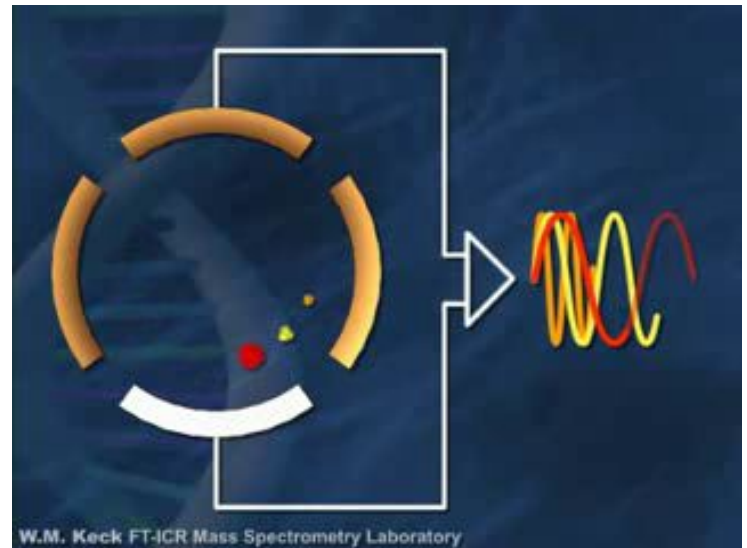
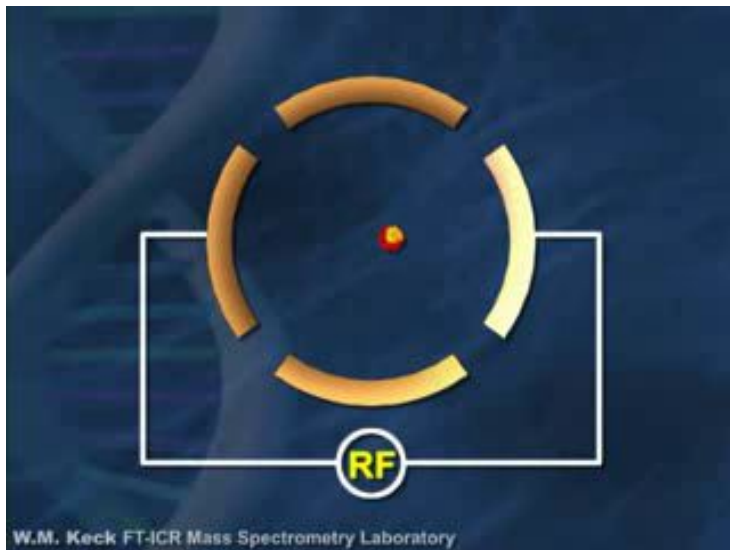
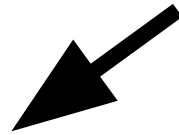
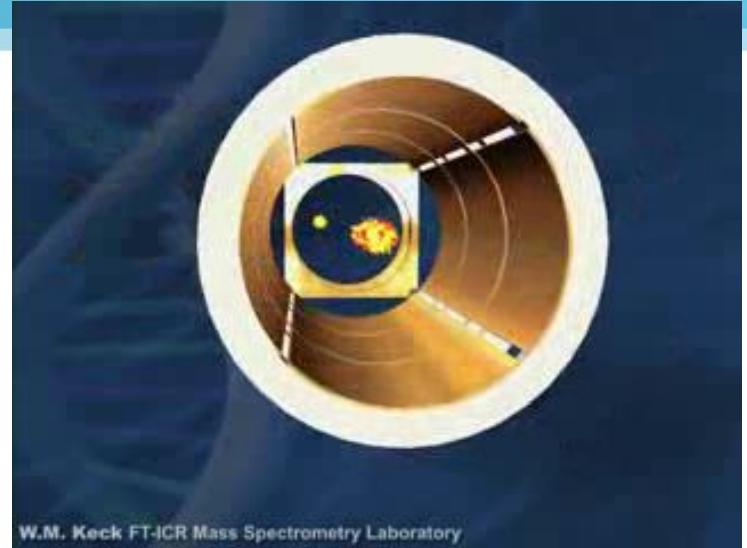
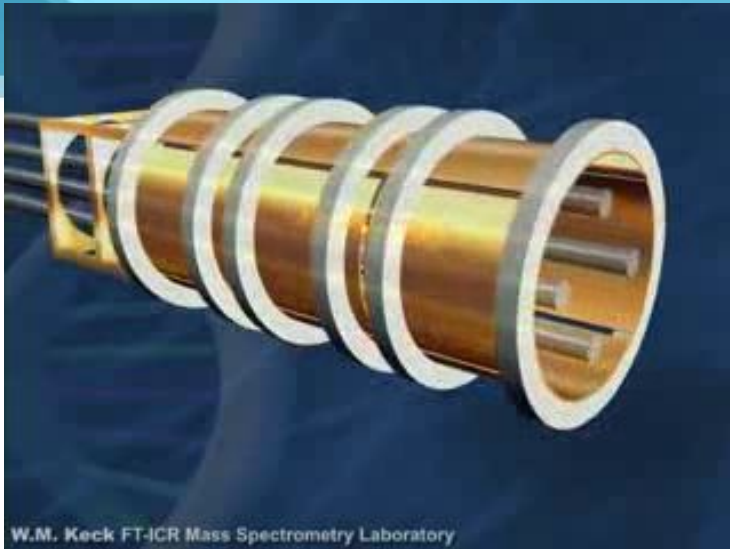


- Geralmente usado em equipamentos híbridos

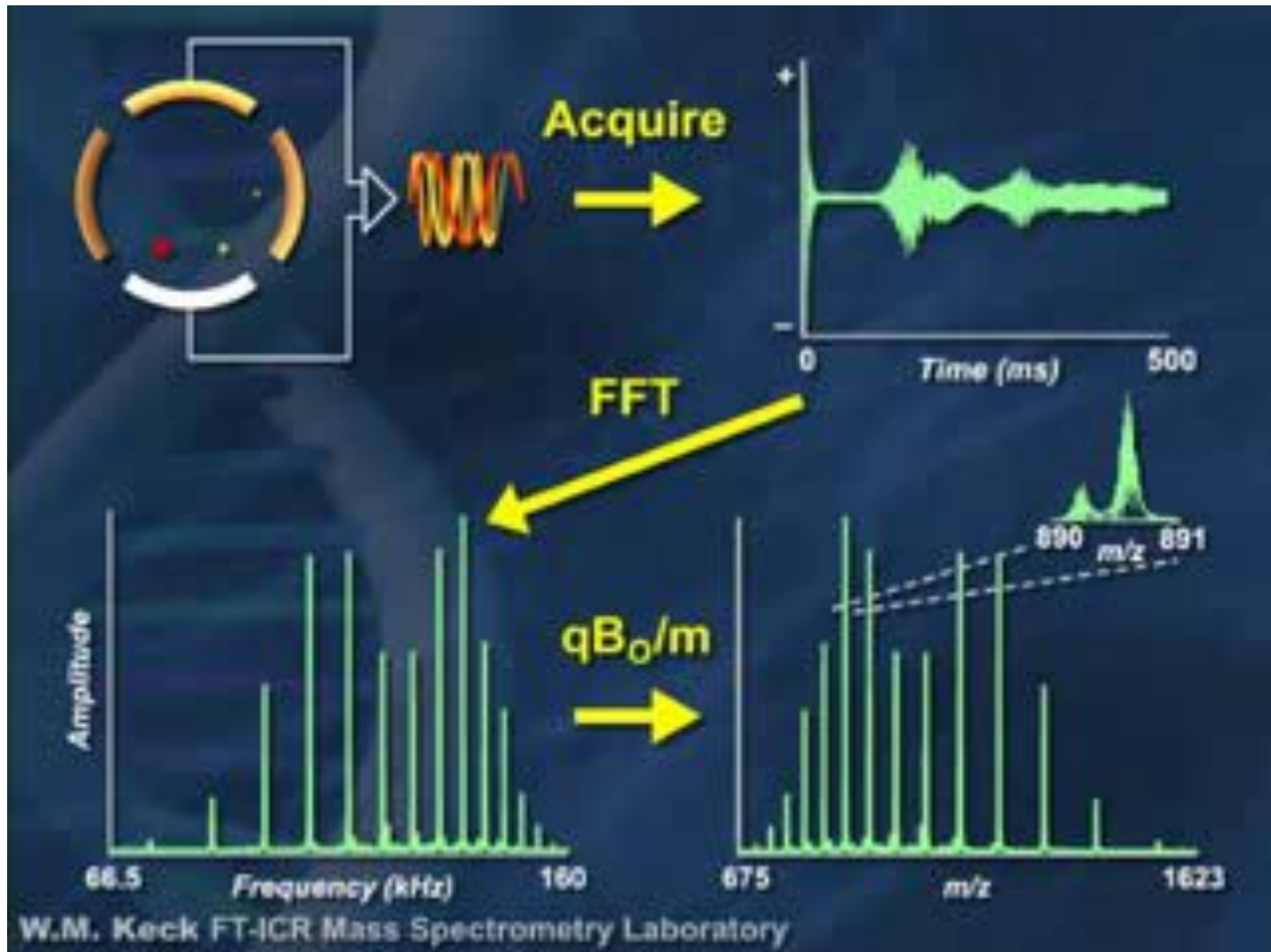
Ressonância Ciclotrônica de Íons com Transformada de Fourier (FT-ICR)



FT-ICR

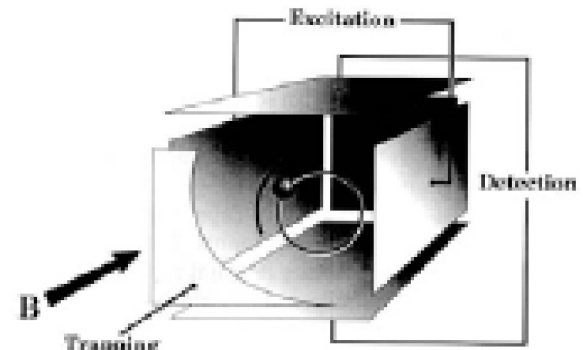


FT-ICR



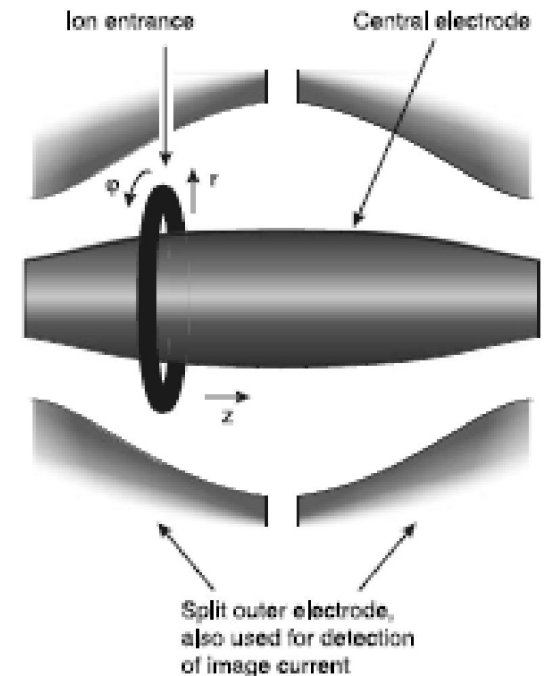
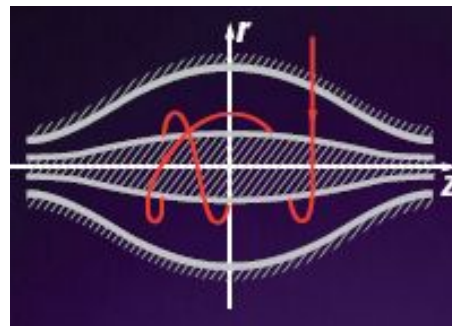
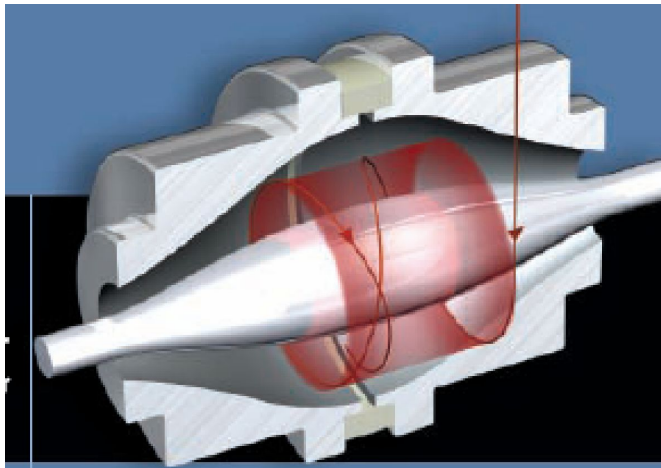
Características de um FT-ICR

- m/z : < 4000 híbrido ou até 70.000 Da/e
- RP: 100.000 a 1.000.000 (FWHM)
- Exatidão: < 1 ppm (int) ou <1,2 ppm (ext)
- Custo alto
- Dificuldade de operação
- Manutenção
 - 150 L He líquido (troca cada 10 dias)
 - 100 L N₂ líquido (troca cada 7 dias)

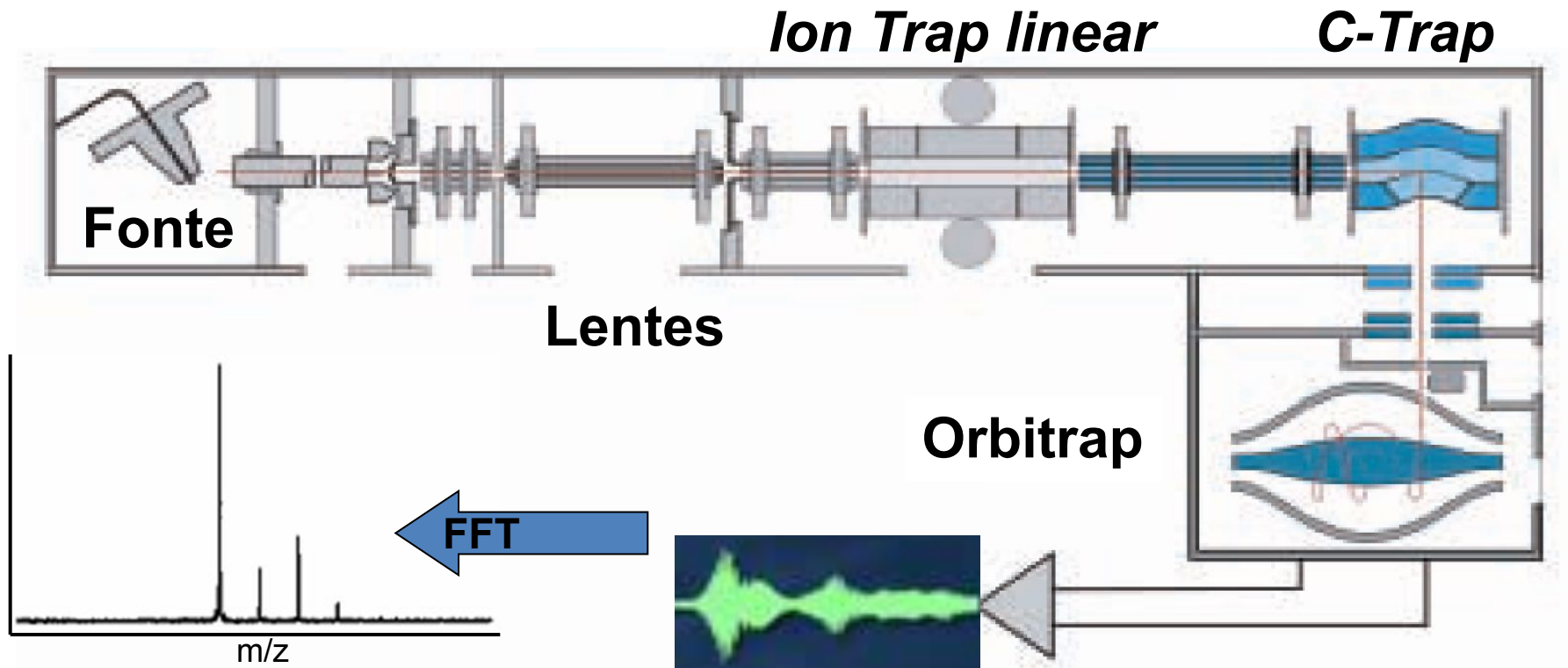


Orbitrap

- Aprisionador eletrostático orbital axialmente harmônico
- Também utiliza FFT
- Mais nova tecnologia de análise de massas (2002)

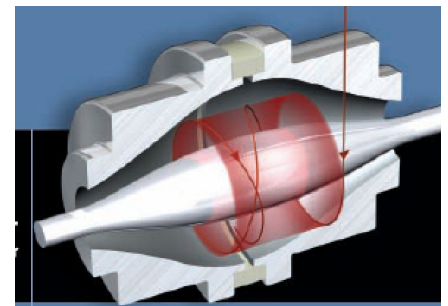


LTQ Orbitrap[®]



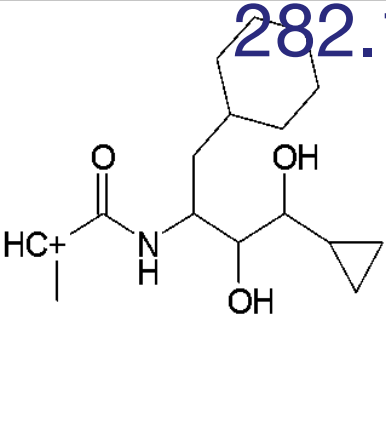
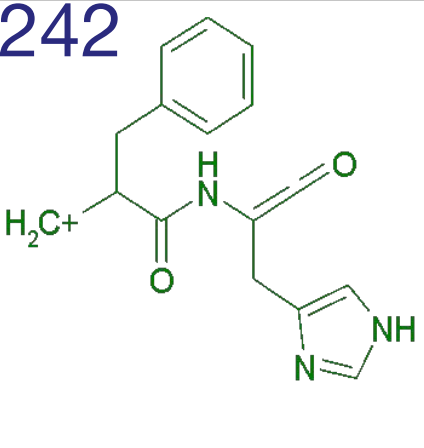
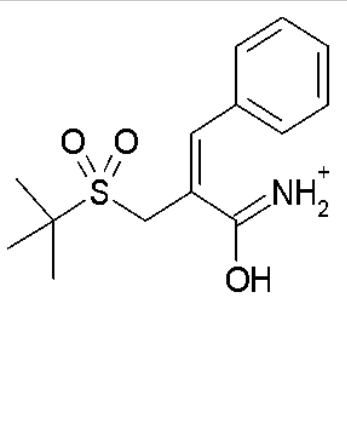
Características de um Orbitrap

- $m/z < 50000$ Da/e
- Resolução até 200.000 (FWHM)
 - Geralmente 60.000 ou 100.000
- Exatidão: 1 a 2 ppm (com PI)
- Custo relativamente alto

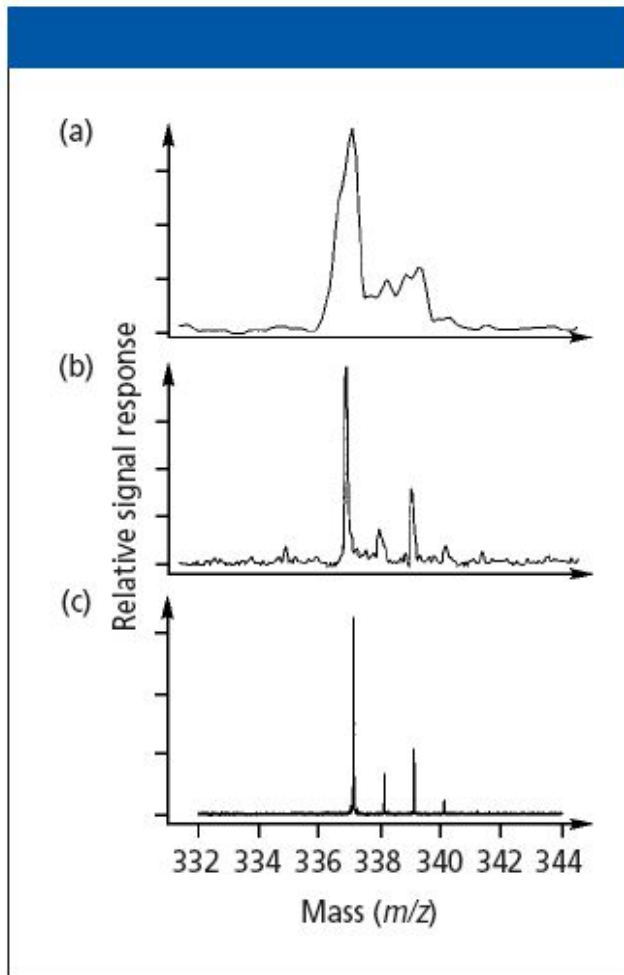


Qual a importância da Exatidão de Massa?

m/z medida = 282.1242

		
(A)	(B)	(C)
$C_{16}H_{28}NO_3$ 282.2069 82.7 mmu 293 ppm	$C_{16}H_{16}N_3O_2$ 282.1242 0.0 0.1 ppm	$C_{14}H_{20}NO_3S$ 282.1164 7.8 mmu 28 ppm

Qual o efeito da resolução do analisador?



Comparação de espectros de massas obtidos por diferentes analisadores:

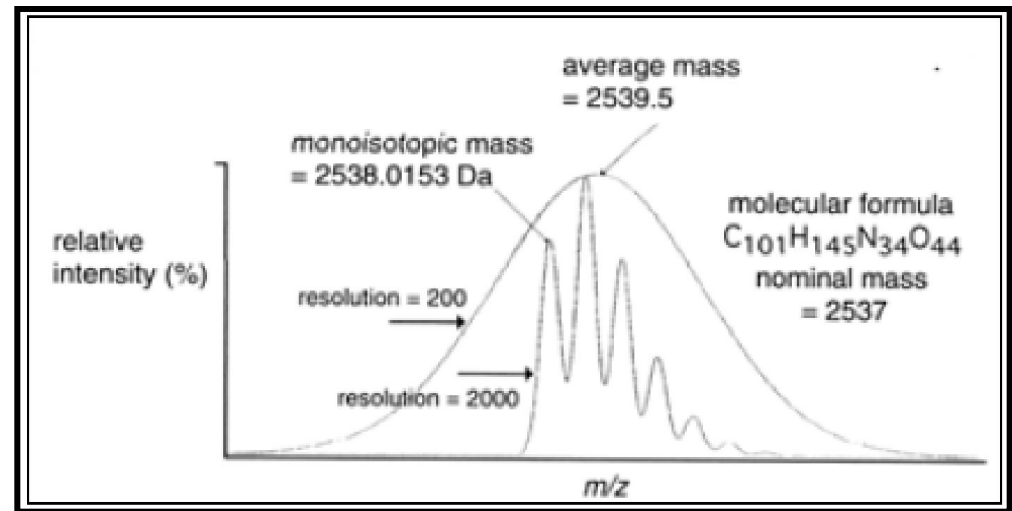
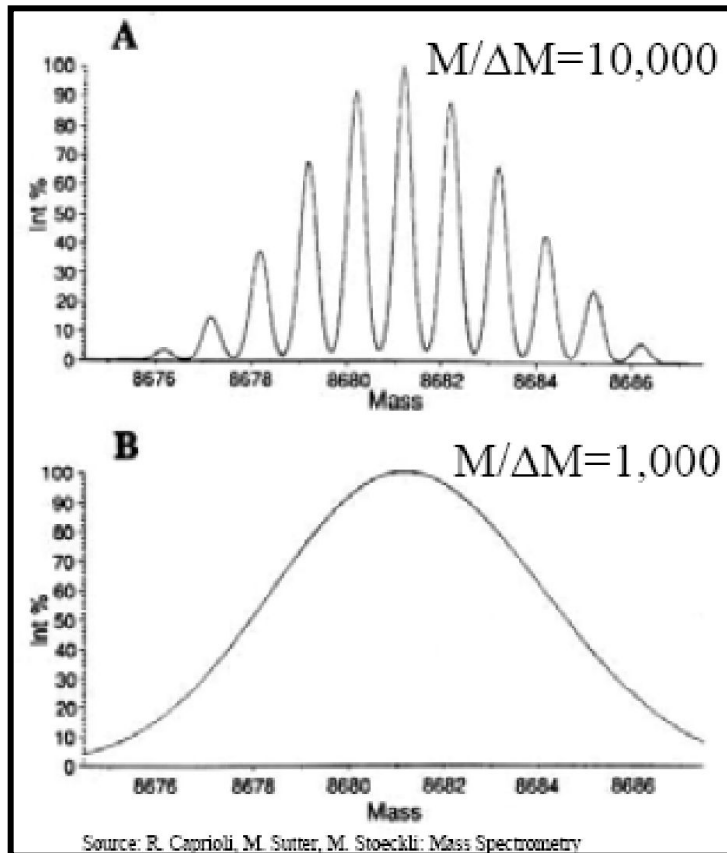
a) Quadrupolo

b) ToF

c) Transformada de Fourier

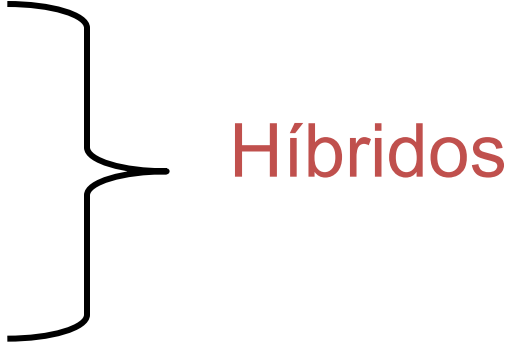
LC-GC., 2001, 19, 514-523.

Para que a resolução é importante?

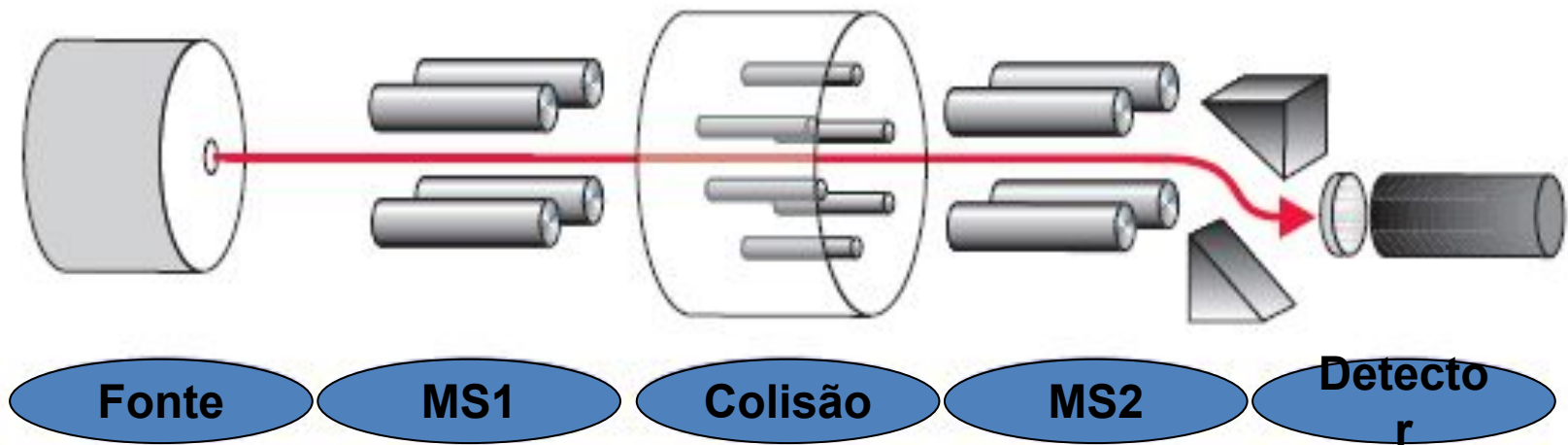


“Sem resolução boa não há exatidão adequada!”

Analísadores MS/MS

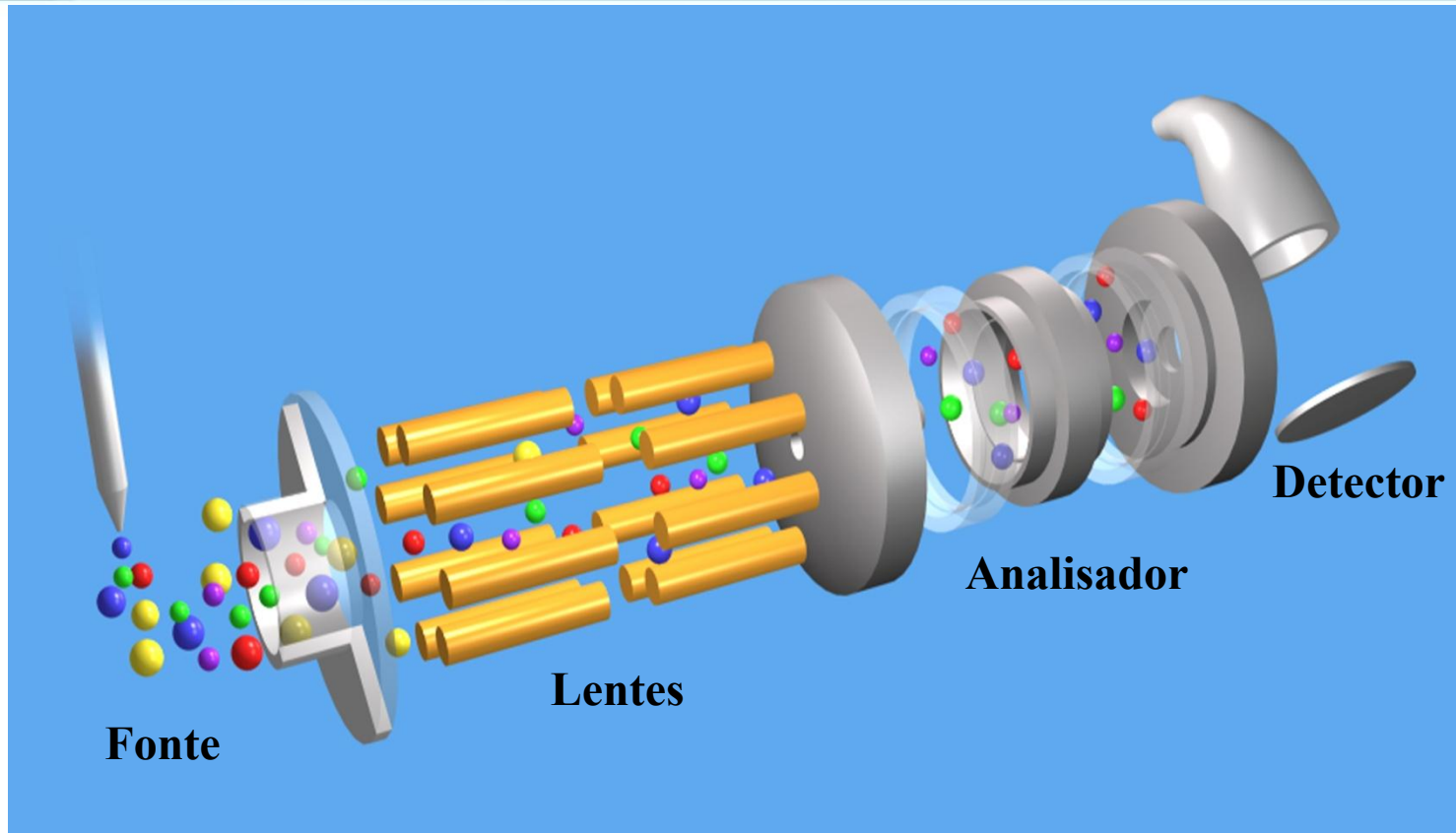
- Instrumentos para *Tandem* MS
 - “Triplo” Quadrupolo (QqQ)
 - Ion Trap (IT)
 - Convencional
 - Linear
 - Q-ToF
 - Q-Ion Trap
 - Ion Trap-Orbitrap
 - Ion Trap-FTICR
- 
- Híbridos

“TANDEM-IN-SPACE” – ex. QqQ



Esquema de um instrumento do tipo “triplo” quadrupolo (QqQ)

“TANDEM-IN-TIME” – ex. Ion Trap

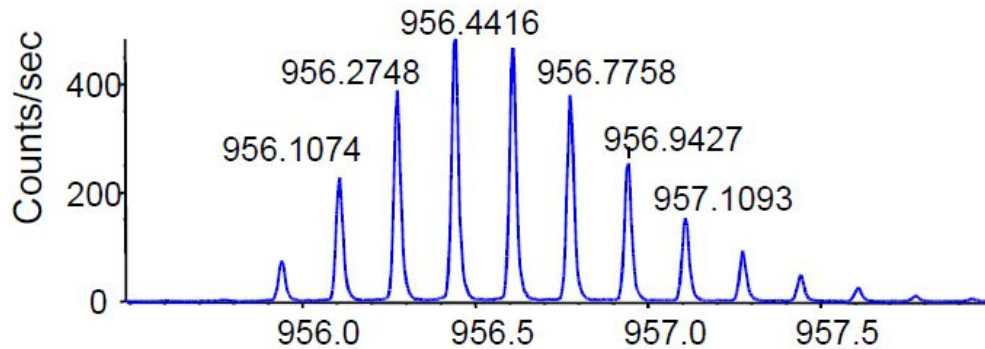


Esquema de um instrumento do tipo Ion Trap MS/MS

High Resolution at the Highest Speed

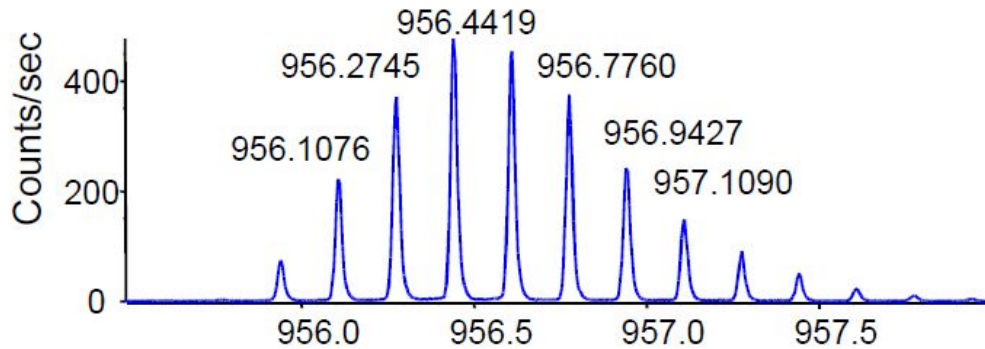
SmartSpeed™ Acquisition - Bovine Insulin, 6+ Charge State

1 s



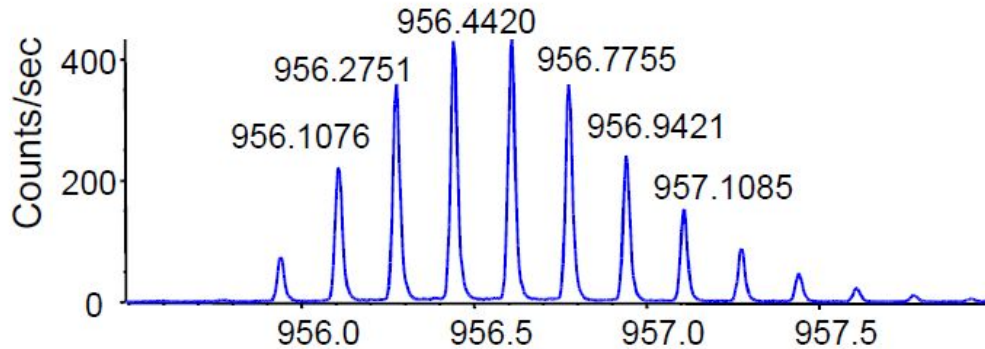
R=43,750

100 ms



R=44,020

10 ms

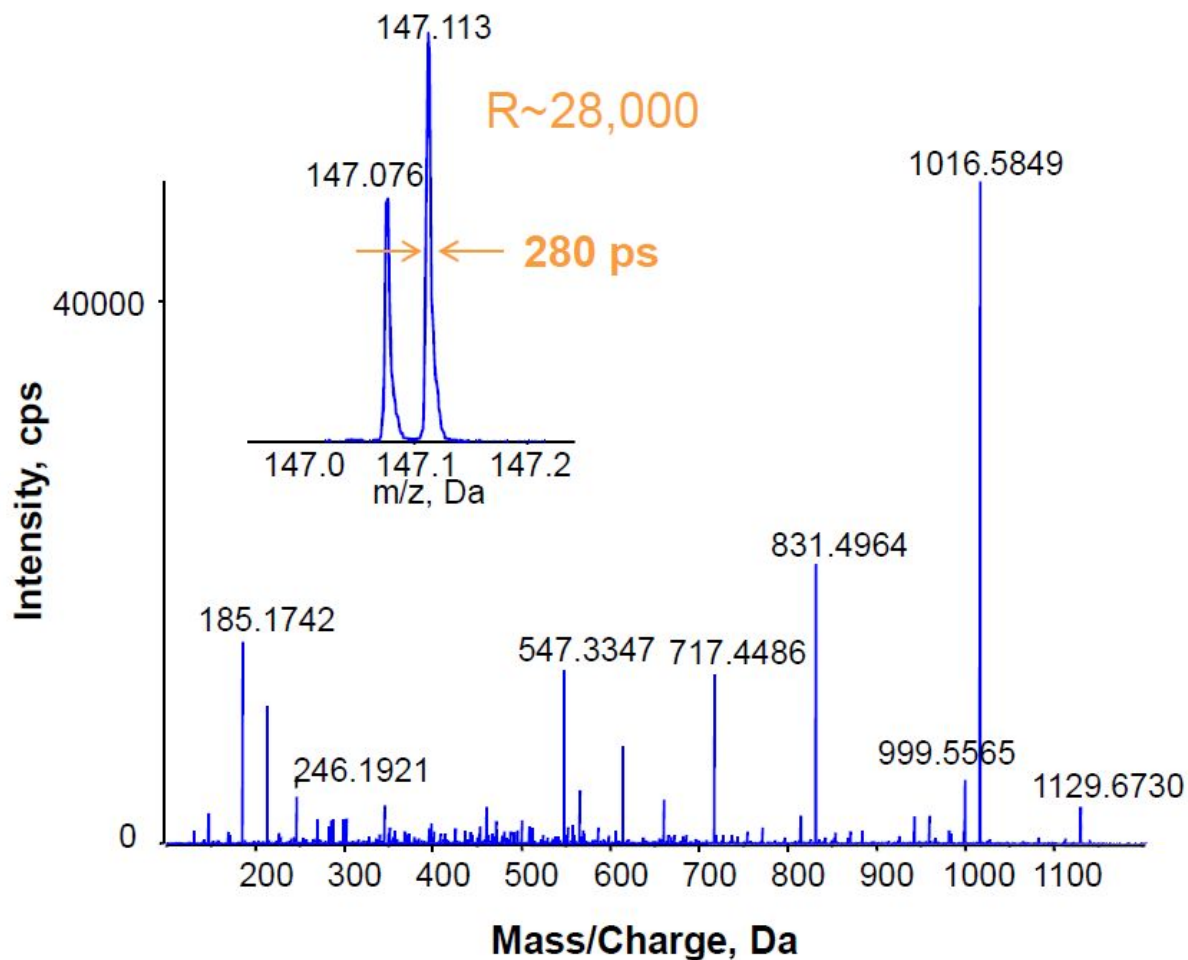


R=44,000

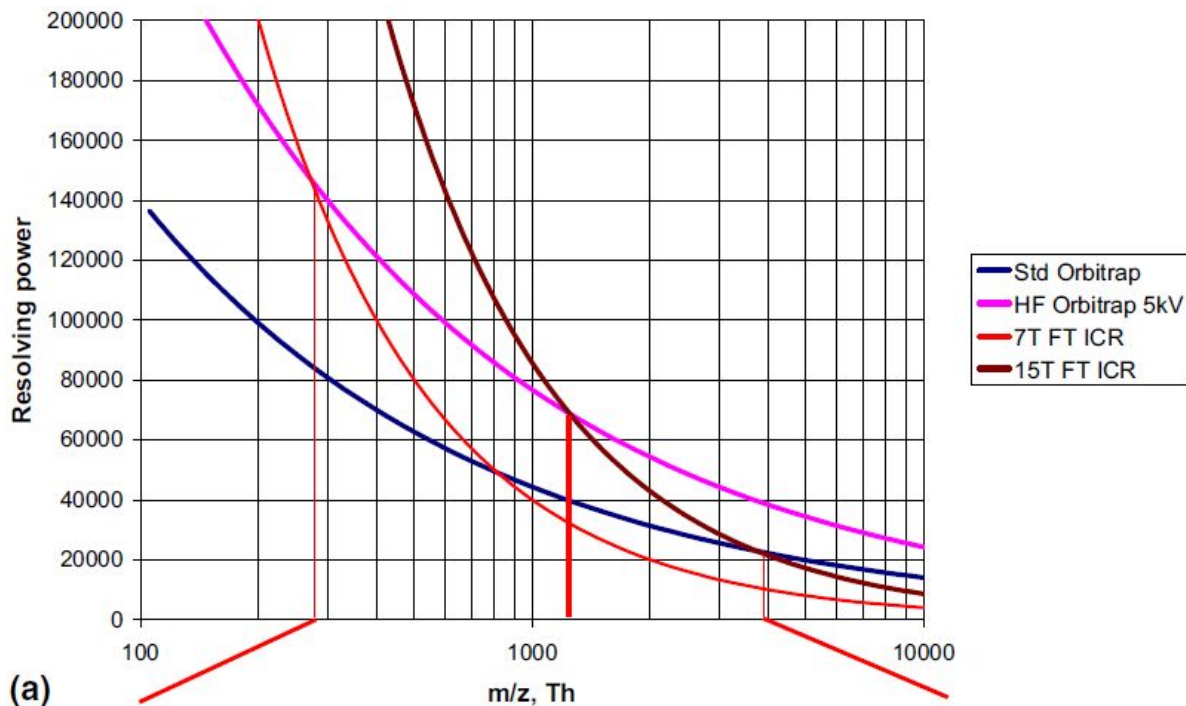
Mass/Charge, amu

High Resolution at Low m/z

10x More Data Points Across a Peak than 4 GHz ADC



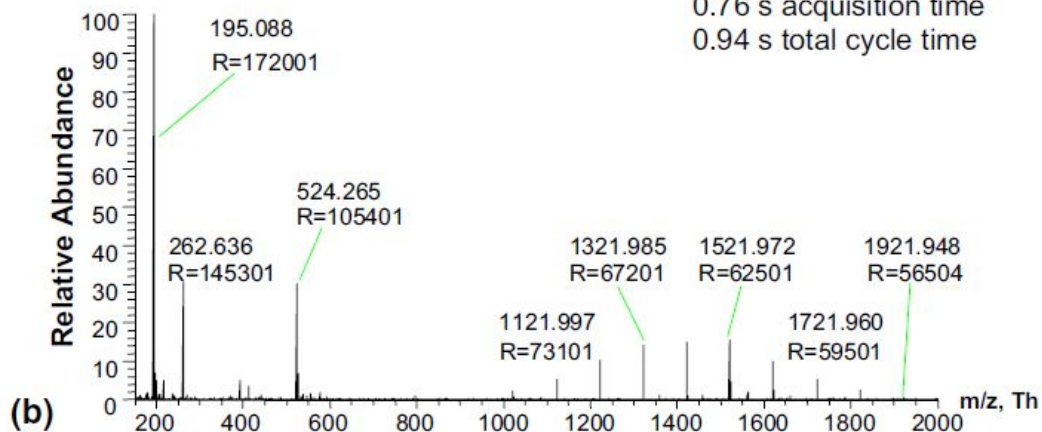
- Ultra fast 40 GHz Time to Digital Converter (TDC) with 25 ps per bin
- Resolution across the mass range provides more information content
- Y1 ions of Lys and Gln can be resolved!



MAKAROV ET AL. J Am Soc Mass Spectrom 2009, 20, 1391–1396

(a)

High-field orbitrap spectrum
0.76 s acquisition time
0.94 s total cycle time



(b)

Figure 2. (a) Resolving power as a function of m/z for different FTMS instruments: Standard Orbitrap analyzer [4]; high-field Orbitrap analyzer; FT ICR with 7 Tesla superconducting magnet; FT ICR with 15 Tesla superconducting magnet. Acquisition parameters are the same in all cases (0.76 s detection time, single zero-filling and Kaiser-Bessel apodization). (b) An example of a spectrum with the mass range m/z 150–2000 acquired using HF Orbitrap.

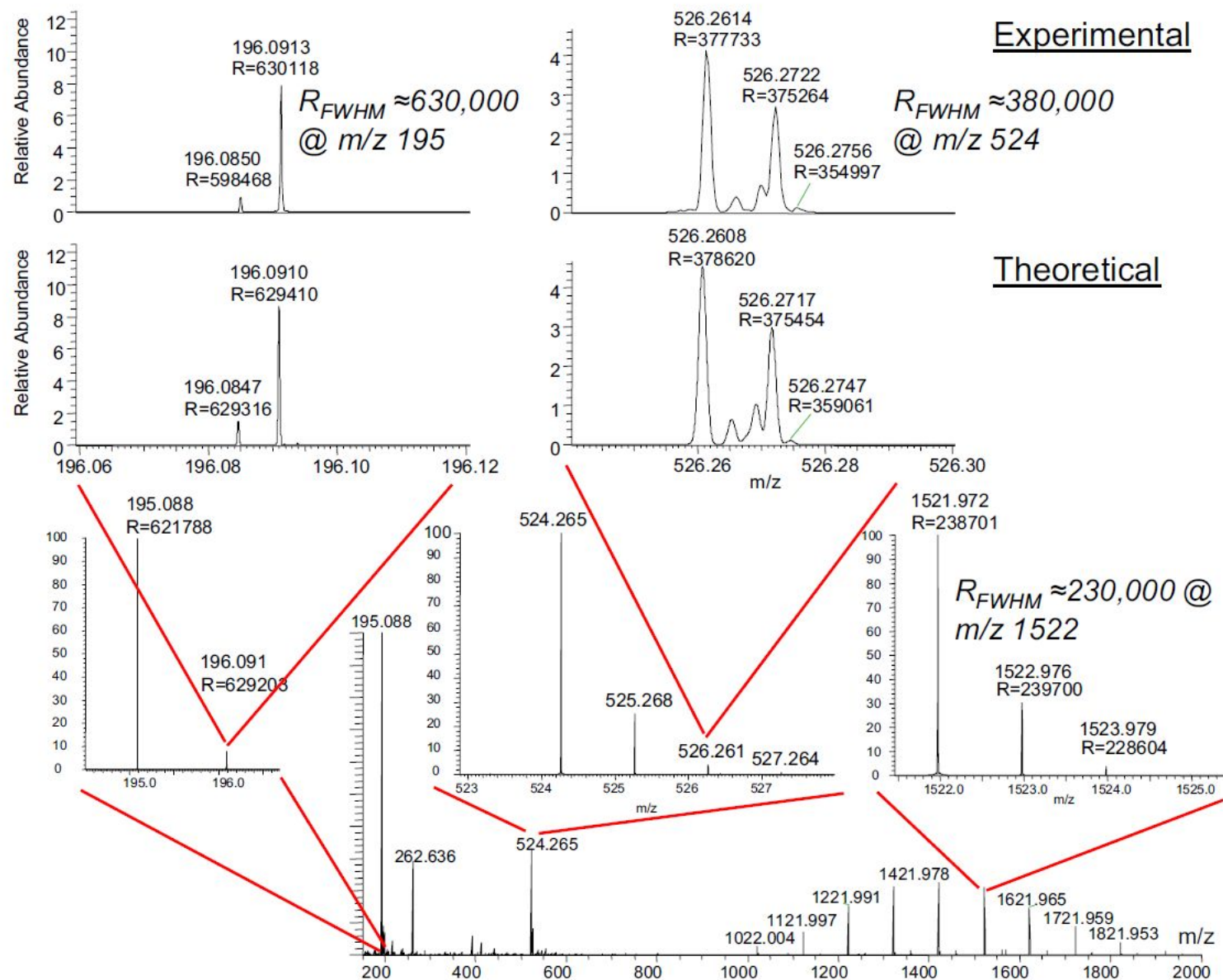
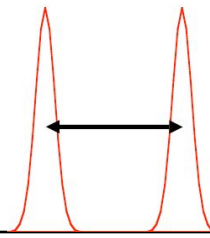
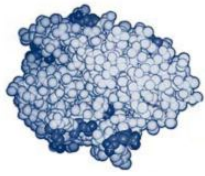


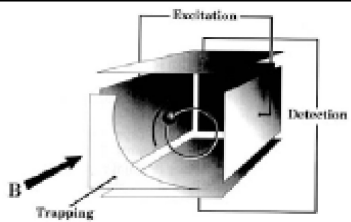
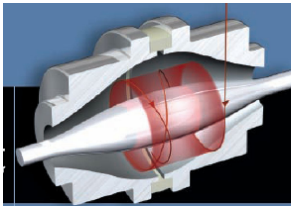
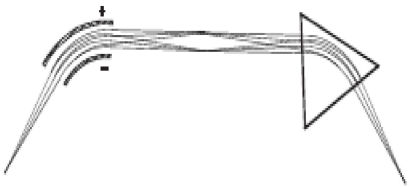
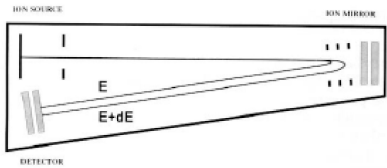
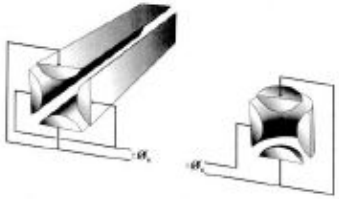
Figure 6. Ultimate resolving power obtained using 3 s detection time (four times longer comparing to detection time in Figure 2) and EXTERNAL calibration. Experimental values are presented on panels for corresponding m/z . Isotope clusters with fine structure are presented in insets along with corresponding theoretical patterns normalized to monoisotopic peak.



$\Delta m/m$
(ppm)



Amos-
t
ragem



Escolhendo o analisador em LS-MS

	Single Quad	Triple Quad	Ion Trap	TOF	Q-TOF		Single Quad	Triple Quad	Ion Trap	TOF	Q-TOF
Function						Instrument need					
Quantitation – few compounds	Good	Best	Chance	Good	Chance	Full scan sensitivity	Chance	Chance	Best	Best	Best
Quantitation – many compounds	Good	Good	Chance	Best	Chance	SIM or MRM sensitivity	Best	Best	Good	Good	Good
High throughput quantitation	Chance	Best	Chance	Good	Chance	Specificity (MS/MS)	Chance	Good	Best	Chance	Best
Metabolite identification	Chance	Chance	Best	Best	Best	Mass resolution	Chance	Chance	Good	Best	Best
Degradation products	Chance	Chance	Best	Best	Best	Mass accuracy	Chance	Chance	Chance	Best	Best
Peptide sequencing/protein id	Chance	Chance	Best	Good	Best	Quantitative accuracy	Good	Best	Chance	Good	Good
Polymer characterization	Chance	Chance	Chance	Good	Best	Linear dynamic range	Good	Good	Chance	Best	Good
Data dependent operation	Chance	Chance	Best	Chance	Good	Mass range	Chance	Chance	Good	Best	Best
Characterize FAST LC peaks (1-3 s peak widths)	Chance	Chance	Chance	Best	Good	Scan speed	Chance	Chance	Good	Best	Best
						Low cost	Best	Chance	Best	Good	Chance



Best chance of success
Good chance of success



Chance of success
Not recommended

Detectores para MS

Detectores – Copo de Faraday

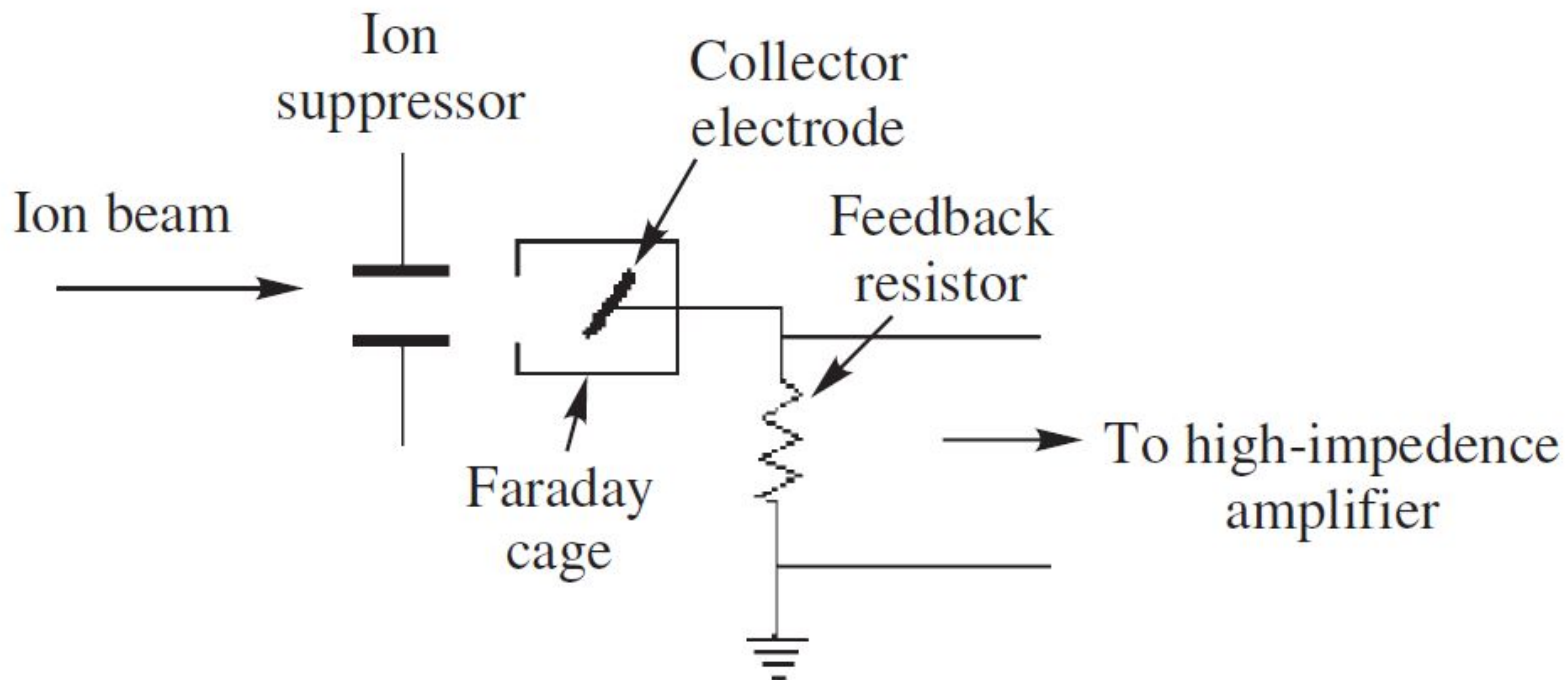


Figure 3.27. Faraday cup detector.

Detectores – Multiplicadora de elétrons com dinodo discreto

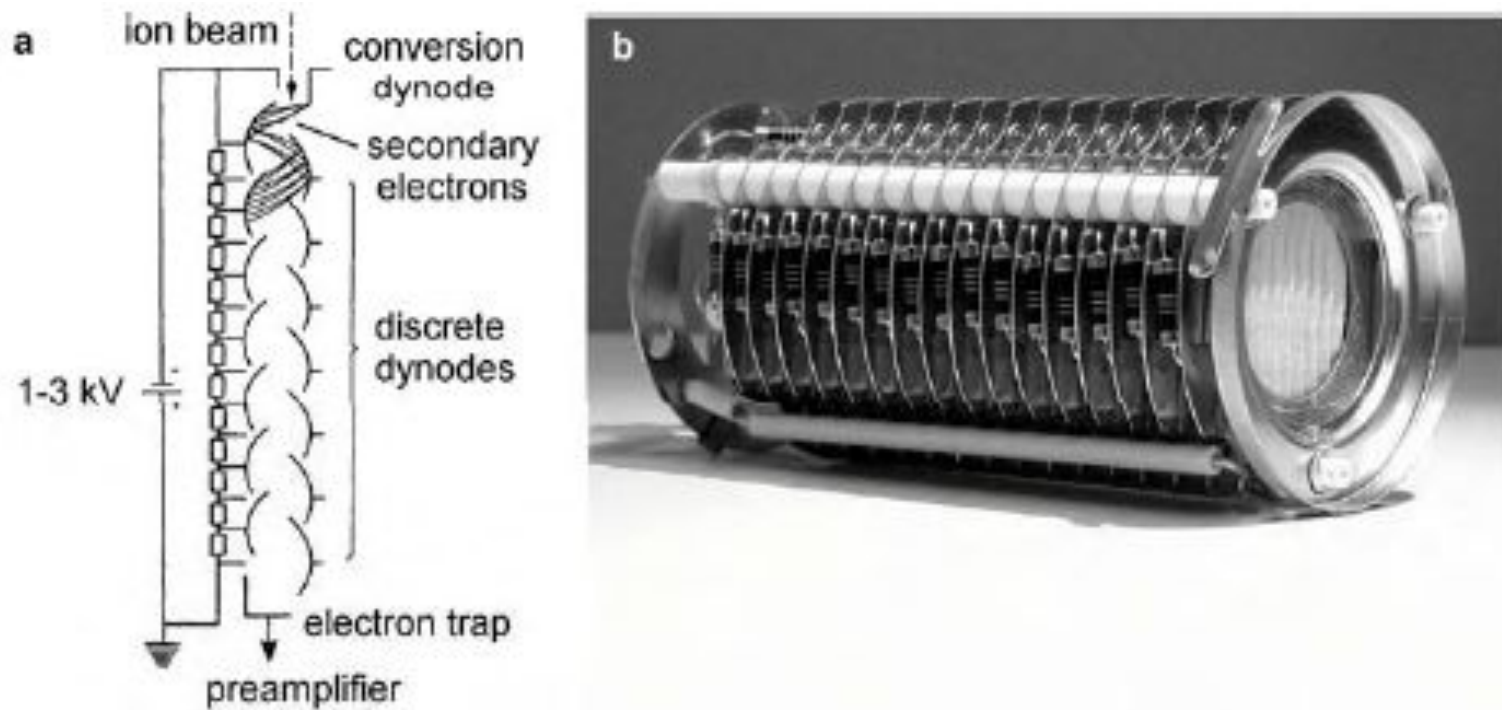


Fig. 4.57. Discrete dynode electron multipliers. (a) Schematic of a 14-stage SEM. (b) Photograph of an old-fashioned 16-stage Venetian blind-type SEM clearly showing the resistors and ceramics insulators between the stacking dynodes at its side. (a) Adapted from Ref. [238] by permission. © Springer-Verlag Heidelberg, 1991.

Detectores – Multiplicadora de elétrons contínua - *channeltron*

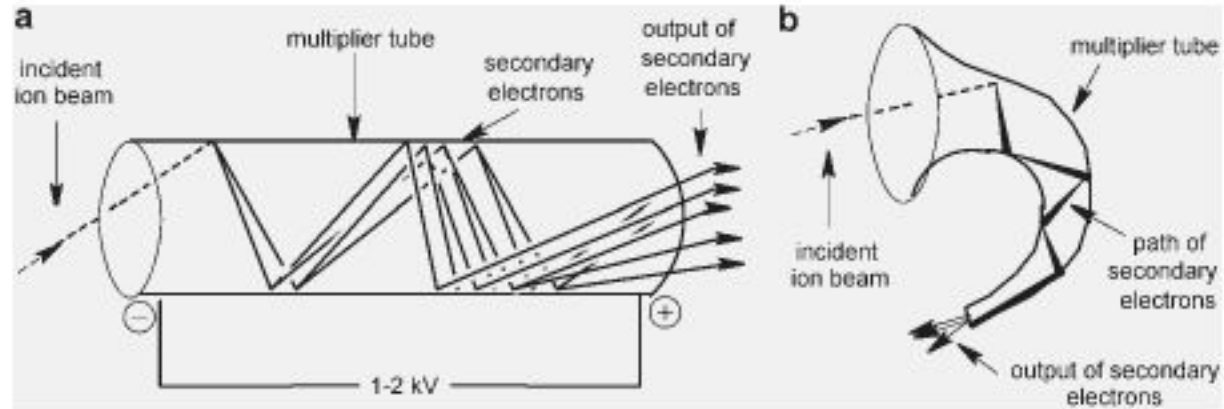


Fig. 4.58. Schematic of linear channel electron multiplier (a) and curved channel electron multiplier (b). By courtesy of Waters Corporation, MS Technologies, Manchester, UK..

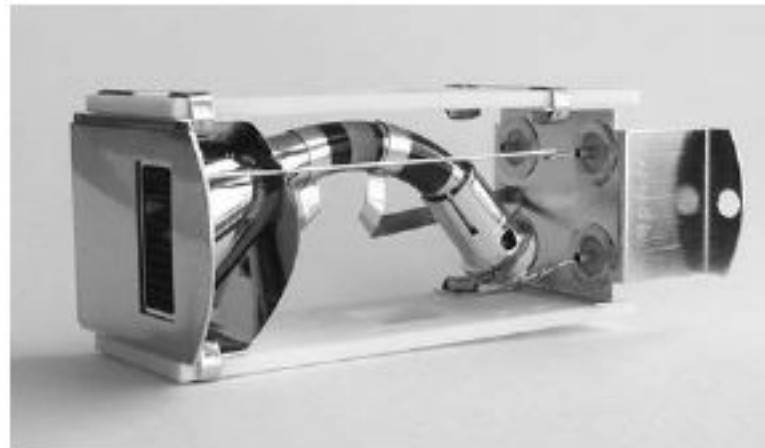


Fig. 4.59. Photograph of a channeltron multiplier.

Detectores – Placas com microcanais – *microchannel plates*

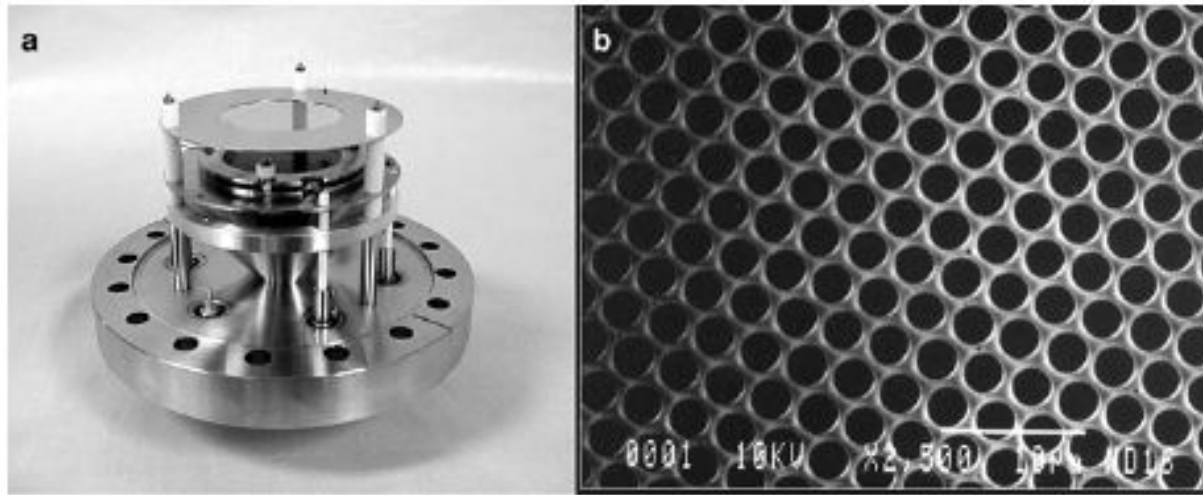


Fig. 4.60. MCP detector (shimmering surface) mounted on top of a flange (a) and SEM micrograph of a high resolving MCP showing channels of 2 μm diameter (b). By courtesy of (a) R.M. Jordan Company, Grass Valley, CA and of (b) Burle Industries, Baesweiler.

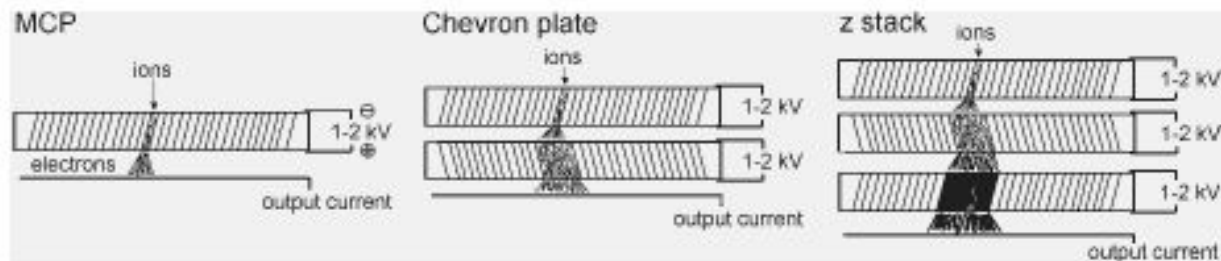


Fig. 4.61. Stacking of MCPs to increase gain. From left: single MCP, Chevron plate, and z-stack configuration. Note the loss of spacial resolution upon stacking.

ADC ou TDC

- Analog-to-Digital Converter Systems – ADC
- Time-to-Digital Converter Systems - TDC

ADC

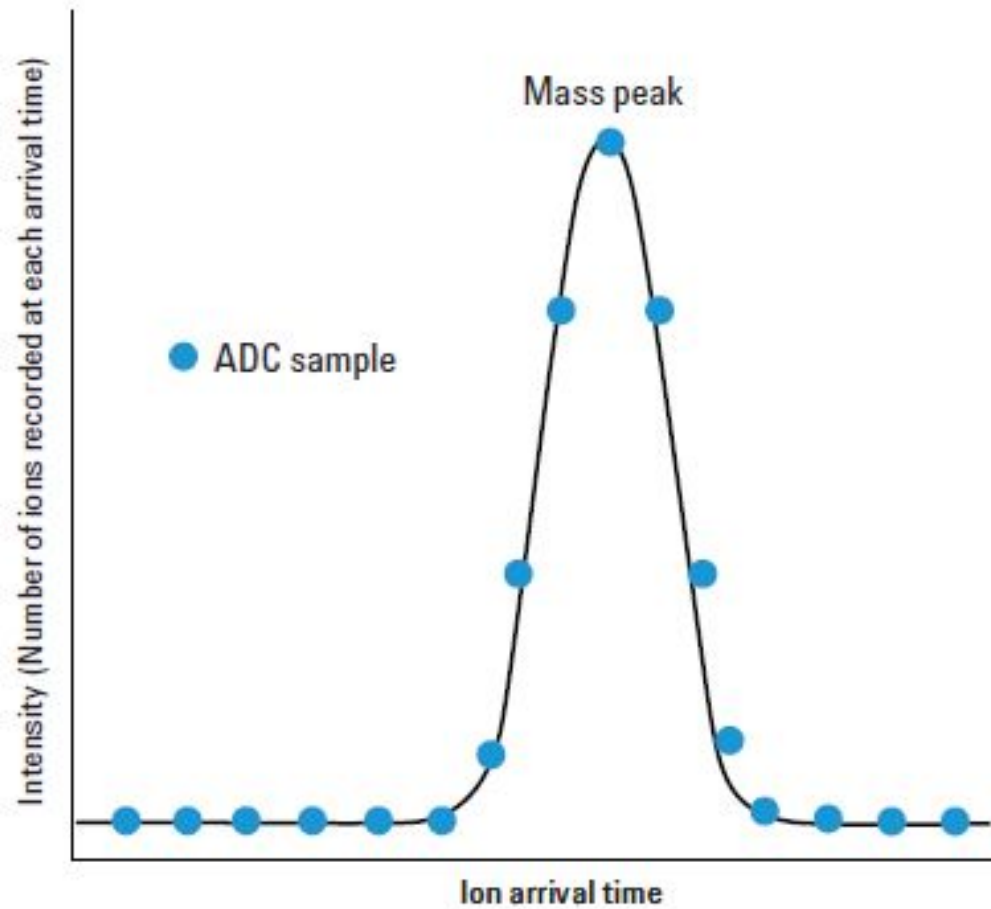


Figure 4. An ADC can record multiple ions per transient, so it accurately tracks ion signal intensity.

TDC

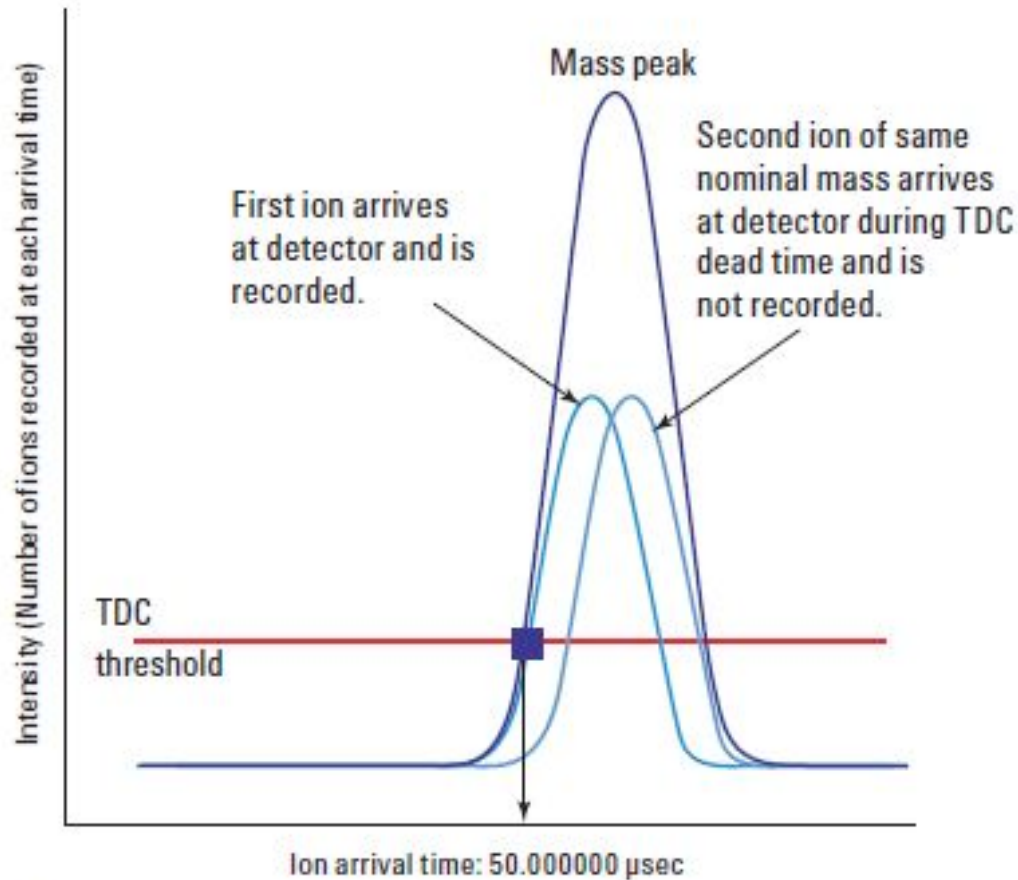


Figure 6. TOF detector with potentials shown for positive ion operation.

ADC ou TDC

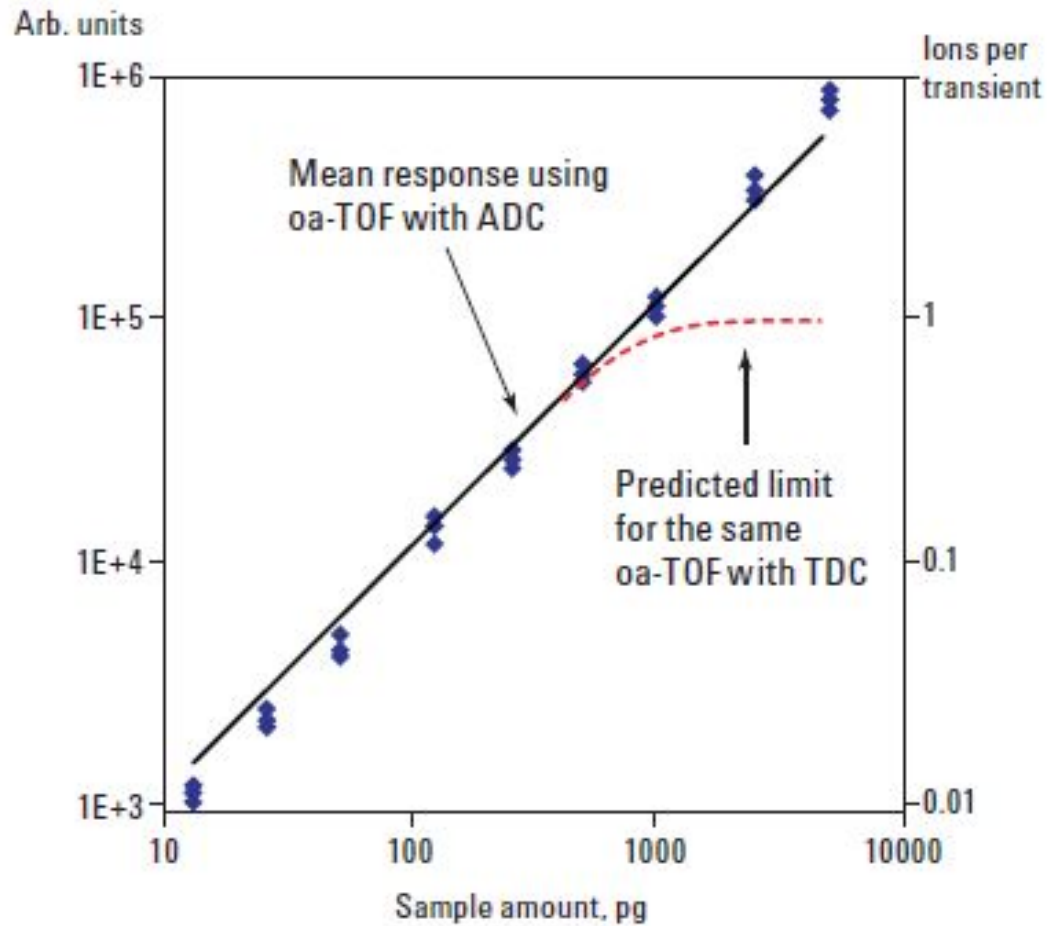


Figure 5. Ions per transient as a function of sample amount, showing TDC limitations.

Summary - TOF operation

